

**154594**

**YILDIZ TEKNİK ÜNİVERSİTESİ  
FEN BİLİMLERİ ENSTİTÜSÜ**

**BİLECİK İLİNİN HAVA KİRLİLİĞİ ENVANTERİ VE  
HAVA KALİTESİ MODELLEMESİ**

**Çevre Müh. Gamze GÖKMEN SÖZAK**

**FBE Çevre Mühendisliği Anabilim Dalı Çevre Mühendisliği Programında  
Hazırlanan**

**YÜKSEK LİSANS TEZİ**

**Tez Savunma Tarihi : 26 Şubat 2004**

**Tez Danışmanı : Yrd. Doç. Dr. Arslan SARAL (YTÜ)**

**Jüri Üyeleri : Prof. Dr. Ferruh ERTÜRK (YTÜ)**

**: Prof. Dr. Mete TAYANÇ (MÜ)**

**İSTANBUL, 2004**

## **İÇİNDEKİLER**

	Sayfa
SİMGE LİSTESİ .....	iv
KISALTMA LİSTESİ .....	v
ŞEKİL LİSTESİ .....	vi
ÇİZELGE LİSTESİ .....	vii
ÖNSÖZ .....	viii
ÖZET .....	ix
ABSTRACT .....	x
1. GİRİŞ .....	1
1.1 Hava Kirliliğinin Tanımı .....	1
1.2 Hava Kirleticilerinin Sınıflandırılması .....	1
1.3 Kirleticilerin Emisyon Kaynakları .....	3
1.4 Yakıtlar .....	4
1.5 Yanma .....	6
2. EMİSYON ENVANTERİ .....	8
2.1 Emisyon Envanterinin Tanımı .....	8
2.2 Emisyon Envanterinin Çeşitleri .....	9
2.3 Emisyon Envanteri Hazırlama Aşamaları .....	9
2.3.1 Planlama .....	10
2.3.2 Veri Toplama .....	10
2.3.3 Veri Analizi ve Emisyon Tahmini .....	10
2.3.4 Rapor Hazırlama .....	11
2.4 Emisyon Tahmini .....	11
2.5 Emisyon Faktörleri .....	11
2.6 Emisyon Faktörü Veri Tabanları .....	12
2.7 Literatürdeki Emisyon Envanteri İle İlgili Çalışmalar .....	12
3. MODELLEME .....	16
3.1 Matematik Modellemenin Tanımı ve Uygulama Prensipleri .....	16
3.2 Meteorolojinin Matematik Modele Etkisi .....	16
3.3 Emisyon Envanterinin Matematik Modele Etkisi .....	18
3.4 Modellemede Kirletici Kaynakların Tanımı .....	18
3.5 Gauss Dispersiyon Modeli .....	18
3.6 ATDL Kutu Modeli .....	26
4. ÇALIŞMA BÖLGESİ ve VERİ TABANI .....	29
4.1 Bölgenin Coğrafik Yapısı .....	29

4.2	Bölgelin Meteorolojisi.....	29
4.3	Bölgelin Hava Kalitesi .....	31
4.4	Bölgelin Sanayi Durumu .....	31
4.5	Bölgelin Demografisi .....	35
4.6	Bölgede Yakıt Tüketim Miktarları .....	38
5.	<b>BULGULAR .....</b>	<b>41</b>
5.1	Bilecik İlinin Emisyon Envanteri .....	41
5.1.1	Bilecik İlinin Sanayiden Kaynaklanan Emisyon Enavanteri .....	41
5.1.2	Bilecik İlinin Yerleşim Bölgesinden Kaynaklanan Emisyon Envanteri .....	42
5.1.3	Bilecik İlinin Trafikten Kaynaklanan Emisyon Envanteri .....	46
5.1.4	Bilecik İlinin Toplam Emisyon Envanteri.....	48
5.2	Bilecik Sanayisine Gauss Dispersiyon Modelinin Uygulanması .....	50
5.3	Bilecik İline ATDL Modelinin Uygulanması .....	54
6.	<b>SONUÇ ve ÖNERİLER.....</b>	<b>66</b>
6.1	Sonuçlar .....	66
6.2	Öneriler.....	70
	<b>KAYNAKLAR.....</b>	<b>71</b>
	<b>EKLER.....</b>	<b>73</b>
Ek.1	Kritik t Değerleri Tablosu .....	73
	<b>ÖZGEÇMİŞ .....</b>	<b>74</b>

## SİMGE LİSTESİ

A	Kömürdeki kül yüzdesi, %
b	Şehre giren havadaki kirletici konsantrasyonu, $\mu\text{g}/\text{m}^3$
c	ATDL formülünde kullanılan şehir içi konsantrasyonu, $\mu\text{g}/\text{m}^3$
C <sub>i</sub>	i kirleticisinin konsantrasyonu, $\mu\text{g}/\text{m}^3$
d	Baca çapı, m
D <sub>x</sub>	x yönündeki kütlesel difüzivite, $\text{m}^2/\text{sn}$
D <sub>y</sub>	y yönündeki kütlesel difüzivite, $\text{m}^2/\text{sn}$
D <sub>z</sub>	z yönündeki kütlesel difüzivite, $\text{m}^2/\text{sn}$
F	Kaldırma akış parametresi, $\text{m}^4/\text{sn}^3$
g	Yerçekimi ivmesi, $9,81 \text{ m}/\text{sn}^2$
h	Geometric baca yüksekliği, m
H	Karışım yüksekliği, m
L	ATDL kutu modelinin kuzey-güney yönündeki uzunluğu, m
p	Atmosferik çözümlülüğe ve pürüzlülüğe bağlı bir katsayı
Q	Kütlesel debi, $\mu\text{g}/\text{sn}$
q	Emisyon hızı, $\text{g}/\text{sn}\cdot\text{m}^2$
R	Korrelasyon katsayısı
S	Yakıttaki kükürt yüzdesi, %
s	Baca kesit alanı, $\text{m}^2$
T <sub>max</sub>	Maksimum ortam sıcaklığı, $^{\circ}\text{C}$
T <sub>min</sub>	Minimum ortam sıcaklığı, $^{\circ}\text{C}$
T <sub>g</sub>	Baca gazı sıcaklığı, $^{\circ}\text{K}$
T <sub>a</sub>	Ortam sıcaklığı, $^{\circ}\text{K}$
u	x yönündeki ortalama rüzgar hızı, $\text{m}/\text{sn}$
u <sub>H</sub>	Baca yüksekliğindeki rüzgar hızı, $\text{m}/\text{sn}$
u <sub>a</sub>	10m'deki rüzgar hızı, $\text{m}/\text{sn}$
V <sub>g</sub>	Baca gazı çıkış hızı, $\text{m}/\text{sn}$
W	ATDL kutu modelinin doğu-batı yönündeki uzunluğu, m
x	Rüzgar yönü mesafesi, m
y	Kaynak ile ölçüm yapılan nokta arasında rüzgar yönüne dik mesafe, m
z	Ortamda ölçümün yapıldığı yükseklik, m
$\Phi_i$	Kirletici maddenin oluşumu veya giderimi ile ilgili terim, $\mu\text{g}/\text{sn}$
$\sigma_y$	Disperiyon katsayısı, m
$\sigma_z$	Disperiyon katsayısı, m
$\alpha$	t-testinde güven seviyesi
$\Delta h$	Hüzme yüksekliği, m

## KISALTMA LİSTESİ

ATDL	Atmospheric Turbulance and Diffusion Laboratory
CEC	Comission of European Communities (Avrupa Topluluğu Komisyonu)
CORINAIR	COordination INformation AIR (Hava Bilgi Koordinasyonu)
DG-XI	European Commission Directorate for Environment Nuclear Safety and Civil Protection (Avrupa Komisyonu Nükleer Güvenlik ve Sivil Koruma Müdürlüğü)
ECE	Economic Comission for Europe (Avrupa Ekonomi Komisyonu)
EF	Emisyon Faktörü
EMEP	The European Monitoring and Evaluation Programme (Avrupa İzleme ve Değerlendirme Komisyonu)
EPA	Environmental Protection Agency (Çevre Koruma Örgütü)
EUROTRAC	European Experiment for Transporting and Transforming Environmentally Relevant Trace Construction in the Troposphere
GENEMIS	Generation and evaluation of Emission data (Emisyon Veri Değerendirmesi ve Gelişimi)
H	Halk sağlığı laboratuvarı
HC	Hidrokarbon
HKKY	Hava Kalitesinin Korunması Yönetmeliği
IPCC	Intergovernmental Panel on Climate Change (Devletlerarası İklim Değişimi Paneli)
K	Kaynak
KVS	Kısa Vadeli Sınır Değer
N	Kuzey yönü
NE	Kuzeydoğu yönü
NNE	Kuzey-kuzeydoğu yönü
NNW	Kuzey-kuzeybatı yönü
NW	Kuzeybatı yönü
OECD	Organization for Economic Co-operation and Development (Ekonomik İşbirliği ve Gelişim Organizasyonu)
PAN	Peroksiasetilnitrat
PHOXA	Photochemical Oxidant and Acid deposition model application (Fotokimyasal Oksitleyici ve Asit Birikim Modeli)
PM	Partikül Madde
PM <sub>2,5</sub>	Aerodinamik çapı 2,5 mikrometreden küçük olan partikül madde
RMSE	Root of the mean square error (Ana hata kaynağı)
SSW	Güney-güneybatı yönü
UV	Ultraviolet (mor ötesi ışınlar)
UVS	Uzun Vadeli Sınır Değer
VOC	Volatile Organic Compound (uçucu organik madde)
WNW	Batı-kuzeybatı yönü

## **ŞEKİL LİSTESİ**

Şekil 3.1	Etkin baca yüksekliği H olan bir kaynaktan çıkan hüzmenin dağılımı .....	17
Şekil 3.2	Nokta kaynaktan çıkan hüzmenin zamana göre dağılımı .....	18
Şekil 3.3	ATDL kutu modeli .....	26
Şekil 4.1	Bilecik ili haritası.....	30
Şekil 4.2	Bilecik Halk Sağlığı Laboratuvarı SO <sub>2</sub> konsantrasyonu 1999-2002 yılları ölçüm sonuçları.....	33
Şekil 4.3	Bilecik Halk Sağlığı Laboratuvarı PM konsantrasyonu 1999-2002 yılları ölçüm sonuçları.....	33
Şekil 4.4	Organize sanayi bölgesinin sektörel dağılımı.....	34
Şekil 4.5	1990 yılı Bilecik ilinin ilçelerine göre nüfus dağılımı.....	37
Şekil 4.6	2000 yılı Bilecik ilinin ilçelerine göre nüfus dağılımı.....	37
Şekil 4.7	Bilecik ilinin ilçelerine göre 2000 yılı nüfus yoğunluğu .....	38
Şekil 4.8	Bilecik ilinin 2001-2002 yılları arasında yakıt tüketim miktarı .....	40
Şekil 5.1	2001-2002 kiş dönemi boyunca sıcaklık değişimine karşı kullanılan yakıt miktarı.....	45
Şekil 5.2	Kirletici kaynakların toplam emisyonlara % katkıları.....	49
Şekil 5.3	Bilecik ilinde kullanılan yakıtların toplam emisyonlara % katkısı.....	50
Şekil 5.4	N, NNW, NNE, NW ve NE rüzgar yönlerindeki x ve y değerleri .....	52
Şekil 5.5	Kuzey yönlü rüzgarların estiği günler için hesaplanan etkin baca yükseklikleri .....	53
Şekil 5.6	Bilecik iline ATDL modelinin uygulanması .....	54
Şekil 5.7	Bütün kuzey yönlü rüzgarların estiği günlerde Gauss Modeli ile hesaplanan SO <sub>2</sub> ve PM konsantrasyonları.....	58
Şekil 5.8	Bütün kuzey yönlü rüzgarların estiği günlerde evsel ısınmadan kaynaklanan SO <sub>2</sub> ve PM emisyon hızları .....	58
Şekil 5.9	N yönünden esen rüzgarlı günlerde model ile gerçek SO <sub>2</sub> konsantrasyonlarının kıyaslanması .....	59
Şekil 5.10	NNW-NNE yönünden esen rüzgarlı günlerde model ile gerçek SO <sub>2</sub> konsantrasyonlarının kıyaslanması.....	60
Şekil 5.11	NW-NE yönünden esen rüzgarlı günlerde model ile gerçek SO <sub>2</sub> konsantrasyonlarının kıyaslanması.....	61
Şekil 5.12	N yönünden esen rüzgarlı günlerde model ile gerçek PM konsantrasyonlarının kıyaslanması .....	62
Şekil 5.13	NNW-NNE yönünden esen rüzgarlı günlerde model ile gerçek PM konsantrasyonlarının kıyaslanması .....	63
Şekil 5.14	NW-NE yönünden esen rüzgarlı günlerde model ile gerçek PM konsantrasyonlarının kıyaslanması .....	64
Şekil 5.15	Bütün kuzey yönlü rüzgarların estiği günlerde gerçek SO <sub>2</sub> konsantrasyonları ile her bir kirletici kaynak için model ile hesaplanan SO <sub>2</sub> konsantrasyonlarının kıyaslanması .....	65
Şekil 5.16	Bütün kuzey yönlü rüzgarların estiği günlerde gerçek PM konsantrasyonları ile her bir kirletici kaynak için model ile hesaplanan PM konsantrasyonlarının kıyaslanması .....	65

## **ÇİZELGE LİSTESİ**

Çizelge 1.1 HKKY'deki uzun ve kısa vadeli hava kalitesi sınır değerleri (HKKY, 1986) .....	2
Çizelge 2.1 Yakıt yanması ile ilgili emisyon faktörleri (EPA, 1985) .....	13
Çizelge 3.1 Kararlılık sınıflarına göre rüzgar hızı ve p değerinin değişimi .....	24
Çizelge 3.2 Kararlılık sınıfları (Turner, 1969) .....	24
Çizelge 3.3 Meteorolojik şartlara bağlı kararlılık sınıfları .....	25
Çizelge 3.4 Çeşitli kararlılık sınıfları için Martin Denklemi katsayıları .....	25
Çizelge 4.1 1999, 2000, 2001 ve 2002 yılları Bilecik ili aylık hava kalitesi ortalamaları (Uysal, 2002).....	32
Çizelge 4.2 Organize sanayi bölgesinin sektörel dağılımı .....	34
Çizelge 4.3 Bilecik ilinin ilçelere göre nüfusu ve yıllık nüfus artış hızı (DİE, 2002).....	36
Çizelge 4.4 Bilecik ilinin ilçelere göre 2000 yılı nüfus yoğunluğu (DİE, 2002) .....	36
Çizelge 4.5 Sanayi kaynaklı yakıt tüketim miktarı (BÜ Emisyon Raporları, 2002).....	38
Çizelge 4.6 Sanayide kullanılan toplam yakıt tüketim miktarı .....	39
Çizelge 4.7 Evsel kaynaklı yakıt tüketim miktarı .....	39
Çizelge 4.8 Trafik kaynaklı yakıt tüketim miktarı .....	39
Çizelge 4.9 2001-2002 yılları arasında Bilecik ilinin yakıt tüketim miktarları .....	40
Çizelge 5.1 Bilecik sanayisinden gelen toplam emisyon değerleri .....	41
Çizelge 5.2 Evsel emisyonları hesaplamak için kullanılan emisyon faktörleri (EPA, 1985) ..	42
Çizelge 5.3 Yakıt numunesi analiz raporu .....	43
Çizelge 5.4 Evsel ısınma kaynaklı toplam kirletici emisyonu .....	44
Çizelge 5.5 Bilecik ili motorlu kara taşıtları sayısı (DİE, 2003) .....	46
Çizelge 5.6 Trafik emisyonlarını hesaplamak için kullanılan emisyon faktörleri (EPA, 1985)46	
Çizelge 5.7 Trafik kaynaklı toplam kirletici emisyonu.....	48
Çizelge 5.8 Bilecik ili toplam kirletici emisyonları .....	48
Çizelge 5.9 Bilecik ilinde kullanılan yakıtlardan kaynaklanan emisyon miktarları .....	49
Çizelge 5.10 Dispersiyon katsayıları.....	51
Çizelge 5.11 N yönü, SO <sub>2</sub> konsantrasyonu için t-test sonuçları.....	59
Çizelge 5.12 NNW-NNE yönleri, SO <sub>2</sub> konsantrasyonu için t-test sonuçları .....	60
Çizelge 5.13 NW-NE yönleri, SO <sub>2</sub> konsantrasyonu için t-test sonuçları .....	61
Çizelge 5.14 N yönü, PM konsantrasyonu için t-test sonuçları .....	62
Çizelge 5.15 NNW-NNE yönleri, PM konsantrasyonu için t-test sonuçları.....	63
Çizelge 5.16 NW-NE yönleri, PM konsantrasyonu için t-test sonuçları .....	64

## ÖNSÖZ

İnsan sağlığının yanı sıra diğer canlıları, eşyaları ve doğal dengeyi tehdit etme kapasitesi nedeniyle, hava kirliliğinin önlenmesi veya mevcut kirliliğin azaltılması çevre açısından önemli bir konudur. Kirliliğin önlenmesi veya azaltılması için gerçege olabildiğince yakın emisyon envanterleri ve modellemeler yapılması gerekmektedir. Bilecik ili için hava kirleticileri envanteri ve modellemesi ile ilgili ilk defa yapılan bir çalışma olması ve emisyon envanterinin sürekli güncelleştirilmesi gerekliliğinden dolayı, bu çalışma ileride yapılacak daha ayrıntılı çalışmalara bir temel teşkil etmektedir.

Bu tez çalışmasında bilgisi ve desteği ile her zaman yanımada olan tez hocam Yrd. Doç. Dr. Arslan Saral'a teşekkür ederim. Yine tez ile ilgili yardımcılarını esirgemeyen Çevre Mühendisliği Bölüm Başkanı Prof. Dr. Ferruh Ertürk'e teşekkür ederim.

Tez çalışmam boyunca verdiği izin ve desteğinden ötürü Boğaziçi Üniversitesi Çevre Bilimleri Enstitüsü Müdürü Prof. Dr. Orhan Yenigün'e; Bilecik Organize Sanayi Bölgesi'ndeki ölçümlerde birlikte çalıştığımız Uzman Göksel Gök'e, Arş. Gör. Ulaş İm'e, Turgay Kazar'a; bana moral kaynağı olan arkadaşlarım Çevre Müh. Ümmihan Tekçe'ye, Arş. Gör. Suna Erses'e ve Serap Akyüz'e

İstatistik bilgilerini benimle paylaşan Arş. Gör. Birsen Erdoğan ve Arş. Gör. Nilgün Ayman'a

Yardımlarından dolayı Bilecik Organize Sanayi Çevre Mühendisi Esra Oruç'a

Ve daima bana destek olan eşime ve aileme teşekkürlerimi sunarım.

## ÖZET

Bu çalışmanın temel amacı Bilecik ilinde hava kalitesine etkisi olan tüm kirletici kaynakların belirlenmesi ve bunların etkilerine dayanarak bir emisyon envanteri ve modelleme çalışmasının hazırlanmasıdır.

Bu tez kapsamında, Bilecik ilinin hava kirliliği envanteri kükürt dioksit, partikül madde, karbon monoksit, azotoksitler ve hidrokarbonlar için çıkarılmış ve Gauss Dispersiyon modeli ve ATDL (Atmospheric Turbulance and Diffusion Laboratory) dispersiyon-modelleme yöntemi kullanılarak Bilecik ilindeki kükürt dioksit ve partikül madde konsantrasyon dağılımları tespit edilmiştir.

Günümüze kadar yapılmış mevcut hava kalitesi seviyeleri hakkında bilgiler toplanmış ve bunların kaynakları araştırılmıştır. Sanayi bölgesinden, evsel ısınmadan ve trafikten kaynaklanan kirletici emisyon miktarları, sanayi tesislerinin emisyon raporları ve Amerikan EPA emisyon faktörleri kullanılarak hesaplanmıştır. Bu hesaplamalara göre Bilecik ilinde kükürt dioksit emisyonlarının %47,5'i sanayiden, %50,4'ü evsel ısınmadan ve %2,1'i trafikten, partikül madde emisyonlarının %5,8'i sanayiden, %89,5'i evsel ısınmadan ve %4,7'si trafikten, karbon monoksit emisyonlarının %4,6'sı sanayiden, %64'ü evsel ısınmadan ve %31,4'ü trafikten, azot oksit emisyonlarının %19,9'u sanayiden, %53,5'i evsel ısınmadan ve %26,6'sı trafikten, hidrokarbon emisyonlarının %0,4'ü sanayiden, %13,3'ü evsel ısınmadan ve %86,3'ü trafikten kaynaklanmaktadır.

Bilecik ili 2\*2 km'lik grid ve yüksekliği 1000 m olan bir kutu olarak düşünülmüş, buradan bulunan kükürt dioksit ve partikül madde emisyon yükleri ve meteorolojik veriler kullanılarak bölgede modelleme çalışması yapılmıştır. Model kullanılarak elde edilen değerler ve gerçek ölçümler kıyaslandığında yüksek korelasyon sağlandığı görülmüştür.

**Anahtar Kelimeler:** Emisyon envanteri, Gauss Dispersiyon Modeli, ATDL, SO<sub>2</sub>, PM.

## **ABSTRACT**

The main objects of this study are to determine all the pollution sources which affect air quality in Bilecik and to prepare emission inventory and modeling as regarding of the results.

In this study, emission inventory of Bilecik was created for criteria pollutants including sulfur dioxide ( $\text{SO}_2$ ), particulate matter (PM), carbon monoxide (CO), nitrogen oxides ( $\text{NO}_x$ ) and hydrocarbons (HC). Also distribution of sulfur dioxide and particulate matter concentrations were determined using Gaussian Dispersion Model and Atmospheric Turbulence and Diffusion Laboratory (ATDL) Model in Bilecik.

Up to date information about existing air quality levels in Bilecik was collected and contaminative sources were searched. The amounts of emissions originated from industrial region, domestic fuel burning and traffic were calculated using the emission reports of the industrial plants and emission factors of the US EPA. According to these calculations, 47,5% of total sulfur dioxide emissions came from industry, 50,4% from combustion for domestic heating, and 2,1% from traffic; 5,8% of total particulate matter emissions came from industry, 89,5% from combustion for domestic heating, and 4,7% from traffic; 4,6% of total carbon monoxide emissions came from industry, 64% from combustion for domestic heating, and 31,4% from traffic; 19,9% of total nitrogen oxides emissions came from industry, 53,5% from combustion for domestic heating, and 26,6% from traffic; 0,4% of total hydrocarbon emissions came from industry, 13,3% from combustion for domestic heating, and 86,3% from traffic;

Bilecik's atmosphere is considered to be a 1000 m height box on the surface of 2\*2 km grid. Modeling study was done for sulfur dioxide and particulate matter emissions obtained by using the box model with the aid of meteorological data. As a result, high correlations between the values obtained from modeling and real measurement were found.

**Keywords:** Emission inventory, Gaussian Dispersion Model, ATDL,  $\text{SO}_2$ , PM

## 1. GİRİŞ

### 1.1 Hava Kirliliğinin Tanımı

Hava kirliliğinin en genel tanımı; havanın doğal yapısında bulunmayan maddelerin atmosferde hava bileşimi içinde yer alması, havanın doğal yapısında bulunan maddelerin de çevreye zarar verecek konsantrasyonlara ulaşmasıdır. Kirliliğe neden olan bu maddeler katı, sıvı ve gaz halde bulunabilirler (Ölmez, 1998). Bir başka tanım; insan, hayvan, bitki veya eşyalara zarar verebilecek miktarlarda, toz, gaz sis, koku, duman veya buhar gibi dış atmosferde bulunan bir veya daha fazla kirletici hava kirlenmesini oluşturmaktadır (Gümüş, 1991).

Hava kalitesi, insan ve çevresi üzerine etki eden hava kirliliğinin göstergesi olan, çevre havasında mevcut hava kirleticilerin artan miktarlarıyla azalan kalitelerdir. Bu kalitelerin belirlenmesindeki amaç, insan ve diğer canlıların sağlığını korumak ve atmosferin doğal yapısının bozulmasını önlemektir. Bu amaçla, korunması hedeflenen varlıklara göre farklı hava kalitesi sınırlamaları yapılmakta, bunlar ülkeden ülkeye, hatta aynı ülkede bölgeler arasında değişmektedir (Ölmez, 1998).

Ülkemizde 2872 sayılı Çevre Kanunu'na dayanarak 2 Kasım 1986 tarihinde yürürlüğe girmiş olan Hava Kalitesi Kontrol Yönetmeliği'nde değişik hava kalitesi sınırlamaları bulunmaktadır. Bunlardan kirletici parametreler ve uygulama alanları açısından en geniş kapsamlı olanlar Uzun Vadeli Sınır (UVS) ve Kısa Vadeli Sınır (KVS) değerleridir. UVS, aşılmaması gereken bütün ölçüm sonuçlarının aritmetik ortalaması olan değerlerdir. KVS ise maksimum günlük ortalama değerler veya istatistik olarak bütün ölçüm sonuçları sayısal değerleri büyüklüğüne göre dizildiğinde, ölçüm sonuçlarının %95'ini aşmaması gereken değerlerdir. Bu sınır değerler çizelge 1.1'de gösterilmiştir.

### 1.2 Hava Kirleticilerinin Sınıflandırılması

Hava kirleticileri fiziksel hallerine göre, gaz ve partikül halindeki kirleticiler olmak üzere iki ana sınıfta toplanabilirler. Ayrıca hava kirleticilerini oluşumlarına göre primer ve sekonder olmak üzere iki grupta toplamak da mümkündür.

Çizelge 1.1 HKKY'deki uzun ve kısa vadeli hava kalitesi sınır değerleri (HKKY, 1986)

Kirletici	Birim	UVS	KVS
Kükürt dioksit			
- Genel	$\mu\text{g}/\text{m}^3$	150	400 (900)
- Endüstri bölgeleri	$\mu\text{g}/\text{m}^3$	250	400 (900)
Karbonmonoksit	$\mu\text{g}/\text{m}^3$	10.000	30.000
Azot dioksit	$\mu\text{g}/\text{m}^3$	100	300
Azotmonoksit	$\mu\text{g}/\text{m}^3$	200	600
Klor	$\mu\text{g}/\text{m}^3$	100	300
Klorlu hidrojen ve gaz halde klorürler	$\mu\text{g}/\text{m}^3$	100	300
Florlu hidrojen ve gaz halde florürler	$\mu\text{g}/\text{m}^3$	---	10 (30)
Ozon	$\mu\text{g}/\text{m}^3$	---	(240)
Hidrokarbonlar	$\mu\text{g}/\text{m}^3$	---	140 (280)
Hidrojen sülfür	$\mu\text{g}/\text{m}^3$	---	40 (100)
Havada asılı partiküler maddeler			
- Genel	$\mu\text{g}/\text{m}^3$	150	300
- Endüstri bölgeleri	$\mu\text{g}/\text{m}^3$	200	400
PM içindeki kurşun ve bileşikleri	$\mu\text{g}/\text{m}^3$	2	---
PM içindeki kadmiyum ve bileşikleri	$\mu\text{g}/\text{m}^3$	0,04	---
Çöken tozlar			
- Genel	$\text{mg}/\text{m}^2.\text{gün}$	350	650
- Endüstri bölgeleri	$\text{mg}/\text{m}^2.\text{gün}$	450	800
Çöken tozlarda kurşun ve bileşikleri	$\mu\text{g}/\text{m}^2.\text{gün}$	500	---
Çöken tozlarda kadmiyum ve bileşikleri	$\mu\text{g}/\text{m}^2.\text{gün}$	7,5	---
Çöken tozlarda talyum ve bileşikleri	$\mu\text{g}/\text{m}^2.\text{gün}$	10	---

*Not: Parantez içindeki değerler referans maksimum saatlik konsantrasyonlardır.*

### **Gaz Halindeki Kirleticiler**

Gaz halindeki kirleticilerin kaynakları yanma, sanayi tesisi ve doğal kaynaklar olarak üç kategoride toplanabilir. Gaz halindeki primer kirleticiler içinde en önemlilerini kükürtlü bileşikler ( $\text{SO}_2$ ,  $\text{H}_2\text{S}$  gibi), azotlu bileşikler ( $\text{NO}$ ,  $\text{NH}_3$  gibi), karbonlu bileşikler ( $\text{CO}$ ,

hidrokarbonlar-HC) ve halojen bileşikler (florür, klorür, Bromür gibi) oluşturur. Sekonder kirleticiler içinde ise  $\text{SO}_3$ ,  $\text{H}_2\text{SO}_4$ ,  $\text{NO}_2$  ve  $\text{NO}_3$  gibi bileşikler gelmektedir.

### ***Partiküller Halindeki Kirleticiler***

Partikül halindeki kirletici kaynakları da yanma, sanayi tesisleri ve doğal kaynaklardır. Partiküller katı ya da sıvı halde bulunabilirler.

### ***Primer ve Sekonder Kirleticiler***

Primer kirleticiler, kaynaktan doğrudan atmosfere verilenler, sekonder kirleticiler ise primer kirleticiler ile atmosferde bulunan bir takım kimyasal maddelerin reaksiyonu neticesinde ortaya çıkanlardır. Örneğin fotokimyasal oksidantlar (ozon, peroksiasetilnitrat-PAN,  $\text{NO}_2$ ), atmosferde solar radyasyon (UV ışını) ile birtakım bileşiklerin ( $\text{NO}_2$ , HC gibi) zincirleme reaksiyonları neticesinde meydana geldikleri için sekonder kirletici grubuna girerler.

## **1.3 Kirleticilerin Emisyon Kaynakları**

Atmosfere karışan gerek gaz, gerekse partikül halindeki kirleticilerin olduğu yerlere *kaynak* adı verilir. Genel olarak hava kirletici kaynaklar “doğal kaynaklar” ve “yapay (antropojen) kaynaklar” olarak sınıflandırılabilirler.

Doğal kaynaklara örnek olarak volkan faaliyetlerini, orman yangınlarını veya açık arazide yakmayı verebiliriz.

Hava kirlenmesi kontrolü bakımından asıl önemli olan antropojenik kaynaklardır. Bunlar kendi içinde farklı şekillerde sınıflandırılabilirler. Kaynağın konumunun fiziksel olarak zamana bağlı değişip değişimemesine göre sabit kaynaklar ve hareketli kaynaklar şeklinde iki sınıfta ele alınabilirler.

### ***Sabit Kaynaklar***

Eğer kirletici kaynağın yeri sabitse ve zamanla değişmiyorsa bunlara sabit kaynaklar denir. Evsel ıslınma tesisleri, termik santraller ve fabrikalar bu tür kaynaklardır. Bunlar da kirliliği yayma şekline göre nokta ve alan kaynak olarak ikiye ayrılırlar.

- Nokta kaynaklar; bir üretim faliyeti sonucunda oluşan hava kirleticilerin tek bir noktadan atmosfere verildiği kaynaklardır.

- Alan kaynaklar; kirleticilerin geniş bir alanın tamamından atmosfere yayıldığı kaynaklardır. Ayrıca doğal kaynakların büyük bir çoğunluğu da alan kaynak sınıfına girmektedir.

### ***Hareketli Kaynaklar***

Eğer hava kirliliğine neden olan kaynağın yeri zamanla değişiyorsa bu tür kaynaklar hareketli kaynaklar olarak isimlendirilir. Örneğin taşılarda hareket halinde iken kirletici oluşturduklarından hareketli kaynaklardır. Duman davranışının açısından bunlar “çizgisel kaynak” olarak da tanımlanabilmektedir. Çünkü bu kaynaklardan çıkan kirleticiler bir hat şeklinde atmosfere (otoyollar) atılmaktadır.

### **1.4 Yakıtlar**

Genel anlamda yandığı zaman ısı açığa çıkan maddelere yakıt denir. Doğal haliyle yakıt olarak kullanılabilen yakıtlara (taşkömürü, linyit vb.) birincil yakıtlar, bazı işlemler sonucunda özellikleri değiştirilerek kullanılan yakıtlara (kok, mangal kömürü vb.) ise ikincil yakıtlar denilmektedir. Yakıtları fiziksel halleri açısından katı, sıvı ve gaz yakıtlar olarak sınıflandırmak mümkündür.

Ülkemizde yakıt kullanımı incelendiğinde katı yakıtların birincil, petrol kökenli yakıtların da ikincil yakıt olarak kullanıldığı görülmektedir. Yakıtları temelde üç grup halinde incelemek mümkündür:

#### ***Katı yakıtlar***

Kömür bünyesinde bulunan karbon ve hidrojen çok karmaşık ve büyük molekül yapılarında bulunur ve C/H oranı yüksektir. Isıl değeri azaldıkça kömürün nem ve yabancı madde oranı artar. Bu yabancı maddeler bazen karışım halinde bazen de molekül yapısında C- ve H-bağlarına tutunmuş olarak yer alır. Nem ise yer altından gelen kömüre fiziksel olarak bağlı sudan veya bünyede bulunan H- atomları yandığında oluşan su buharından ileri gelir. Birincisi fiziksel nem, ikincisi ise kimyasal nem olarak adlandırılır. Kurutulmamış kömürdeki fiziksel bağlı nem, hem yakıtın nakliye masrafını artırır, hem de yanma sırasında elde edilen enerjinin bir kısmı bu nemi buharlaştmaya gideceği için yakıtın isıl değerini azaltır.

Kül, yanmayan maddelerden meydana gelir; toz, toprak, kum, demirli, silikatlı, alüminatlı, kireçli ve magnezyumlu bileşenler bunlar arasında sayılabilir. Kül içeriğinin fazla olması, nemin fazlalığına benzer şekilde yakıtın isıl değerini düşürür. Ayrıca kül içeriğinde

bulunabilen ergime noktası düşük bileşenler, yanma sırasında ergiyerek camlaşır ve bu sırada yakıtın da bir kısmını örterek yanmayı engelleyebilir. Kül yapısındaki kireç taşı, dolomit gibi karbonatlı maddeler ise yüksek sıcaklıklarda kalsine olur, yani karbon dioksit çıkışı ile kalsiyum ve magnezyum oksitlere dönüşebilirler. Bu durumda ısı çıkışı yine etkilenir ve azalır. Buna karşılık bu alkali oksitlerin atık gaz içerisindeki kükürt oksitleri tutarak uzaklaştırmaya yardımcı oldukları belirlenmiştir.

İçeriğinde bulunan yanabilir nitelikteki ağır molekül yapısındaki organik madde (bitüm), kömüre parlak yağlı bir görünüm verir. Bu madde yakıtın ısıl değerini arttırır, kirletici özelliklerini de belirler. Bitümsüz ve çok miktardaki yabancı maddelerle karışık bir tür olan linyitler ülkemizde çok büyük bir potansiyel oluşturmaktadır. Bu kalitesiz kömür varlığı ülkemizin tonaj bakımından en önemli enerji kaynaklarından başta gelenidir. (Müezzinoğlu A., 2000)

### **Sıvı yakıtlar**

Sıvı yakıtlardan endüstriyel amaçlarla veya büyük bina ısıtmasında kullanılan türler ağır residüel yağlar sınıfındaki fuel oillerdir. Bunlar ham petrol damıtılmasından artakalan zift grubundan hemen önceki ağır yağlar sınıfıdır. Petrolün yapısına bağlı olarak bu fraksiyonlarda kükürt ve diğer yabancı maddelerin en büyük kısmı kalır. Eğer özel bir desülfürizasyon yöntemi uygulanmazsa, bu yakıtlar önemli ölçüde kükürt içerir. Bu gibi fueloil desülfürize edebilen sistemler Türkiye'deki rafinerilerde henüz yoktur. Bu nedenle de fuel oilerde yüksek oranda kükürt vardır ve bunlar yandığında bacalardan büyük miktarda kükürt dioksit emisyonu çıkmaktadır. Coğunlukla rafineri çıkışında fuel oil analizlerinde kükürt oranı verilmemekte, ancak bu oranın 6 numaralı fuel oil için %3,5 dolaylarında olduğu ifade edilmektedir. Analizlerde kükürt oranı verilmemesi normaldir çünkü ham petrolün kükürt içeriğine bağlı olarak değişken oranlar söz konusudur. Bu nedenle birçok kez %3,5'tan daha fazla kükürt içeren fuel oilerin piyasaya çıktıgı görülmektedir. Hatta 4 numara adıyla piyasaya verilen yakıtın bile kükürt yüzdesi %2-2,4 civarında olmaktadır ki bu gibi kükürt yüzdeleriyle atık gazların Hava Kalitesinin Korunması Yönetmeliğince öngörülen emisyon sınırlarına uyması mümkün değildir. Sadece fuel oileri motorin ile inceltmek suretiyle yapılacak karışımların yasal sınırlara uygun sıvı yakıtlar oluşturulması mümkün olmaktadır. (Müezzinoğlu A., 2000)

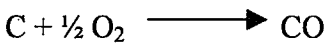
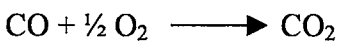
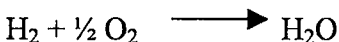
### **Gaz yakıtlar**

Ülkemize yakın geçmişte giren Sibirya kökenli doğal gaz, İstanbul-Kocaeli-Bursa-Eskişehir-Ankara hattında kentlerde ve sanayilerde bir ölçüde hava kirlenmesi sorununa acil çözüm getirmektedir. Bunun dışında bütan ve propan karışımı sıvılaştırılmış petrol gazı (LPG) ile çalışan kazanlar ve elektrik üretiminde yaygınlaşan kojenerasyon sistemleri basınçlı hale getirilerek sıvı şekilde nakledilip depolanan gazlarla, sobalar ise tüp gazla çalıştırılabilmektedir.

Gaz yakıtlarda hem yanma daha iyi ve kolaydır, hem de kül ve kükürtlü atıklar pek az olduğundan çevre kirletici etkileri minimum düzeydedir. Ancak yüksek yanma sıcaklıklarında çalışıldığından azot oksit oluşumlarının özel tasarımlanmış sistemler kullanılmak suretiyle kontrol edilmesi şarttır. (Müezzinoğlu A., 2000)

### **1.5 Yanma**

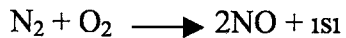
Yanma yakıt içerisindeki yanabilir elemanların havanın oksijeni ile hızlı kimyasal bileşmeleri olayı şeklinde tarif edilebilir. Yakıt içerisindeki temel yanabilir elemanlar karbon (C), hidrojen (H), kükürt (S) ve bunların bileşikleridir. Yanma işleminde bu elemanlardan karbon karbondioksite, hidrojen su buharına ve kükürt de kükürt dioksiteme dönüşürken yanma ısısı adı altında enerji verirler. Yanabilen elemanlarla oksijenin birleşmesi tutuşma için yeteri kadar yüksek sıcaklığa, çok iyi bir karışma veya türbülansa ve yanmanın tamamlanması için yeterli bir zamana ihtiyaç gösterir. Temel yanıcı elemanların yanma reaksiyonları aşağıda verilmiştir.



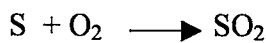
Fosil yakıt adını verdigimiz kömür veya petrolün yakılması ile oluşan  $CO_2$  ve bu yakıtların içinde bulunan hidrojenin yanması ile aşağı çıkan su buharı hava kirletici sayılmasız. Ancak yakıt içeriğinde bulunan safsızlıklarla, hava (oksijen) veriliş oranı ve şecline, yanma sıcaklığının gereğinden az veya çok oluşuna bağlı nedenlerle bu iki reaksiyonun tam olarak meydana gelmeyisi nedeniyle oluşan başka gaz ve buharlar kirletici sayılırlar. Örneğin yakıt

içindeki karbon, oksijen ile birleşerek karbondioksit oluşturduğu gibi bazen tam yanmama sonucu karbon monoksit oluşur.

Yüksek yanma sıcaklıklarında ( $800^{\circ}\text{C}$  ve üstü) havanın azotu ile oksijen birleşerek aşağıdaki reaksiyonları meydana getirir.



Yakıtın bileşimindeki kükürt:



reaksiyonu gereğince  $\text{SO}_2$  olarak ortaya çıkar. Yakıtın kül yüzdesine ve yakma sisteminin türüne göre toz emisyon oluşur. Ayrıca, tam yanmama nedeniyle yakıtın yanmayan kısmı yanmamış hidrokarbonlar olarak ortaya çıkar. Bunların yanı sıra, sanayi kuruluşlarından üretim artığı pek çok türde toz, gaz ve buhar; açıkta bırakılan hammadde, yarı ürün veya üründen dolayı yaygın olarak bacalardan atmosfere verilmektedir.

## 2. EMİSYON ENVANTERİ

### 2.1 Emisyon Envanterinin Tanımı

Hava kirliliğinin belirlenmesi ve kontrolünde, kirletici türlerinin ve bunların emisyonlarının bilinmesi gereklidir. Kirletici kaynakların atmosfere birim zamanda verdiği kirletici miktarı olarak tanımlanan **emisyon**, atmosferdeki kimyasal reaksiyonlardan, meteorolojik ve topografik koşullara kadar çeşitli faktörlerden etkilenir. Söz konusu bu emisyonların bir bölgede sistematik olarak toplanması ve değerlendirilmesine ise **emisyon envanteri** adı verilir. Emisyon envanterinin yapısını kirletici kaynaklar ve bunların neden olduğu kirlilik miktarı oluşturur. Kirlilik miktarları belirlenirken kirletici kaynağına ait pek çok bilgiden yararlanılır. Bunlar kirletici kaynakların sayısı, proses türü, yakıt sarfiyatı gibi bilgiler olabilir.

Diğer bir tanımla emisyon envanteri, incelenenek bir bölgede belirli bir zaman diliminde, hava kirletici kaynaklardan atmosfere verilen kirleticilerin listesidir. Kısa veya uzun vadede hava kalitesi tahmini ve değerlendirilmesi amacıyla hazırlanan dispersiyon modellerinde en önemli girdidir (Kemerdere, 1996).

Emisyon envanterleri sürekli güncel tutulan çalışmalarıdır. Yeni veriler elde edildikçe, mevcut envantere hemen ilave edilir ve envanter bu son değişikliğe göre güncel tutulur. Aksi takdirde envanter, kısa bir süre içinde geçerliliğini kaybeder.

Emisyon envanterleri değişik amaçlarla yapılabilir. Bu amaçlardan başlıcaları şu şekilde verilebilir:

1. Emisyonların azaltılmasına yönelik faaliyetlerin yönlendirilmesi,
2. İzleme istasyonlarının ve erken uyarı şebekesinin konumlandırılmasına katkıda bulunması,
3. Hava kirletici yüklerin coğrafi ve mevsimsel değişimlerinin belirlenmesi,
4. Uygulanacak stratejilerin geliştirilmesine yardımcı olunması,
5. Hava kalitesi problemlerinin önceliklerinin belirlenmesi,
6. Bölgesel planlama yapılabilmesi,
7. Gelecekteki hava kalitesi eğilimlerinin tahmin edilmesi,
8. Hava kirliliğinde fayda-maliyet ilişkisinin belirlenmesi,

9. Toplumun eğitimi ve bilgilendirilmesine yönelik programların oluşturulması (Tünay ve Alp, 1996).

## **2.2 Emisyon Envanteri Çeşitleri**

Günümüzde, gerek Avrupa'da gerekse ülkemizde farklı amaçlarla hazırlanmış ve halen hazırlanmakta olan çok sayıda emisyon envanteri mevcuttur. Genellikle Avrupa'da faaliyet gösteren büyük çevresel organizasyonlar ve araştırma grupları tarafından hazırlanan bu envanterlerden belli başlıları şunlardır:

- ECE-EMEP (Economic Comission for Europe)-(The European Monitoring and Evaluation Programme, Avrupa'da hava kirleticilerin uzun mesafeli taşınımlarının izlenmesi ve değerlendirilmesi amacıyla düzenlenen program)
- CEC-CORINAIR (Comission of European Communities, Avrupa Topluluğu Komisyonu)-(COordination INformation AIR, Topluluğa üye ülkeler arasındaki çevresel sorunların çözümleri ile ilgili proje)
- CEC-DG-XI (Comission of European Communities, Avrupa Topluluğu Komisyonu)-(European Commission Directorate for Environment Nuclear Safety and Civil Protection)
- PHOXA (Photochemical Oxidant and Acid deposition model application)
- OECD-IPCC (Organization for Economic Co-operation and Development)-(Intergovernmental Panel on Climate Change)
- EUROTRAC/GENEMIS (European Experiment for Transporting and Transforming Environmentally Relevant Trace Construction in the Troposphere, Avrupa üzerindeki troposfer tabakasının insan faliyetlerinden nasıl etkilendiğini inceler)/(Generation and evaluation of Emission data, Avrupa'da bir emisyon envanteri veri bankası oluşturulması ve bu bankada toplanacak verilerin EUROTRAC'in diğer bir alt projesinde kullanılan hava dağılım modeline girdi olarak hazırlanması projesi)
- OECD-MAP (Organization for Economic Co-operation and Development) emisyon envanterleridir.

## **2.3 Emisyon Envanteri Hazırlama Aşamaları**

Emisyon envanterleri kapsadıkları alana göre global ölçek, bölgesel ölçek ve yerel ölçek olmak üzere genelde üç ölçekte gerçekleştirilir. Literatürde, hangi ölçekte olursa olsun bir emisyon envanterinin dört ana aşamada hazırlandığı ifade edilmektedir. Bunlar sırasıyla:

- Planlama
- Veri toplama
- Veri analizi ve emisyon tahmini
- Raporlama

### **2.3.1 Planlama**

Tüm planlama işlemlerinin gerçekleştiği bu aşamada, çalışmayı gerçekleştirecek olan araştırcı kurum veya kişi öncelikle envanteri hangi amaçla hazırlayacağına karar verir. Karardan sonra çalışmanın amacına bağlı olarak envanterin kapsayacağı coğrafi alan, içereceği kirletici ve kirletici kaynak türleri belirlenir. Elde edilen sonuçların nasıl kullanılacağı ve hangi düzende sunulacağı bu aşamada planlanır.

### **2.3.2 Veri Toplama**

Emisyon envanterlerinin kalitesi, kirletici kaynaklar hakkında toplanan bilgilerin miktarı ile doğru orantılıdır. Bu yüzden, envanter çalışmalarında kirletici kaynaklar hakkında mümkün olduğunca çok ve detaylı bilgi toplanmalıdır. Emisyon envanterlerinde genelde kirletici kaynaklar üç grupta toplanırlar. Bunlar:

- Nokta kaynaklar (genellikle sanayi tesisleri)
- Alan kaynaklar (genellikle evsel ısnınma)
- Çizgi kaynaklar (trafik)

Her kirletici kaynak türünün kendine has farklı bilgi çeşidi vardır. Örneğin nokta kaynaklar için yakıt tüketimi, üretim türü, çalışma süresi, baca yüksekliği vb. bilgiler önemliken, diğer bir kirletici kaynak türü olan çizgi kaynaklar için yakıt sarfiyatları, seyahat mesafeleri, kullandıkları teknoloji vb. gibi bilgiler önemlidir.

### **2.3.3 Veri Analizi ve Emisyon Tahmini**

Bir önceki aşamada elde edilen ham veriler bu aşamada iyice analiz edilerek emisyonların tahmininde kullanılacak bilgilere dönüştürülür ve daha sonra ifade edilecek metodlardan biri kullanılarak emisyon tahmini yapılır. Emisyon tahmini için kullanılan en yaygın metot, emisyon faktörlerinin kullanılmasıdır. Emisyon faktörü üretmek zor bir iş olduğundan genellikle hazır veri tabanlarının kullanılması yoluna gidilmektedir. Böyle bir hazır veri

tabanı kullanılırken dikkat edilecek husus, bu veri bankasından temin edilen emisyon faktörlerinin güvenilirliğinin ve çalışmanın hazırlandığı bölge karakteristiklerini temsil edip etmediğinin tespit edilmesidir. Bu veri tabanının sürekli güncellendiriliyor olması da aranan diğer bir özelliktir.

#### **2.3.4 Rapor Hazırlama**

Bu aşamada, elde edilen sonuçlar, planlama aşamasında belirlenen hedefler doğrultusunda sunulur. Envanter sonuçları yeterince açık ve çarpıcı olmalıdır.

#### **2.4 Emisyon Tahmini**

Emisyon envanterlerinde emisyonların tespiti üç yöntem ile yapılır.

- Yerinde ölçüm
- Kütle dengesi
- Emisyon faktörü kullanımı

Yerinde ölçüm metodu, gelişmiş ekipman ve yüksek maliyet gerektirdiğinden pratikte her zaman mümkün olmayabilir. Özellikle ülkemizdeki ekipman ve deneyimli eleman sayısı dikkate alındığında, her kirletici kaynakta bire bir ölçüm yapmak çok zordur. Bu durumlarda kullanılabilecek en iyi yöntem emisyon faktörleridir. Kirletici kaynağın birim faaliyeti başına havaya verdiği kirletici miktarı olarak anılan *emisyon faktörü*, her ne kadar madde dengesi yöntemini esas alsa da bir takım hazır rakamlardan ibaret olması kullanımını diğer yöntemlere oranla üstün ve kolay kılar. Emisyon faktörü türetmek çok zor ve zahmetli bir çalışma olduğu kadar ileri teknoloji de gerektiren bir çalışmadır. Bu yüzden günümüzdeki çoğu emisyon envanteri hazırlama çalışmasında hazır emisyon faktörü veri tabanlarının kullanılması yoluna gidilmektedir.

#### **2.5 Emisyon Faktörleri**

Emisyon faktörü, bir kirletici kaynağın birim faaliyeti başına atmosfere vermiş olduğu kirletici miktarı olarak tanımlanabilir. Emisyon faktörlerinin en yaygın kullanılış biçimleri, atmosfere yayılan kirlilik miktarının, kaynak tarafından tüketilen birim yakıt miktarına kütlesel oranı ya da birim zamanda endüstriyel kaynaktan çıkan birim ürün miktarına oranı şeklindedir. Aşağıda birkaç farklı emisyon faktörü birimi örnek olarak verilmiştir:

- kg SO<sub>x</sub> / ton kömür
- kg NO<sub>x</sub> / saat
- kg NO<sub>x</sub> / km araç

Temelde kütlesel emisyonları, kaynaktaki birim üretim ile veya kaynaktaki birim yakıt tüketimi ile ilgilendirmek gereklidir. Özellikle yakıt tüketimi ile ilişkili kurulduğunda kaynaktaki yakma teknolojisine de aynı oranda dikkat etmek gereklidir. Zira aynı yakıtı kullanan fakat farklı yakma teknikleri kullanan kaynaklarda ölçme yoluyla belirlenen emisyonlar arasında büyük farklar görülebilmektedir.

## **2.6 Emisyon Faktörü Veri Tabanları**

Günümüzde, özellikle Avrupa'da pek çok emisyon faktörü veri tabanı bulunmaktadır. Bunların içinde en kapsamlı olanı CORINAIR emisyon faktörü veri tabanıdır. En az CORINAIR veri tabanı kadar zengin olan diğer bir veri tabanı da Amerika'daki EPA emisyon faktörü veri tabanıdır. Bu çalışmada EPA emisyon faktörü veri tabanı kullanılmıştır ve bu değerler çizelge 2.1'de verilmiştir.

## **2.7 Literatürdeki Emisyon Envanteri İle İlgili Çalışmalar**

Bugüne kadar emisyon envanteri ile ilgili pek çok çalışma yapılmıştır. Bu bölümde Asya'da, Avrupa'da ve ülkemizde yapılmış bu çalışmalardan bazlarına yer verilmiştir.

Sivacoumar ve arkadaşları (1999) yaptıkları çalışmada Hindistan'ın Jamshedpur şehrinde ölçülen NO<sub>x</sub> emisyonunu matematik modeli kullanarak buldukları tahmini emisyon ile kıyaslamışlar ve %68'lik doğruluk elde etmişlerdir. Endüstriyel hava kirliliği kaynakları, endüstrilerin emisyon oranlarından ve karakteristiklerinden toplanmıştır. Taşıtlar kullandıkları yakıtlara göre sınıflandırılmış ve taşıt sayısı resmi kaynaklardan öğrenilmiştir. Evsel kirlilik kaynakları için aile sayısına, kullanılan yakıt tipine ve miktarına göre bilgi toplanmıştır. Meteorolojik veriler, taşınabilir rüzgar monitörü aleti kurularak toplanmıştır. Ortam hava kalitesi ağı 19 izleme istasyonunun 24 saatlik periyotlarla çalışmasıyla bulunmuştur. Model performansı, model doğruluk değerlendirme metodu kullanılarak test edilmiştir. Bu metodun içeriği kriterler, gözlenen konsantrasyonlardan ve tahmini değerlerden hesaplanabilir.

Çizelge 2.1 Yakıt yanması ile ilgili emisyon faktörleri (EPA, 1985)

<b>Yakıt cinsi</b>	<b>PM</b>	<b>SO<sub>x</sub></b>	<b>CO</b>	<b>HC</b>	<b>NO<sub>x</sub></b>
<b>KÖMÜR</b>	<b>kg/ton</b>	<b>kg/ton</b>	<b>kg/ton</b>	<b>kg/ton</b>	<b>kg/ton</b>
Linyit					
Pulverize	3,2 A	13,6 S	0,5	<0,45	6,4
Siklon	2,7 A	13,6 S	0,5	<0,45	7,7
Spreader Stoker	3,2 A	13,6 S	0,5	<0,45	2,7
Bitümlü Kömür					
Pulverize					
- Genel	8 A	19 S	0,5	0,15	9
- Islak	6,5 A	19 S	0,5	0,15	15
- Kuru Taban	8,5 A	19 S	0,5	0,15	9
Siklon	1,0 A	19 S	0,5	0,15	27,5
Spreader Stoker	6,5 A	19 S	1	0,5	7,5
Elle Besleme	10	19 S	45	10	1,5
FUEL-OIL					
Termik Santral	1,26	20,5 S	0,005	0,50	13,02
Sanayi Tesis					
Ağır Fuel-oil	2,9	20,1 S	0,25	0,50	8,96
Hafif Fuel-oil	1,9	20,1 S	0,25	0,50	8,96
Ev ve Ticari İşletmeler	0,1	20,1 S	0,25	0,63	1,46
DOĞAL GAZ	<b>g/m<sup>3</sup></b>	<b>g/m<sup>3</sup></b>	<b>g/m<sup>3</sup></b>	<b>g/m<sup>3</sup></b>	<b>g/m<sup>3</sup></b>
Termik Santral	0,24	0,01	0,272	0,016	11,1
Sanayi Tesisi	0,24	0,01	0,272	0,048	3,6
Ev ve Ticari İşletmeler	0,24	0,01	0,272	0,128	1,9
BENZİN (kg/m <sup>3</sup> )	1,4	1,1	275	24	14
DİZEL (kg/m <sup>3</sup> )	13,2	4,8	7,2	16,3	26,6

**Not:** **S:** Yakıttaki kükürt yüzdesi    **A:** Kömürdeki kül yüzdesi

Reddy ve Venkataraman (2001) yaptıkları çalışma Hindistan'daki fosil yakıt tüketimi ile ilgili ilk kapsamlı emisyon envanteri çalışmasıdır. Termik santraller, endüstriyel, ulaşım ve evsel sektörlerde tüketilen kömür, petrol ve doğal gaz yüzdeleri bulunmuştur (kömür %54 ile ilk sıradadır). Hindistan'ın spesifik yakıt karakteristikleri ve yanma/hava kirliliği kontrol

teknolojileri ile ilgili bilgiler kullanılarak  $\text{SO}_2$  ve  $\text{PM}_{2.5}$  için emisyon faktörleri türetilmiştir. Evsel ve ulaşım ile ilgili emisyon faktörleri ise literatürden elde edilmiştir. Burada yapılan envanter işlemi bölgesel ölçeklidir. Fosil yakıt tüketimi ve emisyonlar, endüstriyel kaynaklarda ve 22 şehirde en yüksek noktaya ulaşmıştır.

Saija ve Romano (2002) yaptıkları çalışmada standart CORINAIR top-down yaklaşımı kullanarak İtalya'nın gelişmiş bölgelerinin trafikten kaynaklanan emisyonlarını hesaplamışlardır. Her bir bölgenin  $\text{NO}_x$ , VOC, CO,  $\text{CO}_2$  ve PM emisyonları tahmininde COPERT (Computer Programme to estimate Emission from Road Traffic) metodu uygulanmıştır. Bu metot, geniş veri tabanlı bir matematik modeldir ve her bir aracın ortalama hızı, kilometresi, yakıt tüketimi gibi parametrelerle ilişkilidir. Popülasyon ve otoyol uzunluğu gibi değişkenler yardımıyla top-down yaklaşımı uygulanır. Araştırmalar sayesinde ülkenin bölgesel emisyon envanteri listelenmiştir ve hava kalitesi değerlendirilmesi yapılmıştır. Ölmez (1998) yaptığı çalışmada Muğla ilinin hava kirliliği açısından değerlendirmesini yapmıştır. Sanayi tesislerinden, evsel ısınma ve trafikten kaynaklanan kirleticiler belirlenmiş ve EPA emisyon faktörü kullanılarak kirletici miktarları belirlenmiştir. Böylece Yatağan, Yeniköy ve Kemerköy termik santrallerinden kaynaklanabilecek kirleticiler ve miktarları belirlenmiştir. Ayrıca bu çalışmada evsel ısınmada kullanılan kömürle kireç ilave edilmesiyle  $\text{SO}_2$  emisyon ölçümündeki düşüş miktarı da gözlenmiştir.

Goncaloğlu (2000) yaptığı çalışmada İstanbul için endüstriyel kaynaklardan atılan esas kirleticiler ( $\text{CO}$ ,  $\text{NO}_x$ ,  $\text{SO}_2$  ve toz) için yaklaşık bir emisyon envanteri hazırlamıştır. Esas kirleticilerin yıllık miktarları baca ölçüm değerleri olan tesisler için ölçüm değerleri dikkate alınarak; baca ölçüm sonuçları olmayan sanayi tesisleri için ise düzenlenen bir anketle elde edilen bilgiler yardımıyla üretim, yakma sistemleri ve kullandıkları yakıtlar dikkate alınarak Amerikan EPA ve Avrupa CORINAIR emisyon faktörleri kullanılmak suretiyle yıllık emisyon miktarları hesaplanmıştır. Böylece İstanbul'un sanayi tesisleri tarafından kirletilen ilçeleri ve kirletilme miktarları belirlenmiş, seçilen dört esas kirleticinin İstanbul mücavir alan içerisindeki 26 ilçedeki dağılımı tespit edilmiş ve bu dağılım bir bilgisayar programı vasıtasıyla harita üzerinde gösterilmiştir

Elbir (2002) yaptığı çalışmada İzmir ilinde endüstriyel ve evsel ısınma kaynaklı kükürt dioksit emisyonunun dispersyonunu bulmak için CALMET meteorolojik modeli ve CALPUFF duman dispersiyon modelini kullanmıştır.  $\text{SO}_2$  konsantrasyonu 4 adet izleme istasyonu ile kabul indeksi (d) ve RMSE (root of the mean square error) metodu kullanılarak bulunmuştur.

Tahmin edilen ve ölçülen SO<sub>2</sub> konsantrasyonlarının kıyaslanması ile istatistiksel analizler yapılmıştır. 2000 yılı verilerine göre kabul indeksi 0,51 ile 0,77 arasında, RMSE ise 0,36 ile 0,66 arasında değişmektedir. İzleme istasyonları için model performansı %68'lik doğruluk ile iyi bir sonuç vermiştir.

### **3. MODELLEME**

#### **3.1 Matematik Modellemenin Tanımı ve Uygulama Prensipleri**

Herhangi bir bölgede hava kirliliğinin kontrolü ve çeşitli kaynakların hava kirliliği etki değerlendirmesi, kirleticilerin atmosferde difüzyonu ve taşınımını ifade eden hava kirliliği simulasyon modelleri ile yapılmaktadır.

Modeller, kirletici kaynak veya kaynaklardan oluşan emisyonların, bu kaynak etrafındaki dağılımlarını, yer seviyesindeki çökelmelerini, yer seviyesinde veya soluma yüksekliğindedeki uzun ya da kısa dönemli ortalama konsantrasyonlarını hesaplar.

Matematik modellerin hava kirlenmesi kontrolünde uygulanabilmesi için modelde kullanılacak giriş verilerine ihtiyaç vardır. Bu veriler uygulanacak modele göre farklılık göstermekle birlikte dört ana grupta tanımlanabilir. Bunlar meteoroloji, topografya, emisyon envanteri ve atmosfer kimyasıdır.

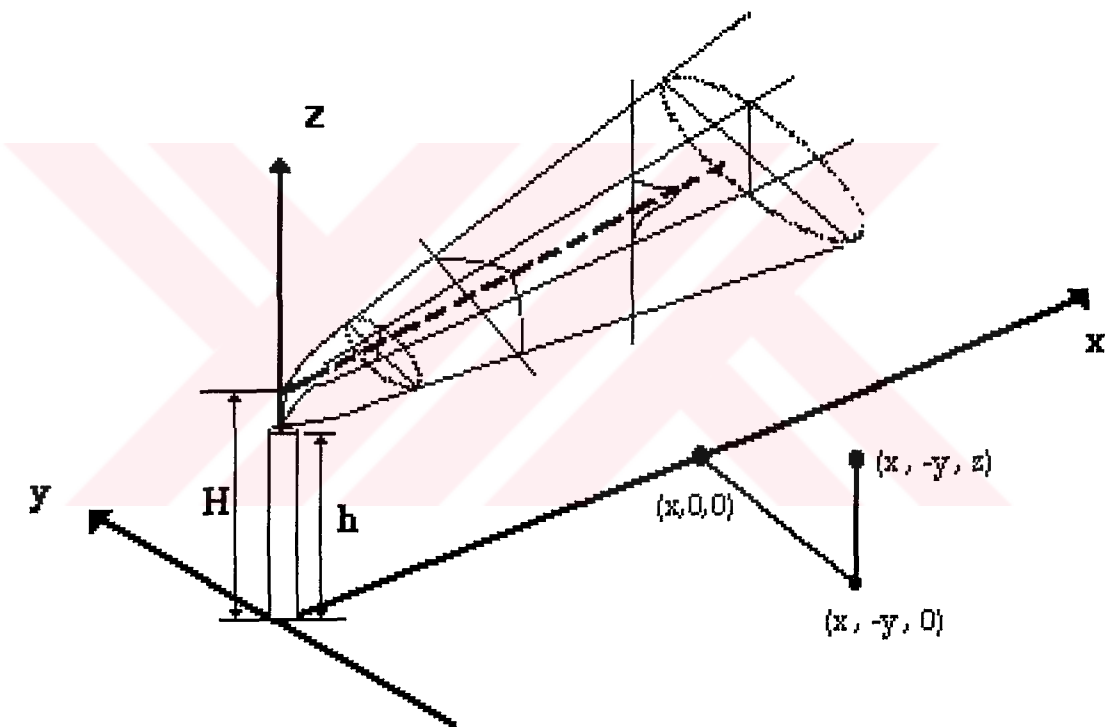
Hava kirliliği modellerinde temel yöntem, koordinatlarda oluşturulan gridlerde, modelin uygulanacağı bölgenin rüzgar esme yön ve frekansı, dış ortam sıcaklığı gibi meteorolojik verileri, baca çapı, emisyon miktarı, baca gazı çıkış hızı ve sıcaklığı gibi kaynak verileri ve topografik özellikleri modelde girdi olarak kullanıktan sonra, matematik ifadelerle kirleticilerin atmosferdeki taşınım ve dispersiyonu veya kimyasal ve fiziksel dönüşümleri ve uzaklaştırma proseslerini simule etmektir. Modelin çıktısı ise belirli bir zaman aralığı içinde belirli alıcı noktalardaki kirletici konsantrasyonlarıdır.

#### **3.2 Meteorolojinin Matematik Modele Etkisi**

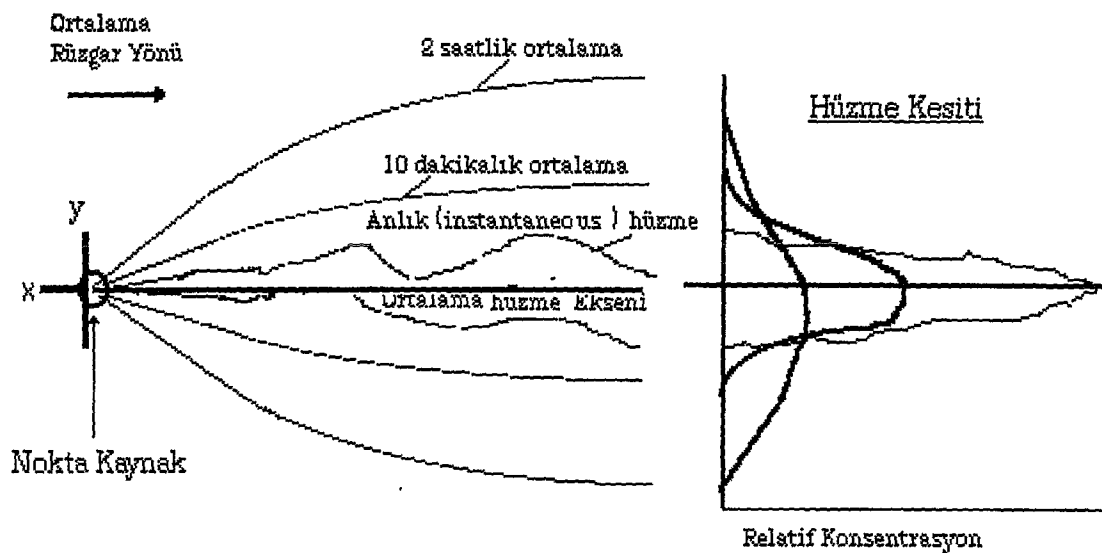
Kirletici kaynaktan çıkan emisyonların atmosferdeki yükselişini etkileyen faktörler şunlardır:

- Rüzgar hızı, esme yönü ve frekansı, dış ortam sıcaklığı
- Türbülans hareketlerinin şiddeti ve dağılımı
- Kaynaktan itibaren hareket süresi
- Bacanın geometrik yapısı
- Baca gazının fiziksel ve kimyasal özelliklerı

Kirletici kaynaktan çıkan emisyonlar rüzgar yönüne dik eksenlerde ( $y$  ve  $z$  eksenleri) belirli bir süreç içinde Normal veya Gauss tipi bir dağılım gösterebilir. Şekil 3.1'de görüldüğü gibi kaynaktan çıkan hüzme, türbülans (eddy) hareketleri sonunda dağılım göstererek genişler. Kaynağa yakın mesafede etkili olan türbülans hareketleri ile uzak mesafelerdeki türbülans hareketlerinin boyutları farklıdır. Şekil 3.2'de hüzmenin zamana göre dağılımına bakıldığında; hüzme alanı rüzgar yönüne dik olarak genişledikçe, anlık, 10 dakikalık ve 2 saatlik periyotlarda konsantrasyonların seviyesinde düşme olduğu belirlenmiştir. Anlaşılacağı üzere, kirletici kaynaktan çıkan emisyonların dağılımında bölge meteorolojisinin (ruzgar hızı, esme yönü ve frekansları, türbülans hareketleri) önemli etkisi bulunmaktadır.



Şekil 3.1 Etkin baca yüksekliği  $H$  olan bir kaynaktan çıkan hüzmenin dağılımı (Ertürk, 2003)



Şekil 3.2 Nokta kaynaktan çıkan hüzmenin zamana göre dağılımı (Ertürk, 2003)

### 3.3 Emisyon Envanterinin Matematik Modeli Etkisi

İncelenenek bölgenin kısa ve uzun vadede hava kalitesi tahmini ve değerlendirilmesi amacıyla hazırlanan dispersiyon modellerinde emisyon envanteri sonuçları en önemli veridir. Bölgede belirli bir zaman diliminde, tüm kirletici kaynaklardan atmosfere verilen kirleticilerin listesidir. Modelleme yapılacak bölgede öncelikle emisyon envanterinin hazırlanması gerekmektedir.

### 3.4 Modellemede Kirletici Kaynakların Tanımı

Kirletici kaynaklar, atmosfere verdikleri emisyon miktarına ve bölgede yerleşim durumlarına göre üç ana grupta (alan kaynak, nokta kaynak ve çizgi kaynak) incelenmektedir.

### 3.5 Gauss Dispersiyon Modeli

Gauss dispersiyon modeli, herhangi bir nokta kaynaktan çıkan hüzmenin rüzgar yönüne dik olan eksenlerde (y ve z eksenleri) belirli bir süreç içerisinde “Normal” veya “Gauss” tipi bir dağılım gösterdiği esasına dayanmaktadır.

Bir nokta kaynaktan çıkan hüzme, türbülans (eddy) hareketleri sonunda dağılım göstererek genişleyecektir. Herhangi bir konumdaki kirletici konsantrasyonu örnekleme süresine bağlı

olup, “anlık” hüzme dar bir alanda çok yüksek konsantrasyonlara sahip olabilmektedir. Buna karşı, 10 dakikalık ortalama bir süre içinde, hüzme daha geniş bir alana yayılmakta, fakat konsantrasyon düşmektedir. Aynı şekilde, 2 saatlik periyotta hüzme rüzgar yönüne dik yönde daha fazla yayılmakta, buna karşılık maksimum konsantrasyon seviyesinde düşme görülmektedir. Görüldüğü gibi, yeterli bir süre alındığında, rüzgar yönüne dik eksende konsantrasyon dağılımı “Gauss” veya “Normal Dağılım” göstermektedir.

Hüzmenin zamana göre dağılımına benzer bir şekilde, kaynaktan olan mesafeye bağlı olarak da (ruzgar yönü boyunca) bir yayılma söz konusudur. Hüzme genişledikçe, daha büyük “eddy”ler kirleticilerin dispersiyonunda etkilidir. Kaynağa yakın mesafelerde etkili olan türbülans hareketleri ile uzak mesafelerdeki türbülans hareketlerinin boyutları farklıdır. Dolayısıyla hüzmenin yayılma hızı sadece türbülans hareketlerinin şiddetine ve dağılımına değil aynı zamanda hüzmenin boyutuna, buna bağlı olarak da kaynaktan itibaren hareket süresine bağlıdır.

Hüzmenin fiziksel olarak gösterdiği dağılım özelliği, matematiksel olarak gauss fonksiyonu ile gösterilebilir. Şekil 3.1’de görüldüğü gibi rüzgar yönüne ve dolayısıyla hüzmenin hareketinin meydana geldiği x yönüne dik koordinatlarda, yani y ve z eksenlerinde, gauss veya normal dağılım ile temsil edilebilen iki ayrı difüzyon olayı meydana gelmektedir.

Gauss modeli, temel dispersiyon denkleminde, aşağıdaki varsayımlar yapılmak suretiyle ortaya çıkar:

Temel dispersiyon denklemi:

$$\frac{\delta C_i}{\delta t} = -u \frac{\delta C_i}{\delta x} - v \frac{\delta C_i}{\delta y} - w \frac{\delta C_i}{\delta z} + D_x \frac{\delta^2 C_i}{\delta x^2} + D_y \frac{\delta^2 C_i}{\delta y^2} + D_z \frac{\delta^2 C_i}{\delta z^2} + \phi_i \quad (3.1)$$

Burada,

$C_i$ :  $i$  kirleticisinin konsantrasyonu,  $\mu\text{g}/\text{m}^3$

$u$ : x yönündeki ortalama rüzgar hızı,  $\text{m}/\text{sn}$

$v$ : y yönündeki ortalama rüzgar hızı,  $\text{m}/\text{sn}$

$w$ : z yönündeki ortalama rüzgar hızı,  $\text{m}/\text{sn}$

$D_x$ : x yönündeki kütlesel difüzivite,  $\text{m}^2/\text{sn}$

$D_y$ : y yönündeki kütlesel difüzivite,  $\text{m}^2/\text{sn}$

$D_z$ : z yönündeki kütlesel difüzivite,  $\text{m}^2/\text{sn}$

$\Phi_i$ : kirletici maddenin oluşumu veya giderimi ile ilgili terim,  $\mu\text{g}/\text{sn}$

Varsayımlar:

1. Kirletici konsantrasyonu zamanla değişmiyor ve kaynaktan üniform bir hızla çıkıyor (kararlı durum),

$$\frac{\delta C_i}{\delta t} = 0$$

2.  $y$  ve  $z$  yönlerindeki rüzgar hızı sıfır ve  $x$  yönündeki rüzgar hızı zamana göre değişmiyor,

$$u_x = \text{sabit} \quad , \quad u_y = u_z = 0$$

3.  $x$  yönündeki taşınının rüzgar ile olduğu kabul ediliyor. Çünkü rüzgar ile taşının difüzyon ile taşınımı göre çok daha etkin,

$$u \frac{\delta C_i}{\delta x} \gg D_x \frac{\delta^2 C_i}{\delta x^2}$$

4. Kirleticinin atmosferde herhangi bir reaksiyonla oluşumu veya giderimi yok,  $\Phi_i = 0$ .

Bu durumda temel dispersiyon denklemi aşağıdaki şekilde basitleştirilebilir:

$$u \frac{\delta C_i}{\delta x} = D_y \frac{\delta^2 C_i}{\delta y^2} + D_z \frac{\delta^2 C_i}{\delta z^2}$$

adveksiyon      dispersiyon

Bu ikinci derece kısmi diferansiyel denklemin genel çözümü,

$$C = \frac{K}{x} \exp \left\{ -\frac{u}{4x} \left[ \left( \frac{y^2}{D_y} \right) + \left( \frac{z^2}{D_z} \right) \right] \right\} \quad (3.2)$$

Burada,  $K$  sınır şartlarına bağlı olan bir sabittir. Sınır şartlarından biri, kararlı durumda kaynaktan rüzgar yönüne göre gidiş istikametinde herhangi bir dikey kesitte, kirletici transfer

hızının sabit olması ve kaynaktaki emisyon hızına ( $Q$ ) eşit olmasıdır. Matematiksel olarak bu sınır şartı aşağıdaki şekilde ifade edilebilir:

$$Q = \iint u C d_y d_z \quad (3.3)$$

Yer seviyesinde bulunan bir nokta kaynak için z yönündeki integrasyon limitleri 0 ile sonsuz alınmaktadır. Bu durumda:

$$Q = \int_0^\infty \int_{-\infty}^\infty u \frac{K}{x} \exp\left\{-\frac{u}{4x} \left[\left(\frac{y^2}{D_y}\right) + \left(\frac{z^2}{D_z}\right)\right]\right\} d_y d_z \quad (3.4)$$

Bu ifadenin integrasyonu neticesinde,

$$Q = 2\pi K \sqrt{D_y D_z} \quad (3.5)$$

$$K = \frac{Q}{2\pi \sqrt{D_y D_z}} \quad (3.6)$$

Yer seviyesinden H yüksekliğindedeki bir nokta kaynak için, z yönündeki integrasyon limitleri (-) sonsuzdan (+) sonsuza kadar gitmektedir. İntegrasyonun (-) sonsuz limiti, fiziksel olarak yer seviyesinin altında bir “hayali” kaynak ile temsil edilebilir. Bu durumda K sabitinin değeri:

$$K = \frac{Q}{4\pi \sqrt{D_y D_z}} \quad (3.7)$$

$$C(x, y, z) = \frac{Q}{4\pi \sqrt{D_y D_z}} \exp\left\{-\frac{u}{4x} \left[\left(\frac{y^2}{D_y}\right) + \left(\frac{z^2}{D_z}\right)\right]\right\} \quad (3.8)$$

Aşağıdaki tanımlamalar yapıldığında:

$$\sigma_y \equiv \sqrt{\frac{2xD_y}{u}} \quad (3.9)$$

$$\sigma_z \equiv \sqrt{\frac{2xD_z}{u}} \quad \dots\dots\dots(3.10)$$

$$C(x, y, z) = \frac{Q}{2\pi u \sigma_y \sigma_z} \exp \left[ -\frac{1}{2} \left( \frac{y^2}{\sigma_y^2} + \frac{z^2}{\sigma_z^2} \right) \right] \quad \dots\dots\dots(3.11)$$

Bir bacadan çıkan gazlar rüzgar yönünde hemen yayılmaya başlamaz, momentum ve sıcaklık nedeniyle baca üstünde bir yükseklik alır, sonra rüzgar yönünde dağılmaya başlar. Dağılımin başladığı yükseklik etkin baca yüksekliği adını alır. Bu durumda dağılımin yerden H (etkin baca yüksekliği) yüksekliğinde bir kaynaktan başladığını düşünürsek Gauss modeli

$$C(x, y, z; H) = \frac{Q}{2\pi u \sigma_y \sigma_z} \exp \left[ -\frac{1}{2} \left( \frac{y^2}{\sigma_y^2} + \frac{(z-H)^2}{\sigma_z^2} \right) \right] : C_1 \quad \dots\dots\dots(3.12)$$

olarak ifade edilir. Diğer taraftan dağılım x boyunca ilerledikçe bir noktada yere temas eder. Bu noktada kirleticilerin ya yere yapışıp kaldığını (bazı partikül maddeler için bu kabul yapılabilir) ya da yerin içine geçtiğini düşünmek gereklidir. Ancak gaz kirleticiler için bu ikisi de mümkün değildir. Çünkü gaz kirleticiler yere çarptıklarında yansiyarak hareketlerine devam ederler. Bu oluşumu temsil etmek üzere kaynağın yere simetrik bir imajiner kaynak ile birlikte bulunduğu ve böylece dağılımin yere temas eden noktadan itibaren yansımının imajiner kaynağın katkısı ile ifade edilebileceği kabul edilir. Bu durumda Gauss modeli:

$$C_2 = \frac{Q}{2\pi u \sigma_y \sigma_z} \exp \left[ -\frac{1}{2} \left( \frac{y}{\sigma_y} \right)^2 \right] \left\{ \exp \left[ -\frac{1}{2} \left( \frac{z-H}{\sigma_z} \right)^2 \right] + \exp \left[ -\frac{1}{2} \left( \frac{z+H}{\sigma_z} \right)^2 \right] \right\} \quad \dots\dots\dots(3.13)$$

C<sub>1</sub>: yansımının olmadığı durum konsantrasyonu ( $\mu\text{g}/\text{m}^3$ )

C<sub>2</sub>: yansımının olduğu durum konsantrasyonu ( $\mu\text{g}/\text{m}^3$ )

Q: kütlesel debi ( $\mu\text{g}/\text{sn}$ )

u: günlük ortalama rüzgar hızı ( $\text{m}/\text{sn}$ )

$\sigma_y$  ve  $\sigma_z$ : dispersiyon katsayıları ( $\text{m}$ )

x: rüzgar yönü mesafesi ( $\text{m}$ )

y: kaynak ile ölçüm yapılan nokta arasında rüzgar yönüne dik mesafe ( $\text{m}$ )

z: ortamdaki ölçümün yapıldığı yükseklik (Halk Sağlığı Lab. yüksekliği = 2 m)

Bu ifadede ( $z-H$ ) yer seviyesinin üzerindeki “gerçek” kaynağı, ( $z+H$ ) ise yer seviyesinin altındaki “hayali” kaynağı temsil etmekte  $H$  ise “etkin” baca yüksekliğini temsil etmektedir.

$$H = h + \Delta h \quad \dots\dots\dots(3.14)$$

$h$ : geometrik baca yüksekliği (m)

$\Delta h$ : bacanın tepesinden sonraki hüzme yüksekliği (m)

Hüzme yüksekliklerini bulmak için Briggs Formülü kullanılmıştır (Wark, Warner ve Davis, 1998).

$$F = \frac{g * d^2 * V_g * (T_g - T_a)}{4T_g} \quad \dots\dots\dots(3.15)$$

$$d = \left( \frac{S}{\pi} \right)^{1/2} \quad \dots\dots\dots(3.16)$$

$F < 55 \text{ m}^4/\text{sn}^3$  ve  $(T_g - T_a) \geq 0,0297 * T_g * \frac{V_g^{1/3}}{d^{2/3}}$  ise hüzme yüksekliği formülü:

$$\Delta h = \frac{21,425 * F^{3/4}}{u_H} \quad \dots\dots\dots(3.17)$$

$$u_H = u_a * \left( \frac{h}{10} \right)^p \quad \dots\dots\dots(3.18)$$

$F$ : kaldırma akış parametresi (buoyancy flux parameter),  $\text{m}^4/\text{sn}^3$

$u_H$ : baca yüksekliğindeki rüzgar hızı,  $\text{m/sn}$

$T_g$ : baca gazı sıcaklığı,  $^{\circ}\text{K}$

$T_a$ : ortam sıcaklığı,  $^{\circ}\text{K}$

$V_g$ : baca gazı çıkış hızı,  $\text{m/sn}$

$g$ : yerçekimi ivmesi,  $9,81 \text{ m/sn}^2$

$d$ : baca çapı,  $\text{m}$

$S$ : baca kesit alanı,  $\text{m}^2$

$u_a$ :  $10 \text{ m}$ ’deki rüzgar hızı,  $3 \text{ m/sn}$  (kabul)

$h$ : fiziksel baca yüksekliği,  $\text{m}$

$p$ : atmosferik kararlılığa ve pürüzlülüğe bağlı bir katsayı

Kararlılık sınıflarına göre değişen 10 m'deki rüzgar hızı ve  $p$  değerleri çizelge 3.1'de verilmiştir.

Çizelge 3.1 Kararlılık sınıflarına göre rüzgar hızı ve  $p$  değerinin değişimi

Kararlılık sınıfı	$u_{10}$ (m/sn)	Kararlılık sınıfı	$p$
A	<2	A	0,09
A-B	2-3	B	0,20
B	3-5	C	0,25
C	5-6	D	0,37
C	>6	E	0,42
		F	0,50

Dispersiyon katsayıları olan  $\sigma_y$  ve  $\sigma_z$  değerlerini bulabilmek için kararlılık sınıflarının bilinmesi gereklidir. Kararlılık sınıfları tablosu çizelge 3.2'de, bu sınıfların açıklaması ise çizelge 3.3'de verilmiştir.

Çizelge 3.2 Kararlılık sınıfları (Turner, 1969)

Yüzey rüzgar hızı (10 m'de) m/sn	Gündüz			Gece	
	Güneş ışığı			Bulut örtüsü	
	Kuvvetli	Orta	Zayıf	Kapalı veya bulutluluk $\geq 4/8$	Açık veya bulutluluk $\leq 3/8$
Kategori	(1)	(2)	(3)	(4)	(5)
<2	A	A-B	B	E	F
2-3	A-B	B	C	E	F
3-5	B	B-C	C	D	E
5-6	C	C-D	D	D	D
>6	C	D	D	D	D

Not: (1) solar açının  $60^{\circ}$ den büyük olduğu, açık yaz günleri

(2) parçalı bulutlu yaz günü

- (3) solar açının  $60^{\circ}$ den büyük olduğu açık sonbahar günleri veya parçalı bulutlu (alçak) yaz günleri, veya solar açının  $15-35^{\circ}$  olduğu açık yaz günleri  
 (4) kış günü için de kullanılabilir.

Çizelge 3.3 Meteorolojik şartlara bağlı kararlılık sınıfları

Meteorolojik şartlar	Kararlılık
1- aşırı kararsız	A
2- kararsız	B
3- hafif kararsız	C
4- nötr	D
5- kararlı	E
6- orta kararlı	F
7- aşırı kararlı	G

Kararlılık sınıfları bulunduktan sonra Martin Denklemleri (Formül 3.18 ve 3.19) kullanılarak dispersiyon katsayıları bulunur. Formüllerde geçen x değeri, sanayi kaynağı ile ölçüm noktası (Halk Sağlığı Laboratuvarı) arasındaki kuş bakışı uzaklığıt ve  $2,5 \text{ km}$ 'dir ( $x \geq 1 \text{ km}$ ). Çeşitli kararlılık sınıfları için Martin Denkleminin katsayıları çizelge 3.4'te verilmiştir.

Çizelge 3.4 Çeşitli kararlılık sınıfları için Martin Denkleminin katsayıları ( $x \geq 1 \text{ km}$ )

stabilite	a	b	c	d	f
A	213	0,894	459,7	2,094	9,6
B	156	0,894	108,2	1,098	2
C	104	0,894	61	0,911	0
D	68	0,894	44,5	0,516	-13
E	50,5	0,894	55,4	0,305	-34
F	34	0,894	62,6	0,18	-48,6

$$\sigma_y = a * x^b \quad \dots\dots\dots(3.19)$$

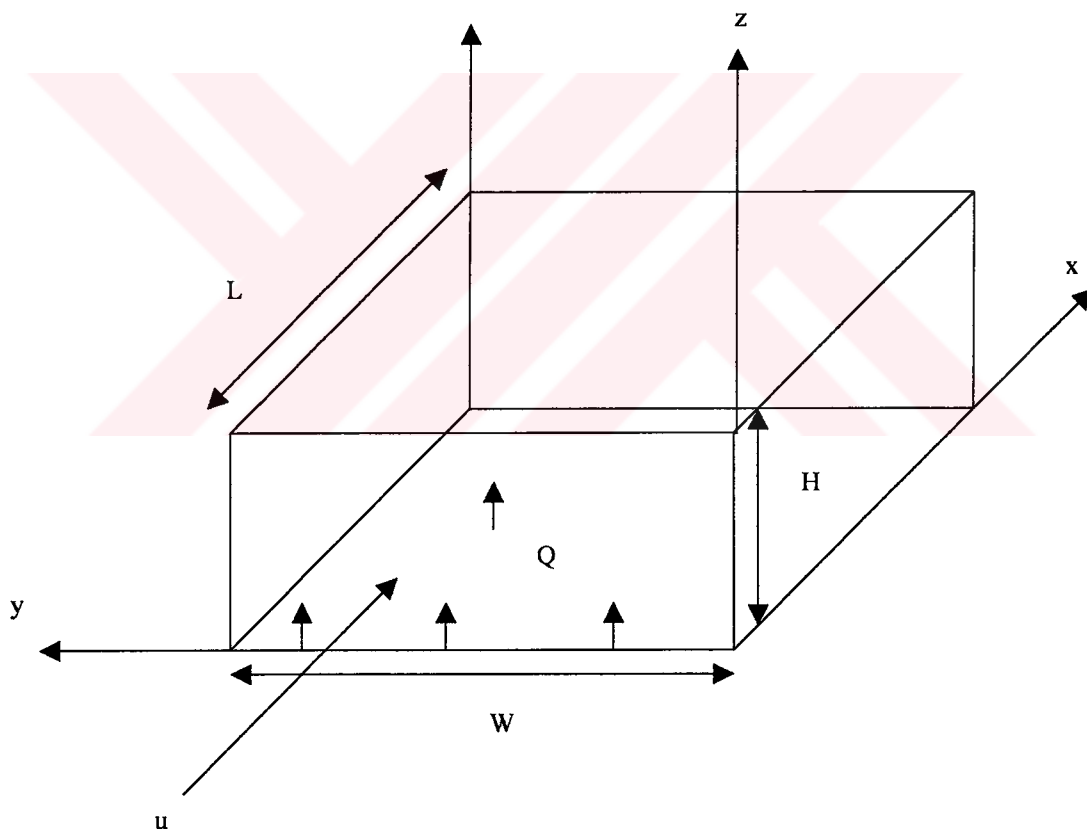
$$\sigma_z = c * x^d + f \quad \dots\dots\dots(3.20)$$

### 3.6 ATDL Kutu Modeli

ATDL kutu modeli (Atmospheric Turbulance and Diffusion Laboratory), hava kirliliği modellemesinde kullanılan en basit model olmakla birlikte, kirleticilerin sabit hacimdeki üç boyutlu bir kutu için uniform olarak karıştığı varsayıma dayanmaktadır. Modelin açıklaması şekil 3.3'te görülmektedir. Modelin temel eşitliği:

$$\text{Birikim miktarı} = [\text{tüm içeriye akışlar-tüm dışarıya akışlar}] + [\text{tüm oluşumlar-tüm giderimler}]$$

Aşağıdaki kutunun Bilecik ili olduğunu varsayarsak, modelin temel eşitliğini kullanmak için bazı kabuller yapmamız gerekmektedir. Bunlar ;



Şekil 3.3 ATDL kutu modeli

- Bilecik ilinin boyutları L (kuzey-güney) ve W (doğu-batı) 'dir. Rüzgar yönü ve L birbirine paraleldir.
- H, karışım yüksekliğidir. Yani burada atmosferik turbülans tarafından kirleticilerin tam karıştığı farz edilir.

- Kirletici konsantrasyonun üniform dağıldığı kabul edildiği için, konsantrasyon kutu içindeki her noktada aynıdır.
- Rüzgar u hızıyla x yönünden eser ve bu hız zaman dan ve yükseklikten bağımsızdır.
- Şehre giren havadaki kirletici konsantrasyonu sabittir ve b (back ground konsantrasyonu)'ye eşittir.
- Şehirde hava kirletici emisyon oranı  $Q$  ( $\text{g}/\text{sn}$ )'dur. Bu değerin şehir alanına ( $W*L$ ) bölünmesi ile  $q$  ( $\text{g}/\text{sn.m}^2$ ) elde edilir ve birim alan için emisyon hızı olarak adlandırılır.
- Kutunun üzerinden veya yanlarından hiçbir kirletici girmez ve çıkmaz.
- Kirletici, kutu içindeki atmosferde reaksiyon vermeyecek sürede kalır. Yani oluşum ve gideri hızları sıfırdır (Özkan, 2002)

Bu kabullerin pek çoğu gerçek olaylar ile bağdaşmamaktadır. Örneğin rüzgar hızı hiçbir zaman yükseklikten bağımsız olamaz, yerden yükseklik ile artar. Ya da hiçbir zaman kirletici konsantrasyonu şehrın her noktasında aynı kalamaz. Fakat bu kabuller matematiksel benzetmelerde oldukça kolaylık sağlar.

Sistem (kutu) hacmi  $W*L*H$  tır. Tüm bu kabullerde akış ve emisyon hızları zamana bağlı olmadığı için zamanla değişmeyen koşulların olduğu görülür ve bir denge eşitliği uygulaması olan, modelin temel eşitliğinde toplam değer sıfır olur.

Bu kabullerden sonra modelin temel eşitliği aşağıdaki formüle dönüşmüştür.

$$0 = (\text{tüm içeriye akımlar}) - (\text{tüm dışarıya akımlar})$$

İçeriye akımlarda iki kirletici vardır. Şehrın rüzgar üstü kenarına, kirleticinin akım hızı  $uWH_b$  'dir ve birimi kütte/zaman 'dır (kütte akış hızı). İkinci içeriye akım, şehir tarafından sistemin daha alçak sınır veya yüzeyine verilen kirleticidir ve  $qWL$  ile temsil edilir.

Kabullerde belirtildiği gibi şehir girişindeki konsantrasyon c'dir ve her noktada sabittir. Kutudan ayrılan kirleticiyi bulmak için rüzgar altı yüzey boyunca oluşan dış akımı bulmak gereklidir ve dışarıya akım hızı  $uWH_c$  ile temsil edilir.

Basit kutu modelinin eşitliği:

$$\text{tüm içeriye akımlar} = \text{tüm dışarıya akımlar}$$

$$(u * W * H * b) + (q * W * L) = u * W * H * c \quad \dots\dots\dots(3.21)$$

$$c = b + \frac{q * L}{u * H} \quad \dots\dots\dots(3.22)$$

Karışma yüksekliği ( $H$ ), atmosferin nötr, kararsız ve kararlı atmosferik koşulları için farklı değerler almaktadır. Bu değer nötr atmosfer koşulu için 500 m, kararsız atmosfer koşulu için 1000 m, kararlı atmosfer koşulu için 200 m kabul edilmiştir (Hanna, 1973; Ertürk, 2003).

## **4. ÇALIŞMA BÖLGESİ ve VERİ TABANI**

### **4.1 Bölgelinin Coğrafik Yapısı**

Bilecik ili, Marmara Bölgesi'nin güney doğusunda Marmara, Karadeniz, İç Anadolu ve Ege Bölgelerinin kesim noktaları üzerindedir.  $39^{\circ}$  ve  $40^{\circ} 31'$  kuzey enlemleri ile  $29^{\circ} 43'$  ve  $30^{\circ} 41'$  doğu boylamları arasında bulunmaktadır. Doğudan Bolu ve Eskişehir, güneyden Kütahya, batıdan Bursa ve kuzeyden Sakarya illeri ile çevrilidir.

Bilecik ili  $4321 \text{ km}^2$ lik alanı ile Türkiye'nin küçük illerinden biridir. Alan sıralaması bakımından 65. sırada yer almaktadır. Merkez ilçenin yüzölçümü  $844 \text{ km}^2$ dir. Bilecik ilinin haritası şekil 4.1'de verilmiştir.

### **4.2 Bölgelinin Meteorolojisi**

Bilecik iklimi İç Anadolu bölgesinin karasal iklimiyle Marmara Bölgesinin denizsel ve liman iklimleri arasında bir geçiş iklimi niteliği taşımaktadır. Bu durum sayısal verilerde de açıkça görülmektedir.

Bilecik meteoroloji istasyonu 1991-2000 yılları verilerine göre; yıllık ortalama sıcaklık  $12,4^{\circ}\text{C}$  olmasına karşın, ortalama yüksek sıcaklık  $17,6^{\circ}\text{C}$  ve ortalama düşük sıcaklık  $7,9^{\circ}\text{C}$ 'dir. Bugüne kadar en yüksek sıcaklık  $41^{\circ}\text{C}$  ile Temmuz ayında, en düşük sıcaklık ise  $-12,1^{\circ}\text{C}$  ile Şubat ayında görülmüştür.

Bilecik ilinin iklim açısından geçiş alanı niteliği taşıması yağış rejimlerinde de kendisini göstermektedir. Genel olarak il, yağışlar bakımından Akdeniz ikliminin etkisi altındadır. Ancak bir ölçüde karasal İç Anadolu ikliminin etkilerine açık olduğundan ilde yazlar Akdeniz Bölgesindeki kadar kurak geçmektedir. Bilecik il merkezinde yıllık yağış ortalaması  $471,0 \text{ mm}$  olarak saptanmıştır. Bu değer İç Anadolu'daki bazı illerden daha yüksektir. Marmara Bölgesindeki bazı merkezlerin ortalama değerlerinden ise daha düşüktür. Günlük en çok yağış miktarı ise  $48,4 \text{ mm}$ 'dir. Bilecik kar yağışlarının oldukça bol görüldüğü bir ilimizdir. İl merkezinde ortalama kar yağışlı günler sayısı  $89,3$ , en yüksek kar örtüsü kalınlığı ise  $25 \text{ cm}$  olarak saptanmıştır.



Şekil 4.1 Bilecik ili haritası

Bölgede yıllık ortalama sisli günler sayısı 20,3'tür. Ortalama dolulu günler sayısı ise 0,1'dir.

10 yıllık değerlere göre yıllık en hızlı esen rüzgarın yönü güney-güneybatı (SSW) olup, en hızlı esen rüzgarın hızı ise 31,6 m/s'dir. Ortalama firtinalı günler sayısı 18,9, ortalama kuvvetli rüzgarlı günler sayısı 114,0'dır. Hakim rüzgar yönü batı-kuzeybatı (WNW)'dır.

Meteorolojik veriler, Devlet Meteoroloji İşleri Genel Müdürlüğü'nden (Araştırma ve Bilgi İşlem Dairesi Başkanlığı) 40° 09' enleminde, 29° 59' boylamında, 539 m yüksekliğindeki rasat istasyonundan elde edilmiştir.

#### **4.3 Bölgenin Hava Kalitesi**

Bilecik ilinde başlıca hava kirliliği kaynakları; trafik, sanayi kuruluşları ve evsel ısıtmadan oluşan kirlilik kaynaklarıdır.

Bilecik ili, Ertuğrul Gazi mahallesinde yapılan hava kirliliği ölçüm sonuçları çizelge 4.1'de verilmiştir. Bilecik Halk Sağlığı Laboratuvarı tarafından 1999-2002 yılları arasında ölçülen SO<sub>2</sub> konsantrasyonu sonuçları şekil 4.2'de ve PM konsantrasyonu sonuçları şekil 4.3'de görülmektedir.

#### **4.4 Bölgenin Sanayi Durumu**

Bilecik ili, Türkiye'deki sanayinin kalbi sayılan İstanbul-İzmit-Adapazarı ve Bursa illerine yakın olması, bu illerde sanayinin fazla olması nedeni ile yatırımcılar Bilecik iline yönelmişlerdir. Ayrıca Bilecik ili, yurt dışı pazarına açılmak için uygun olması ve yan sanayi kollarına yakın olması nedeniyle de cazip bir yöre durumundadır.

Organize Sanayi Bölgesi ilin kalkınması ve gelişmesinde çok önemli bir işlev sahiptir. Sanayileşme ve buna bağlı olarak milli gelirde görülen artışlar Organize Sanayi Bölgesi'nin il için önemini ortaya koymaktadır.

1.500.000 m<sup>2</sup>'lik (150 hektar) alan üzerine kurulu bulunan Bilecik 1. Organize Sanayi Bölgesi içinde yollar, yeşil alanlar, park yeri sosyal tesisleri ile su temin terfi merkezi, ana depo gibi yerler ve 43 parsel 1.114.000 m<sup>2</sup> sanayi alanı bulunmaktadır. Şehir merkezine 3 km'lik bir mesafededir. 1999 yılı itibarıyle doluluk oranı %100'dür. 33 parselde üretim yapılmakta olup, 7 parseldeki tesisler ekonomik nedenler ile üretimlerini durdurmuşlardır. 2 parsel üzerinde ise

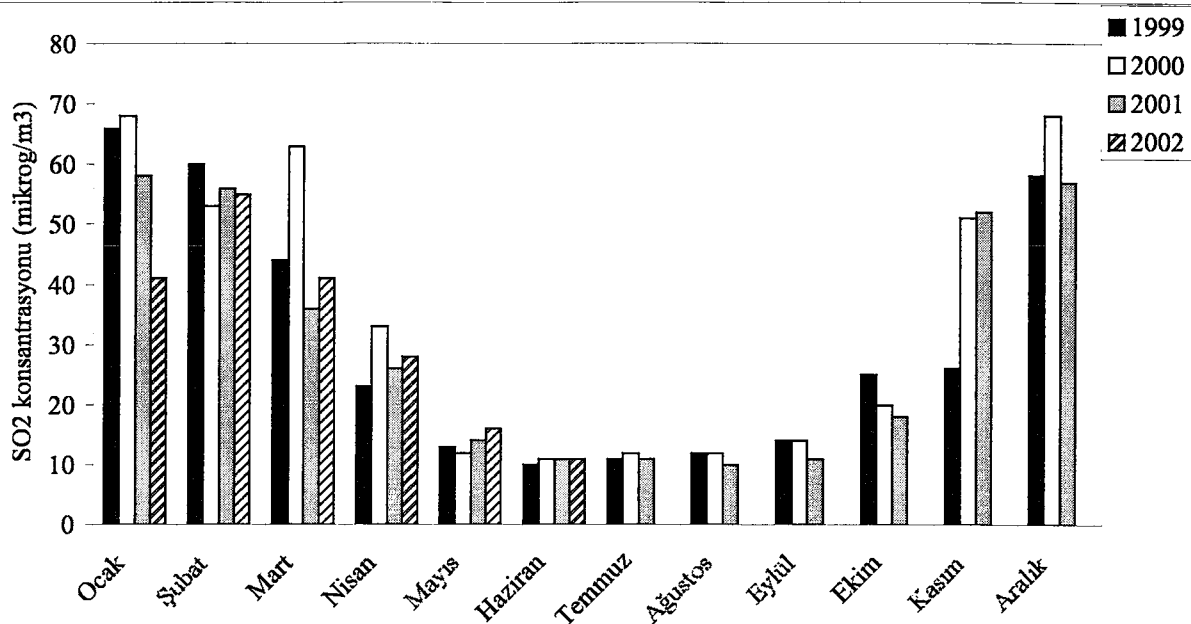
inşaat sürdürmektedir. Organize sanayi bölgесinin sektörel dağılımı çizelge 4.2'de ve şekil 4.4'te verilmiştir.

**Çizelge 4.1 1999, 2000, 2001 ve 2002 yılları Bilecik ili aylık hava kalitesi ortalamaları  
(Uysal, 2002)**

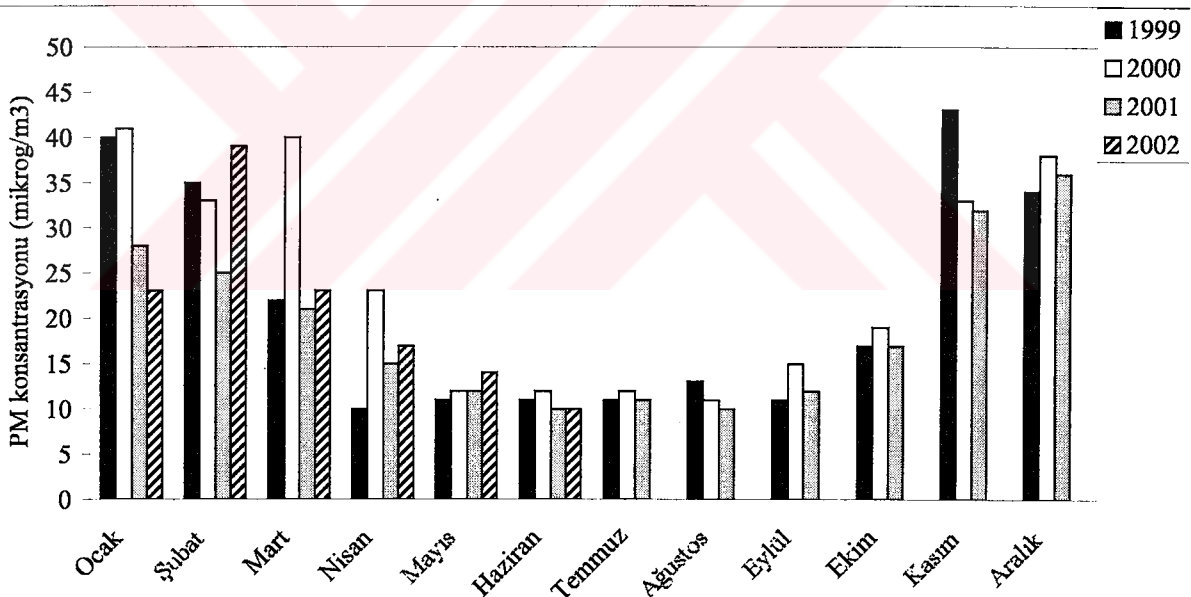
<b>Aylar</b>	<b>1999 Yılı</b>		<b>2000 Yılı</b>	
	<b>Ortalama SO<sub>2</sub></b> <b>(µg/m<sup>3</sup>)</b>	<b>Ortalama PM</b> <b>(µg/m<sup>3</sup>)</b>	<b>Ortalama SO<sub>2</sub></b> <b>(µg/m<sup>3</sup>)</b>	<b>Ortalama PM</b> <b>(µg/m<sup>3</sup>)</b>
Ocak	66	40	68	41
Şubat	60	35	53	33
Mart	44	22	63	40
Nisan	23	10	33	23
Mayıs	13	11	12	12
Haziran	10	11	11	12
Temmuz	11	11	12	12
Ağustos	12	13	12	11
Eylül	14	11	14	15
Ekim	25	17	20	19
Kasım	26	43	51	33
Aralık	58	34	68	38

<b>Aylar</b>	<b>2001 Yılı</b>		<b>2002 Yılı</b>	
	<b>Ortalama SO<sub>2</sub></b> <b>(µg/m<sup>3</sup>)</b>	<b>Ortalama PM</b> <b>(µg/m<sup>3</sup>)</b>	<b>Ortalama SO<sub>2</sub></b> <b>(µg/m<sup>3</sup>)</b>	<b>Ortalama PM</b> <b>(µg/m<sup>3</sup>)</b>
Ocak	58	28	41	23
Şubat	56	25	55	39
Mart	36	21	41	23
Nisan	26	15	28	17
Mayıs	14	12	16	14
Haziran	11	10	11	10
Temmuz	11	11		
Ağustos	10	10		
Eylül	11	12		
Ekim	18	17		
Kasım	52	32		
Aralık	57	36		



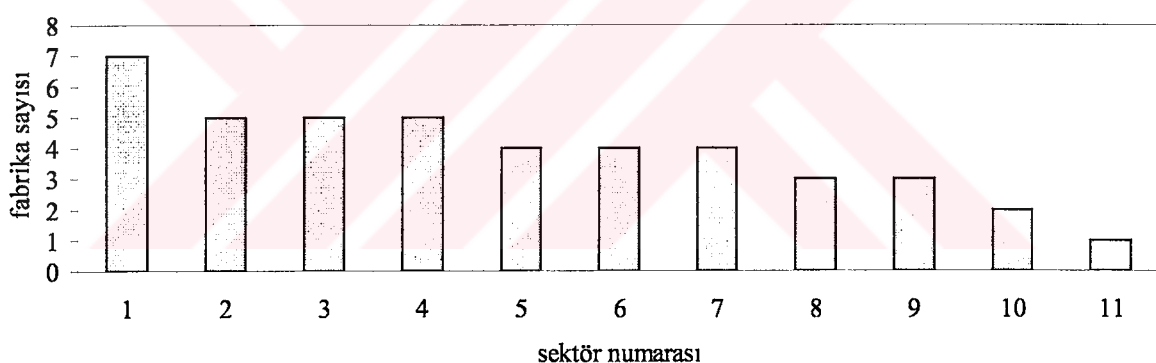
Şekil 4.2 Bilecik Halk Sağlığı Laboratuvarı SO<sub>2</sub> konsantrasyonu 1999-2002 yılları ölçüm sonuçları



Şekil 4.3 Bilecik Halk Sağlığı Laboratuvarı PM konsantrasyonu 1999-2002 yılları ölçüm sonuçları

Çizelge 4.2 Organize sanayi bölgesinin sektörel dağılımı

<b>Organize Sanayi Bölgesinin Sektörel Dağılımı</b>	<b>Adet</b>
1-Aluminyum döküm alasım	7
2-Plastik lastik, lastik suni deri	5
3-Granit mermer	5
4-Çalışmayan firma sayısı	5
5-Seramik hammadde ve seramik	4
6-Hazır beton ve betonarme	4
7-Vinç iş makineleri metal galvaniz	4
8-Kimya sanayi	3
9-Gıda sanayi	3
10-Elektronik elektrik	2
11-Ağaç işleri	1
<b>TOPLAM</b>	<b>43</b>



Şekil 4.4 Organize sanayi bölgesinin sektörel dağılımı

Organize Sanayi Bölgesinin yanı sıra Bilecik ilinde, Sanayi Bölgesine çok yakın kurulmuş olan porselen, seramik ve tekstil fabrikaları bulunmaktadır.

Bilecik ili yer altı zenginlikleri yönünden de oldukça şanslıdır. Merkez ve diğer ilçelerde mermer ve seramik hammaddeleri potansiyeli oldukça fazladır. Bu nedenle seramik ve mermercilik sektörü yatırımlar yönünden önemli bir yer tutmaktadır. Mermer, kil ve kaolen mermer sanayi ile seramik ve refrakter sanayinin ilde başlıca oluşum sebebidir.

İşletilmesi henüz ekonomik bulunmayan kromit, magnezit ve antinomit yanında önemli rezervlere sahip mermer, kil, kaolen, kuvars kumu, talk ve kum ocakları Bilecik ilinin başlıca maden zenginlikleridir.

Bilecik mermerleri yurt içinde ve yurt dışında oldukça tanınmıştır. İlde çok sayıda mermer ocağı üretimini sürdürmektedir. Çıkarılan mermerler renk faktörü ve fiziksel özelliklere göre üç grupta toplanmaktadır. “Söğüt Beji” Söğüt yöresinde çıkarılmakta olup, geniş bir kullanım alanı vardır. “Bilecik Beji” merkez ilçe yöresinde çıkmakta ve kolay işlenmekte olup, iç piyasaya kolay pazarlanmaktadır. “Gölpazarı Beji” grubu mermerleri Gölpazarı yöresinde çıkarılmakta olup, kolay işlenir, kapsadığı sarı-kırmızı ve beyaz renkler mermer bloklarında homojen dağılmaz. Bu nedenle ihraç niteliği olduğu gibi iç piyasada da kullanılmaktadır.

#### **4.5 Bölgenin Demografisi**

2000 genel nüfus sayımına göre il toplam nüfusu 194.326'dır. Bunun 124.380'i (%64) şehir, 69.946'sı (%36) köy nüfusudur. Merkez nüfusu 34.105'tir.

1990-2000 yılları arasında ortalama yıllık nüfus artış hızı %10,02 olarak gerçekleşmiştir. İl ve ilçe merkezlerinde %31,82 düzeyinde nüfus artışı olurken bucak ve köy nüfusu %19,87 oranında azalmıştır.

1980-1990 yılları arasında iş gücü giderek sanayi alanına kayma göstermiş ve tarım nüfusu 1990 yılında 1980'e göre %11 azalma ile %56'ya düşmüştür. Sanayi kesiminde çalışanların oranı 1980'de %10'dan 1990'da %16'ya yükselmiştir. Bu oran günümüzde daha da artmıştır.

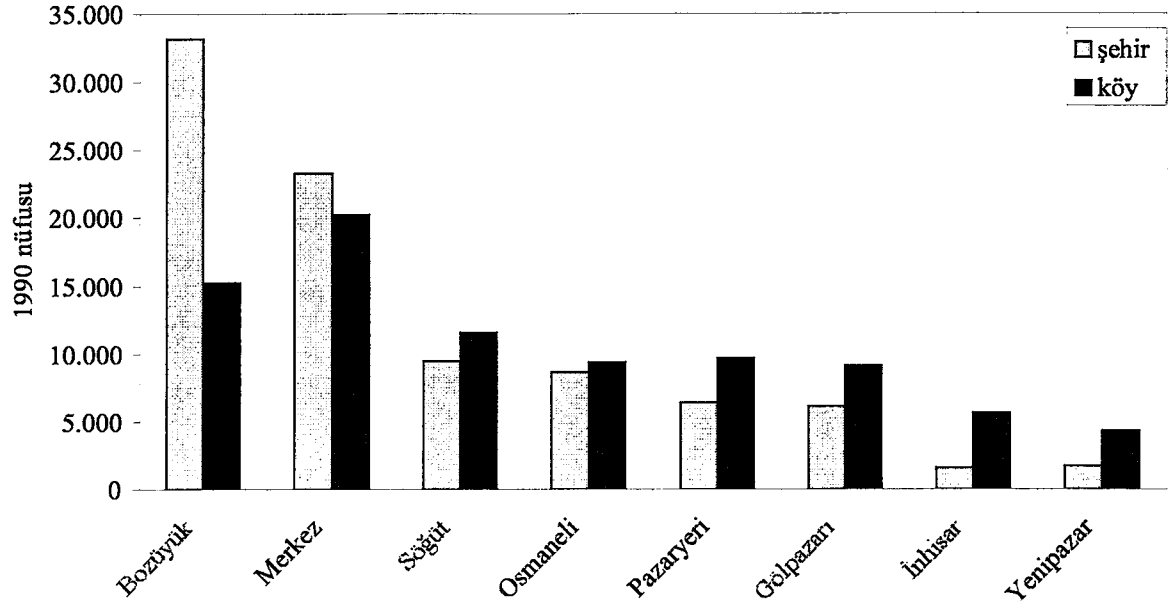
1990 ve 2000 yıllarında Bilecik ilinin ilçelerine göre nüfusu ve yıllık nüfus artış hızı çizelge 4.3'te, şekil 4.5 ve 4.6'da, 2000 yılı nüfus yoğunluğu ise çizelge 4.4'te ve şekil 4.7'de verilmiştir.

Çizelge 4.3 Bilecik ilinin ilçelerine göre nüfusu ve yıllık nüfus artış hızı (DİE, 2002)

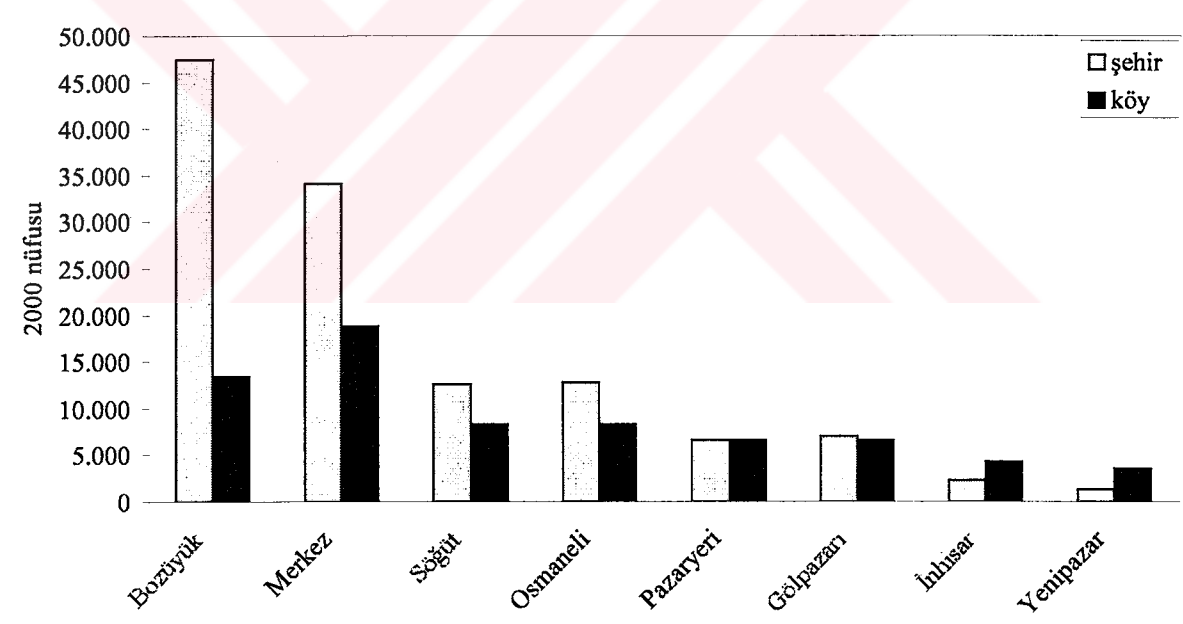
BİLECİK	1990 genel nüfus sayımı			2000 genel nüfus sayımı			Yıllık nüfus artış hızı (%)		
	Toplam	Şehir	Köy	Toplam	Şehir	Köy	Toplam	Şehir	Köy
Bozüyükk	48.443	33.162	15.281	60.863	47.469	13.394	22,82	35,86	-13,18
Merkez	43.548	23.273	20.275	52.929	34.105	18.824	19,50	38,20	-7,42
Söğüt	21.032	9.470	11.562	20.974	12.644	8.330	-0,28	28,90	-32,78
Osmaneli	18.118	8.704	9.414	21.070	12.814	8.256	15,09	38,66	-13,12
Pazaryeri	16.112	6.410	9.702	13.296	6.659	6.637	-19,20	3,81	-37,96
Gölpazarı	15.230	6.119	9.111	13.617	7.002	6.615	-11,19	13,48	-32,01
İnhisar	7.270	1.626	5.644	6.661	2.318	4.343	-8,75	35,45	-26,20
Yenipazar	6.044	1.707	4.337	4.916	1.369	3.547	-20,65	-22,06	-20,10
<b>TOPLAM</b>	<b>175.797</b>	<b>90.471</b>	<b>85.326</b>	<b>194.326</b>	<b>124.380</b>	<b>69.946</b>	<b>10,02</b>	<b>31,82</b>	<b>-19,87</b>

Çizelge 4.4 Bilecik ilinin ilçelere göre 2000 yılı nüfus yoğunluğu (DİE, 2002)

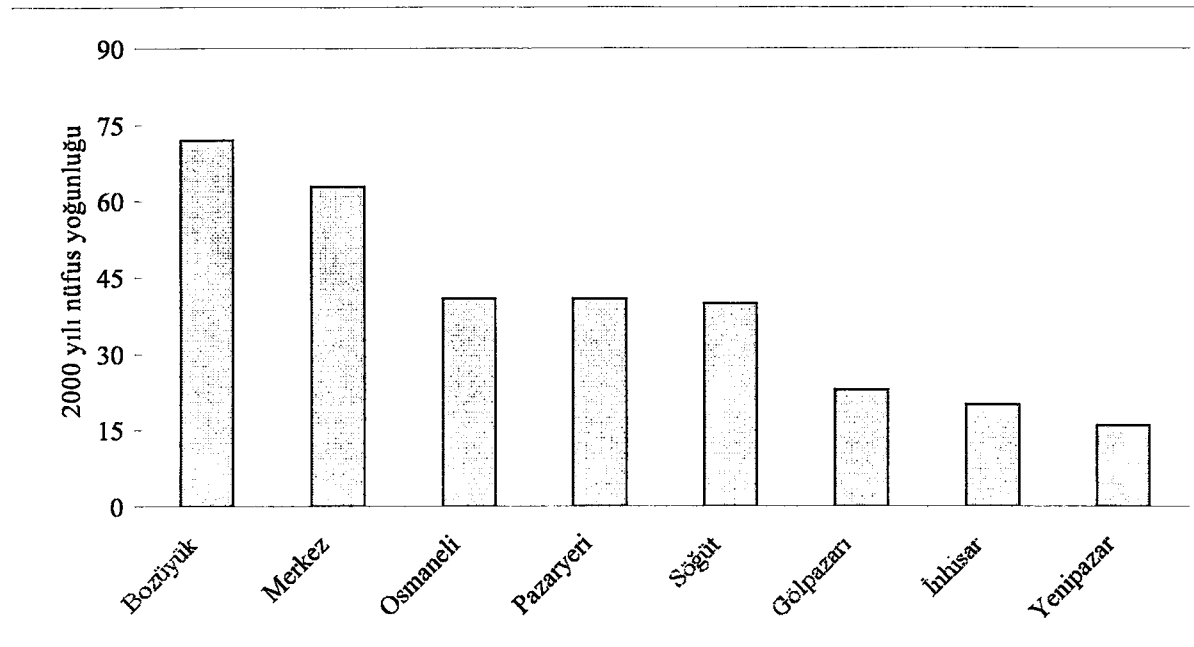
İlçe adı	Nüfus	Yüzölçümü (km <sup>2</sup> )	Nüfus yoğunluğu (kişi/km <sup>2</sup> )
Bozüyükk	60.863	849	72
Merkez	52.929	841	63
Osmaneli	21.070	510	41
Pazaryeri	13.296	326	41
Söğüt	20.974	530	40
Gölpazarı	13.617	592	23
İnhisar	6.661	341	20
Yenipazar	4.916	313	16
<b>TOPLAM</b>	<b>194.326</b>	<b>4.302</b>	<b>45</b>



Şekil 4.5 1990 yılı Bilecik ilinin ilçelerine göre nüfus dağılımı



Şekil 4.6 2000 yılı Bilecik ilinin ilçelerine göre nüfus dağılımı



Şekil 4.7 Bilecik ilinin ilçelere göre 2000 yılı nüfus yoğunluğu

#### 4.6 Bölgede Yakıt Tüketim Miktarları

2001-2002 yılları arasında Bilecik ilinde sanayide kullanılan yakıt miktarları çizelge 4.5'te, bunların toplamları ise çizelge 4.6'da görülmektedir.

Çizelge 4.5 Sanayi kaynaklı yakıt tüketim miktarı (BÜ Emisyon Raporları, 2002)

Fabrika adı	Yakıt cinsi	Yakıt tüketimi (ton/yıl)	Sektör
Gülmer	-	0	Madencilik sanayi
	(Elektrik enerjisi)		
Metko	Kalorifer yakıtı	120	Kimya sanayi
CCS	Kalorifer yakıtı	25	Endüstriyel ürünler sanayi
Aslanoğlu	-	0	Kereste sanayi
	(Elektrik enerjisi)		
Nimeks	Kalorifer yakıtı	700,8	Organik tarım ürünleri sanayi
Doğvit	LPG	3816	Saniteri seramik sanayi
Tek-dök	LPG	2,1	Teknik döküm sanayi
Kaim	Kalorifer yakıtı	350,4	Mühendislik müşavirlik sanayi

Matel	LPG	1445,4	Hammadde sanayi
Seranit	LPG	3800	Granit seramik sanayi
Toprak	LPG	504	Saniteri ve turizm işletmeleri
Granitaş	Kalorifer yakıtı	50	Mermere sanayi
Hepşen	LPG	700	
	Tozsuz kok kömürü	480	
Evren	Elektrik enerjisi	0	Metal sanayi
	Kalorifer yakıtı	2,2	
	Odun	500	
Timaş	-	0	Turizm, inşaat, sağlık hizmetleri sanayi
	(Elektrik enerjisi)		
Porland Porselen	LPG	6245,9	Porselen sanayi
Seramik	LPG	3500	Seramik sanayi

Çizelge 4.6 Sanayide kullanılan toplam yakıt tüketim miktarı

Tüketim (ton/yıl)	Yakıt cinsi			
	LPG	Kal. yakıtı	Kömür	Odun
20013,4	1248,4	480	500	

2001-2002 yılları arasında Bilecik ilindeki evsel kaynaklı yakıt tüketim miktarları çizelge 4.7'de ve trafik kaynaklı yakıt tüketim miktarları çizelge 4.8'de verilmiştir. Bilecik ilinin yakıt tüketim miktarları toplamı çizelge 4.9'da ve şekil 4.8'de verilmiştir.

Çizelge 4.7 Evsel kaynaklı yakıt tüketim miktarı

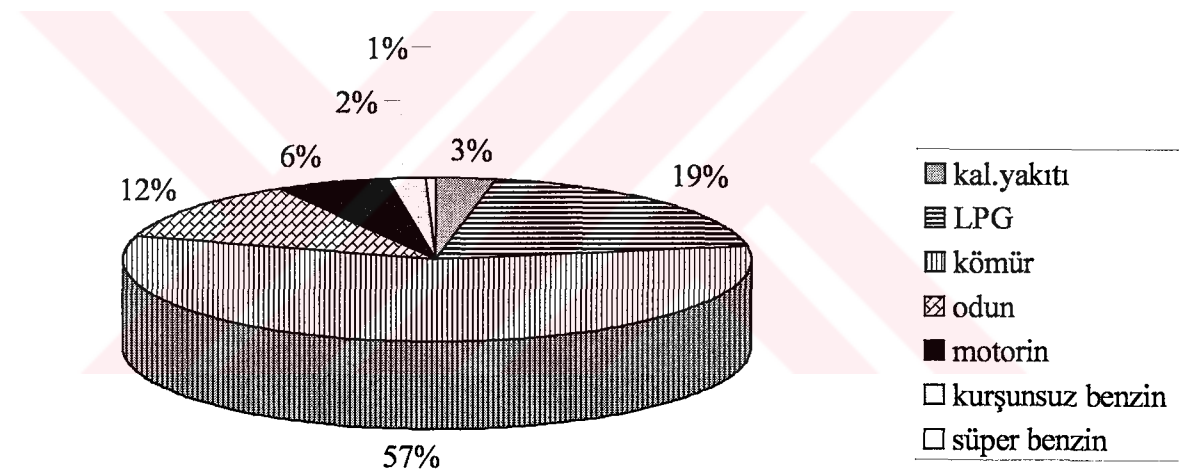
Tüketim (ton/yıl)	Yakıt cinsi		
	Kömür	Kal. yakıtı	Odun
60.000	2.040	12.000	

Çizelge 4.8 Trafik kaynaklı yakıt tüketim miktarı

Tüketim (ton/yıl)	Yakıt cinsi		
	Kurşunsuz benzin	Süper benzin	Motorin
1950	725	6150	

Çizelge 4.9 2001-2002 yılları arasında Bilecik ilinin yakıt tüketim miktarları

<b>Yakıt cinsi</b>	<b>Tüketim miktarı (ton/yıl)</b>
Kalorifer yakıtı	3.289
LPG	20013,4
Kömür	60.480
Odun	12.500
Motorin	6.150
Benzin	2675
- kurşunsuz	- 1950
- süper	- 725



Şekil 4.8 Bilecik ilinin 2001-2002 yılları arasında yakıt tüketim miktarı

## 5. BULGULAR

### 5.1 Bilecik İlinin Emisyon Envanteri

#### 5.1.1 Bilecik İlinin Sanayiden Kaynaklanan Emisyon Envanteri

Bilecik ilinde sanayiden kaynaklanan emisyonların envanterini çıkartmak için her bir sanayinin emisyon raporlarından faydalanyılmıştır. Bu emisyon raporları Boğaziçi Üniversitesi tarafından hazırlanmıştır. Raporlardan elde edilen SO<sub>2</sub>, PM, CO ve NO<sub>x</sub> emisyon değerleri çizelge 5.1'de verilmiştir.

**Çizelge 5.1 Bilecik sanayisinden gelen toplam emisyon değerleri**

<b>Sanayiler</b>	<b>Toplam Kirletici Emisyonları (mg/sn)</b>				
	<b>SO<sub>2</sub></b>	<b>PM</b>	<b>CO</b>	<b>NO<sub>x</sub></b>	<b>HC</b>
Gülmer	0	38,3	0	0	0
Metko	328	7	4	133,3	1,9
CCS	61,1	0	1	14,8	0,4
Aslanoğlu	0	13,7	0	0	0
Nimeks	1612	28	41,5	425,8	11,1
Doğvit	63,2	136,3	761	144,5	0
Tek-dök	0	6,8	0	0	0
Kaim	178,7	227,9	322,5	21,3	5,6
Matel	0	177,3	368,8	981,6	0
Seranit	0	384	220,4	100,7	0
Toprak	0	12,7	0	171,8	0
Granitaş	11661	1130	689,3	1546,2	0,8
Hepşen	65,5	25,3	28,3	97,8	5,6
Evren	30	52,6	153,2	17,5	0,1
Porland Porselen	0	135,4	92,5	44,7	0
Seramik	0	2224,6	1317,2	0	0
<b>TOPLAM</b>	<b>14000</b>	<b>4600</b>	<b>4000</b>	<b>3700</b>	<b>25,5</b>

Buradaki HC değeri ise EPA emisyon faktörleri kullanılarak bulunmuştur. Bunun için sanayilerin kullandığı yakıt miktarlarının bilinmesine ihtiyaç vardır. Örneğin Metko'nun yakıt

cinsi 4 no'lu fuel oil'dir ve yakıt tüketimi 120 ton/yıl' dır. Emisyon faktörü tablosundan (çizelge 2.1) HC için kullanılacak faktör seçilmiştir. HC emisyon değeri, yakıt tüketimi ile emisyon faktörünün çarpımından bulunmuştur.

$$\begin{aligned} \text{HC emisyonu} &= (120 \text{ ton yakıt / yıl}) * (0,50 \text{ kg HC / ton yakıt}) \\ &= 60 \text{ kg HC / yıl} \\ &= 1,9 \text{ mg HC / sn} \end{aligned}$$

### 5.1.2 Bilecik İlinin Yerleşim Bölgesinden Kaynaklanan Emisyon Envanteri

Evsel ısınmadan kaynaklanan kirletici emisyonları hesaplanırken çizelge 5.2'deki emisyon faktörleri kullanılmıştır.

Çizelge 5.2 Evsel emisyonları hesaplamak için kullanılan emisyon faktörleri (EPA, 1985)

Kirletici parametre (kg/ton)	Yakit Türü		
	Linyit	Fuel-oil	Odun*
SO <sub>x</sub>	13,6*S(%)	20,1*S(%)	0,2
PM	3,2*A(%)	0,1	15-21
CO	0,5	0,25	130
NO <sub>x</sub>	6,4	1,46	1,4
HC	<0,45	0,63	Yok

Bilecik ilinde Sanayi ve Ticaret Odası'na kayıtlı olan 5 adet kömür satış istasyonu ve 4 adet benzin istasyonu bulunmaktadır. Bu yerlerden alınan değerlere göre 2001-2002 yıllarında kış sezonu boyunca (6 ay = Ekim-Mart) evlerde ısınma amaçlı tüketilen kömür miktarı yaklaşık 60.000 ton, kalorifer yakıtı miktarı 2.040 ton, odun miktarı ise 12.000 tondur. ısınmada kullanılan ithal kömür özellikleri çizelge 5.3'te verilmiştir.

---

\* Neşe Kemerdere'nin "Gebze İlçesinde Emisyon Envanteri ve Hava Kalitesi Modellemesi Raporu"ndan alınmıştır (Temmuz, 1996).

## Çizelge 5.3 Yakıt numunesi analiz raporu

	<b>Analiz tipleri</b>	<b>Orijinal numunede</b>	<b>Kuru numunede</b>
<b>Kısa</b>	Nem %	3,74	
	Kül %	7,58	7,88
	Uçucu madde %	18,37	19,08
	Sabit karbon %	70,31	73,04
<b>Analiz</b>	TOPLAM %	100,00	100,00
	Toplam kükürt %	0,90	0,91
	Alt ısıl değer Kcal/kg	7311	7616
	Üst ısıl değer Kcal/kg	7528	7816

**Emisyon Hesaplamaları:**

Kömür Tüketimi: 60.000 ton/yıl

Yakıttaki kükürt yüzdesi S(%): 0,9

Kömürdeki kül yüzdesi A(%): 7,58

$$\text{SO}_2 = \text{Kömür tüketimi} * \text{EF(kg/ton)}$$

$$= 60.000 \text{ ton/yıl} * (13,6 * 0,9) \text{ kg/ton} = 734.400 \text{ kg/yıl} = 734,4 \text{ ton SO}_2/\text{yıl}$$

$$\text{PM} = 60.000 \text{ ton/yıl} * (3,2 * 7,58) \text{ kg/ton} = 1.455.360 \text{ kg/yıl} = 1455,36 \text{ ton PM/yıl}$$

$$\text{CO} = 60.000 \text{ ton/yıl} * 0,5 \text{ kg/ton} = 30.000 \text{ kg/yıl} = 30 \text{ ton CO/yıl}$$

$$\text{NO}_x = 60.000 \text{ ton/yıl} * 6,4 \text{ kg/ton} = 384.000 \text{ kg/yıl} = 384 \text{ ton NO}_x/\text{yıl}$$

$$\text{HC} = 60.000 \text{ ton/yıl} * 0,4 \text{ kg/ton} = 24.000 \text{ kg/yıl} = 24 \text{ ton HC/yıl}$$

Kalorifer Yakıtı Tüketimi: 2.040 ton/yıl

Yakıttaki kükürt yüzdesi S(%): 1,5

$$\text{SO}_2 = \text{Yakıt tüketimi} * \text{EF(kg/ton)}$$

$$= 2.040 \text{ ton/yıl} * (20,1 * 1,5) \text{ kg/ton} = 61.506 \text{ kg/yıl} = 61,5 \text{ ton SO}_2/\text{yıl}$$

$$PM = 2.040 \text{ ton/yıl} * 0,1 \text{ kg/ton} = 204 \text{ kg/yıl} = 0,2 \text{ ton PM/yıl}$$

$$CO = 2.040 \text{ ton/yıl} * 0,25 \text{ kg/ton} = 510 \text{ kg/yıl} = 0,51 \text{ ton CO/yıl}$$

$$NO_x = 2.040 \text{ ton/yıl} * 1,46 \text{ kg/ton} = 2978,4 \text{ kg/yıl} = 3 \text{ ton NO}_x/\text{yıl}$$

$$HC = 2.040 \text{ ton/yıl} * 0,63 \text{ kg/ton} = 1285,2 \text{ kg/yıl} = 1,3 \text{ ton HC/yıl}$$

Odun Tüketimi: 12.000 ton/yıl

$$\begin{aligned} SO_2 &= \text{Yakıt tüketimi} * EF(\text{kg/ton}) \\ &= 12.000 \text{ ton/yıl} * 0,2 \text{ kg/ton} = 2400 \text{ kg/yıl} = 2,4 \text{ ton SO}_2/\text{yıl} \end{aligned}$$

$$PM = 12.000 \text{ ton/yıl} * 15 \text{ kg/ton} = 180.000 \text{ kg/yıl} = 180 \text{ ton PM/yıl}$$

$$CO = 12.000 \text{ ton/yıl} * 130 \text{ kg/ton} = 1.560.000 \text{ kg/yıl} = 1.560 \text{ ton CO/yıl}$$

$$NO_x = 12.000 \text{ ton/yıl} * 1,4 \text{ kg/ton} = 16.800 \text{ kg/yıl} = 16,8 \text{ ton NO}_x/\text{yıl}$$

$$HC = 12.000 \text{ ton/yıl} * 0 \text{ kg/ton} = 0 \text{ kg/yıl} = 0 \text{ ton HC/yıl}$$

Emisyon faktörleri kullanılarak hesaplanan evsel ısınma kaynaklı kirletici emisyonlarının sonuçları çizelge 5.4'te verilmiştir.

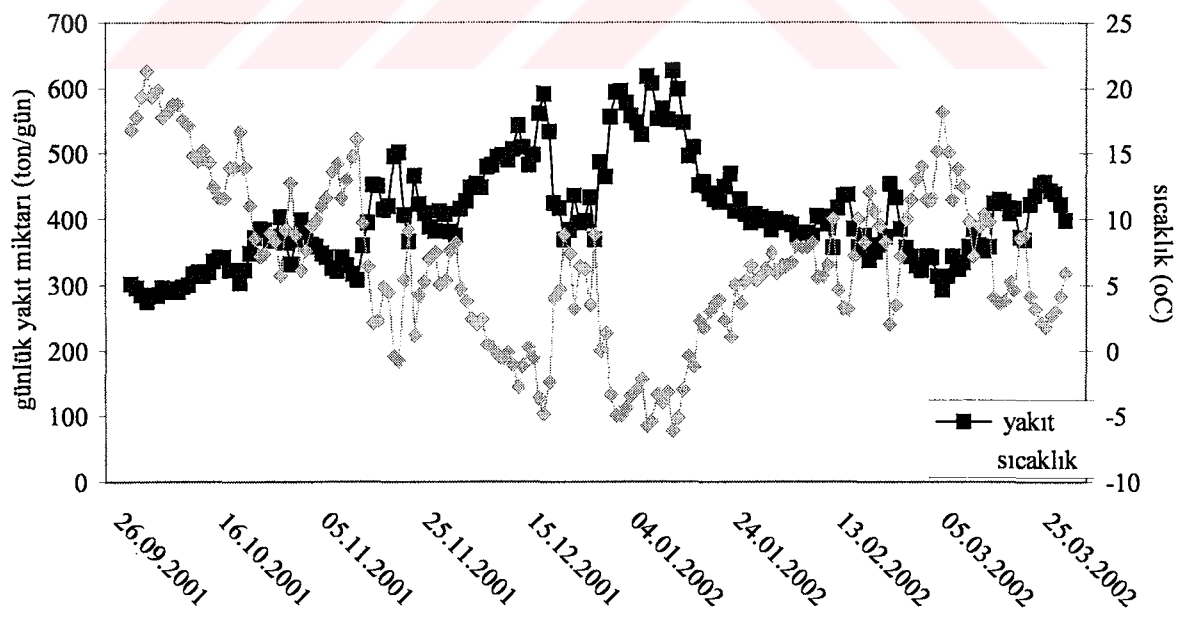
Çizelge 5.4 Evsel ısınma kaynaklı toplam kirletici emisyonu

Yakıt türü	SO <sub>2</sub>	PM	CO	NO <sub>x</sub>	HC
Kömür	734,4	1455,36	30	384	24
Kalorifer yakıtı	61,5	0,2	0,51	3	1,3
Odun	2,4	180	1560	16,8	0
<b>Toplam(ton/yıl)</b>	<b>798,3</b>	<b>1635,6</b>	<b>1590,5</b>	<b>403,8</b>	<b>25,3</b>

### Bilecik İlinde Günlük Kullanılan Yakıt Miktarının Hesaplanması Yaklaşımı

Bilecik ilinin kış sezonu Ekim-Mart ayları arasında sürmektedir. Hava sıcaklığı ne kadar düşük olursa ısınma maksatlı kullanılan yakıt miktarı o kadar artar. Dolayısıyla hava sıcaklığı ile tüketilen yakıt miktarı ters orantılıdır. ısınma maksatlı yakıt miktarını hesaplarken her gün için bir sıcaklık düzeltmesi yapmak ve dağılım katsayısı bulmak gerekmektedir. 2001-2002 kış dönemi boyunca kullanılan toplam kömür miktarı 60.000 ton/yıl, kalorifer yakıtı miktarı 2040 ton/yıl ve odun miktarı 12.000 ton/yıl'dır. Bu miktarı Ekim-Mart arasında günler bazında dağıtmak için sıcaklığa bağlı bir dağılım katsayısı yaklaşımı uygulanmıştır. Bu katsayıyı bulmak için Formül 5.1 kullanılmıştır. Bu yaklaşımı göre dağılım katsayısı ile her bir yakıt miktarı çarpılır ve günlük kullanılan kömür, kalorifer yakıtı ve odun miktarları bulunur. Dağılım katsayısı yaklaşımı ile kış sezonu içinde günler bazında dağıtılan toplam yakıt miktarı ve aynı günlere ait sıcaklık değerleri şekil 5.1'de gösterilmektedir. Formüldeki  $T_{\max}$ , kış dönemi boyunca ölçülmüş olan en yüksek sıcaklık,  $T_{\min}$ , kış dönemi boyunca ölçülmüş olan en düşük sıcaklık,  $T$ , günlük ölçülen sıcaklıklı.

$$\text{Dağılım katsayısı} = \frac{\frac{T_{\max} - T_{\min}}{T + (T_{\max} - T_{\min})}}{\sum T} \quad \dots\dots\dots(5.1)$$



Şekil 5.1 2001-2002 kış dönemi boyunca sıcaklık değişimine karşı kullanılan yakıt miktarı

### 5.1.3 Bilecik İlinin Trafikten Kaynaklanan Emisyon Envanteri

Bilecik ilinde 2003 şubat ayı itibariyle trafikte 11.356 adet otomobil, 688 adet minibüs, 585 adet otobüs, 2.567 adet kamyonet ve 1.830 adet kamyon mevcuttur. Toplam motorlu kara taşıtı sayısı ve bunların dağılımı çizelge 5.5'de görülmektedir.

Çizelge 5.5 Bilecik ili motorlu kara taşıtları sayısı (Devlet İstatistik Enstitüsü, 2003)

Araçlar	Adet
Otomobil	11356
Minibüs	688
Otobüs	585
Kamyonet	2567
Kamyon	1830
Motosiklet	2555
Özel amaçlı taşıtlar	187
Yol ve iş makineleri	667
<b>Toplam</b>	<b>20443</b>

Trafik emisyonunu hesaplarken taşıt sayıları kullanılmamıştır. Çünkü araçların % kaçının trafikte olacağı ve günde kaç km yol alacakları bilinmemektedir. Bilecik ilindeki benzin istasyonlarından alınan verilere göre tüm araçların yıllık toplam yakıt tüketimleri yaklaşık 2.500 m<sup>3</sup> kurşunsuz benzin, 1.000 m<sup>3</sup> süper benzin ve 7.500 m<sup>3</sup> motorindir.

Trafikten kaynaklanan kirletici emisyonları hesaplanırken çizelge 5.6'daki emisyon faktörleri kullanılmıştır.

Çizelge 5.6 Trafik emisyonlarını hesaplamak için kullanılan emisyon faktörleri (EPA, 1985)

Yakıt Türü (kg/m <sup>3</sup> )	Kirletici Parametreler (kg/ton)				
	SO <sub>2</sub>	PM	CO	NO <sub>x</sub>	HC
Benzin	1,1	1,4	275	14	24
Dizel	4,8	13,2	7,2	26,6	16,3

#### Emisyon Hesaplamaları:

Kurşunsuz benzin tüketim miktarı: 2.500 m<sup>3</sup>/yıl

$$d = 0,780 \text{ kg/l}$$

$$\begin{aligned}
 \text{SO}_2 &= \text{yakıt tüketimi} * \text{emisyon faktörü} \\
 &= (2500 \text{ m}^3/\text{yıl} * 1000 \text{ lt/ m}^3 * 0,780 \text{ kg/lt} * 0,001 \text{ ton/kg}) * 1,1 \text{ kg/ton} \\
 &= 1.950 \text{ ton/yıl} * 1,1 \text{ kg/ton} = 2145 \text{ kg/yıl} = 2,2 \text{ ton SO}_2/\text{yıl}
 \end{aligned}$$

$$\text{PM} = 1.950 \text{ ton/yıl} * 1,4 \text{ kg/ton} = 2730 \text{ kg/yıl} = 2,7 \text{ ton PM/yıl}$$

$$\text{CO} = 1.950 \text{ ton/yıl} * 275 \text{ kg/ton} = 536.250 \text{ kg/yıl} = 536,3 \text{ ton CO/yıl}$$

$$\text{NO}_x = 1.950 \text{ ton/yıl} * 14 \text{ kg/ton} = 27.300 \text{ kg/yıl} = 27,3 \text{ ton NO}_x/\text{yıl}$$

$$\text{HC} = 1.950 \text{ ton/yıl} * 24 \text{ kg/ton} = 46.800 \text{ kg/yıl} = 46,8 \text{ ton HC/yıl}$$

Süper benzin tüketim miktarı: 1.000 m<sup>3</sup>/yıl  
 $d = 0,725 \text{ kg/lt}$

$$\begin{aligned}
 \text{SO}_2 &= \text{yakıt tüketimi} * \text{emisyon faktörü} \\
 &= (1000 \text{ m}^3/\text{yıl} * 1000 \text{ lt/ m}^3 * 0,725 \text{ kg/lt} * 0,001 \text{ ton/kg}) * 1,1 \text{ kg/ton} \\
 &= 725 \text{ ton/yıl} * 1,1 \text{ kg/ton} = 797,5 \text{ kg/yıl} = 0,8 \text{ ton SO}_2/\text{yıl}
 \end{aligned}$$

$$\text{PM} = 725 \text{ ton/yıl} * 1,4 \text{ kg/ton} = 1015 \text{ kg/yıl} = 1,0 \text{ ton PM/yıl}$$

$$\text{CO} = 725 \text{ ton/yıl} * 275 \text{ kg/ton} = 199.375 \text{ kg/yıl} = 199,4 \text{ ton CO/yıl}$$

$$\text{NO}_x = 725 \text{ ton/yıl} * 14 \text{ kg/ton} = 10.150 \text{ kg/yıl} = 10,2 \text{ ton NO}_x/\text{yıl}$$

$$\text{HC} = 725 \text{ ton/yıl} * 24 \text{ kg/ton} = 17.400 \text{ kg/yıl} = 17,4 \text{ ton HC/yıl}$$

Motorin tüketim miktarı: 7.500 m<sup>3</sup>/yıl  
 $d = 0,820 \text{ kg/lt}$

$$\begin{aligned}
 \text{SO}_2 &= \text{yakıt tüketimi} * \text{emisyon faktörü} \\
 &= (7500 \text{ m}^3/\text{yıl} * 1000 \text{ lt/ m}^3 * 0,820 \text{ kg/lt} * 0,001 \text{ ton/kg}) * 4,8 \text{ kg/ton} \\
 &= 6.150 \text{ ton/yıl} * 4,8 \text{ kg/ton} = 29.520 \text{ kg/yıl} = 29,5 \text{ ton SO}_2/\text{yıl}
 \end{aligned}$$

$$PM = 6.150 \text{ ton/yıl} * 13,2 \text{ kg/ton} = 81.180 \text{ kg/yıl} = 81,2 \text{ ton PM/yıl}$$

$$CO = 6.150 \text{ ton/yıl} * 7,2 \text{ kg/ton} = 44.280 \text{ kg/yıl} = 44,3 \text{ ton CO/yıl}$$

$$NO_x = 6.150 \text{ ton/yıl} * 26,6 \text{ kg/ton} = 163.590 \text{ kg/yıl} = 163,6 \text{ ton NO}_x\text{/yıl}$$

$$HC = 6.150 \text{ ton/yıl} * 16,3 \text{ kg/ton} = 100.245 \text{ kg/yıl} = 100,3 \text{ ton HC/yıl}$$

Emisyon faktörleri kullanılarak hesaplanan trafik kaynaklı kirletici emisyonlarının sonuçları çizelge 5.7'de verilmiştir.

**Çizelge 5.7 Trafik kaynaklı toplam kirletici emisyonu**

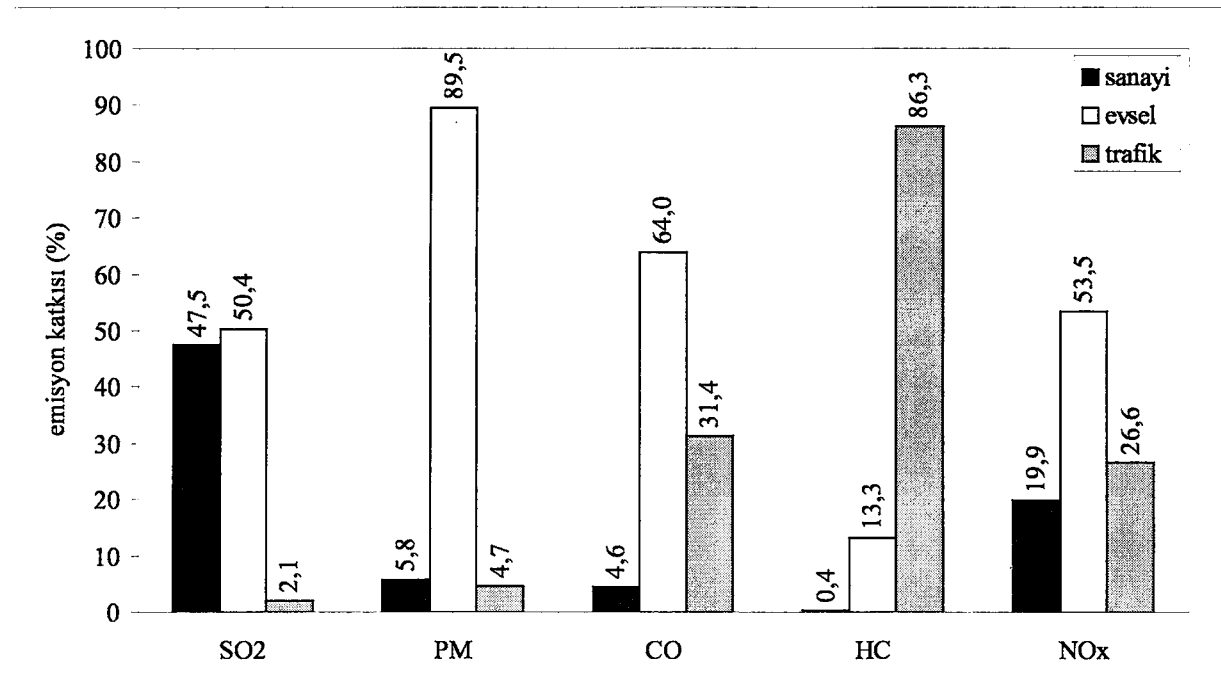
<b>Yakıt cinsi</b>	<b>Emisyonlar (ton/yıl)</b>				
	<b>SO<sub>2</sub></b>	<b>PM</b>	<b>CO</b>	<b>NO<sub>x</sub></b>	<b>HC</b>
Kurşunsuz benzin	2,2	2,7	536,3	27,3	46,8
Süper benzin	0,8	1,0	199,4	10,2	17,4
Motorin	29,5	81,2	44,3	163,6	100,3
<b>Toplam</b>	<b>32,5</b>	<b>84,9</b>	<b>780,0</b>	<b>201,1</b>	<b>164,5</b>

#### **5.1.4 Bilecik İlinin Toplam Emisyon Envanteri**

Sanayi, evsel ısınma ve trafikten gelen emisyon kaynaklarının toplamı bize Bilecik ili için toplam emisyon envanterini verir. Toplam envanter sonuçları çizelge 5.8'de ve emisyon kaynaklarının toplam emisyon katkıları şekil 5.2'de verilmektedir.

**Çizelge 5.8 Bilecik ili toplam kirletici emisyonları**

<b>Emisyon kaynakları</b>	<b>Kirletici Emisyonları (ton/yıl)</b>				
	<b>SO<sub>2</sub></b>	<b>PM</b>	<b>CO</b>	<b>HC</b>	<b>NO<sub>x</sub></b>
Sanayi	754	107	115	0,8	150
Evsel	798	1636	1591	25,3	404
Trafik	32,5	84,9	780	165	201
<b>Toplam</b>	<b>1585</b>	<b>1828</b>	<b>2486</b>	<b>191</b>	<b>755</b>

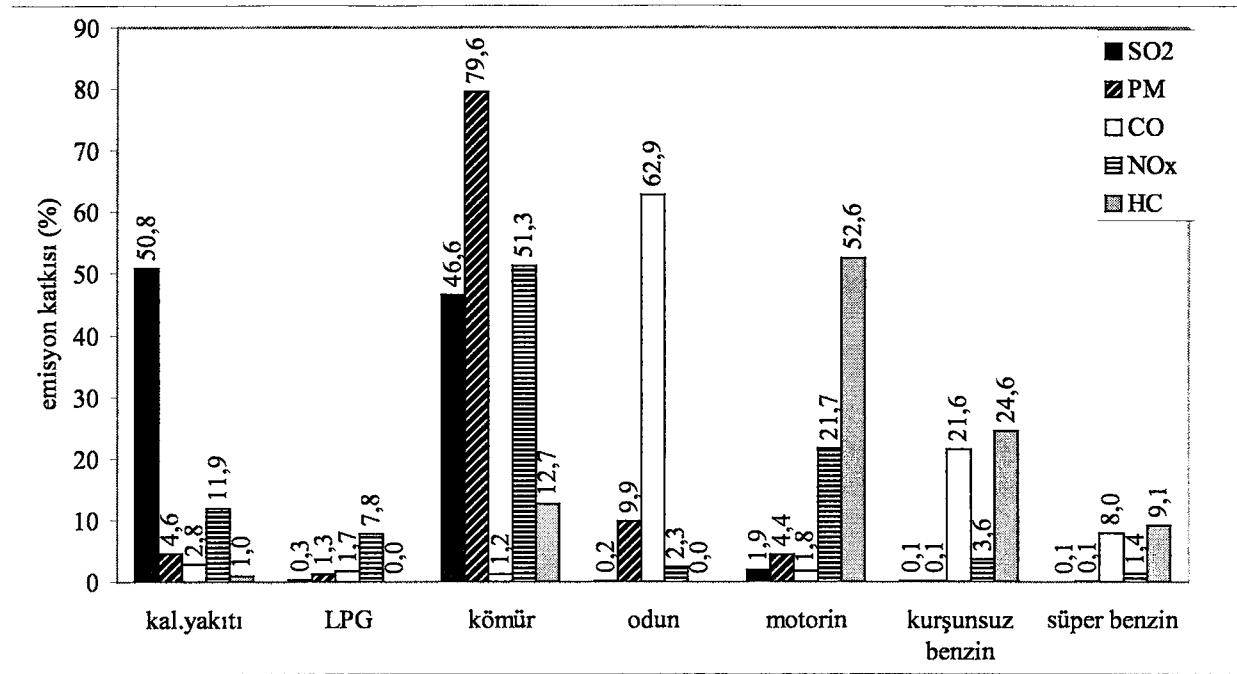


Şekil 5.2 Kirletici kaynakların toplam emisyonlara % katkıları

Bilecik ilinde kullanılan yakıtların toplam emisyon envanterine katkıları çizelge 5.9'da ve şekil 5.3'te verilmektedir.

Çizelge 5.9 Bilecik ilinde kullanılan yakıtlardan kaynaklanan emisyon miktarları

Yakıt cinsi	Emisyon Miktarları (ton/yıl)				
	SO <sub>2</sub>	PM	CO	NO <sub>x</sub>	HC
Kalorifer yakıtı	807	83	70	90	2
LPG	4,1	23	42	59	0
Kömür	739	1456	31	388	24,2
Odun	2,4	180	1563	17,2	0,003
Motorin	29,5	81	45	164	100
Kurşunsuz benzin	2,2	2,7	536	27,3	47
Süper benzin	0,8	1	199	10,2	17,4
<b>Toplam</b>	<b>1585</b>	<b>1828</b>	<b>2486</b>	<b>755</b>	<b>191</b>



Şekil 5.3 Bilecik ilinde kullanılan yakıtların toplam emisyonlara % katkısı

## 5.2 Bilecik Sanayisine Gauss Dispersiyon Modelinin Uygulanması

Bilecik ili sanayisi organize sanayi bölgesi içinde olduğu ve sanayi tesisleri birbirinden uzak olmadığı için organize sanayi bölgesi tek bir nokta kaynak olarak değerlendirilmiştir ve konsantrasyonlar Gauss Dispersiyon Modeli ile hesaplanmıştır.

Bilecik ilinin sanayi bölgesi şehrin kuzeyinde yer almaktadır. Bu nedenle sanayi kaynaklı emisyonların Bilecik şehri üzerindeki etkisini değerlendirmek için, konsantrasyon hesaplarında şehir merkezini etkisi altına alan kuzey yönlü rüzgarların (N, NE, NW, NNE, NNW) getirdiği emisyonlar dikkate alınmalıdır.

Hesaplarda, Bilecik Meteoroloji İstasyonundan alınan meteorolojik verilerde sadece kuzey yönlü rüzgarların (N, NE, NW, NNE, NNW) rüzgar hızları ve yönleri dikkate alınmıştır. Rüzgar hızı ve bulutluluk değerlerine göre rüzgarnın kuzeyden estiği her gün için Turner kararlılık sınıfları kullanılarak (çizelge 3.2) kararlılık sınıfları bulunmuştur. Buna göre Bilecik ilinin atmosferinin genelde kararsız (A-B-C) olduğu tespit edilmiştir.

Martin Denklemleri kullanılarak kararlılığa göre dispersiyon katsayıları olan  $\sigma_y$  ve  $\sigma_z$  değerleri bulunmuştur. Dispersiyon katsayıları sonuçları çizelge 5.10'da verilmiştir. Buradaki formülde geçen x değeri, sanayi kaynağı ile ölçüm noktası (Halk Sağlığı Laboratuvarı)

arasındaki kuş bakışı uzaklığıtır ve 2,5 km'dir (N yönlü rüzgar doğrultusunda). Şekil 5.4'te görüldüğü gibi NNE ve NNW yönleri için x değeri 2,31 km, NE ve NW yönleri için x değeri 1,768 km'dir.

Çizelge 5.10 Dispersiyon katsayıları

Kararlılık sınıfları		$\sigma_y$ (m)	$\sigma_z$ (m)
NNE ve NNW yönleri için x = 2,31 km	A	450,24	2663,46
	B	329,76	273,31
	C	219,84	130,79
N yönü için x = 2,5 km	A	483,21	3141,16
	B	353,9	297,91
	C	235,93	140,56
NE ve NW yönleri için x = 1,768 km	A	354,5	1525,6
	B	259,6	204,3
	C	173,1	102,5

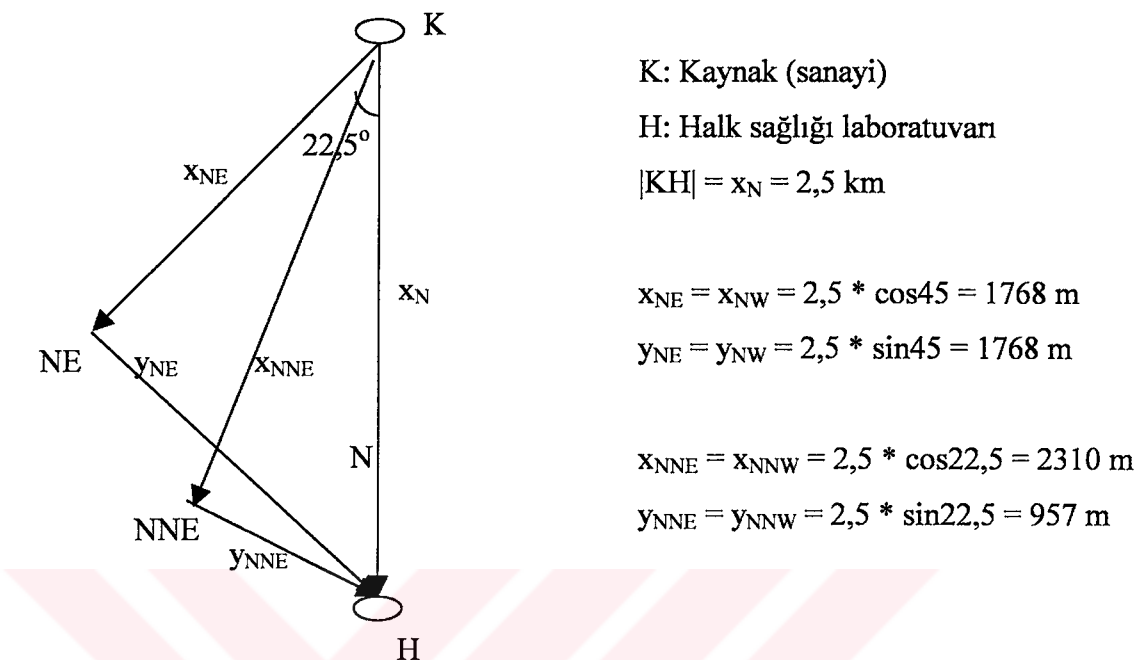
Sanayi kirliliğinden gelen konsantrasyonu hesaplamak için Gauss Dispersiyon modeli kullanılmıştır. Topografyaya bağlı olarak yansımının olduğu ve olmadığı duruma göre Gauss'un iki ayrı konsantrasyon formülü vardır. Eğer zeminde hiçbir yükselti, girinti-çıkıntı yoksa bacadan çıkan emisyon şehrin zemininde yansımıya yaparak daha çok kirlilik yapar. Tabii ki bu çok doğru bir yaklaşım değildir. Çünkü yer yapısının kirletici hüzmesini tamamen yansıtması mümkün değildir. Kirleticilerin bir kısmı yer yüzeyinde adsorbe olabilmektedir. Bu nedenle Bilecik için topografyaya, civardaki bina ve ağaç yoğunluğuna bağlı olarak %30 yansımıya olduğu kabul edilmiştir. ( $C = 1,3*C_1$ )

$$C_1 = \frac{Q}{2\pi u \sigma_y \sigma_z} \exp \left[ -\frac{1}{2} \left( \frac{y^2}{\sigma_y^2} + \frac{(z-H)^2}{\sigma_z^2} \right) \right] \quad \dots \dots \dots (3.12)$$

$$C_2 = \frac{Q}{2\pi u \sigma_y \sigma_z} \exp \left[ -\frac{1}{2} \left( \frac{y}{\sigma_y} \right)^2 \right] \left\{ \exp \left[ -\frac{1}{2} \left( \frac{z-H}{\sigma_z} \right)^2 \right] + \exp \left[ -\frac{1}{2} \left( \frac{z+H}{\sigma_z} \right)^2 \right] \right\} \quad \dots \dots \dots (3.13)$$

### *y değerinin bulunması*

Kaynak ile ölçüm noktası arasındaki mesafe 2,5 km'dir. N rüzgar yönündeki y değeri sıfırdır.



Şekil 5.4 N, NNW, NNE, NW ve NE rüzgar yönlerindeki x ve y değerleri

### *Etkin baca yüksekliğinin (H) bulunması*

Her sanayinin emisyon raporundan bacanın fiziksel yüksekliği, baca kesit alanı, baca gazı deşarj hızı, gaz sıcaklığı ve ortam sıcaklığı verileri alınmıştır ve bu veriler ile kuzey rüzgarlı her bir gün için baca yüksekliğindeki rüzgar hızı, hüzme yüksekliği ve etkin yükseklik değerleri formüller ile hesaplanmıştır. Her bir bacanın emisyon miktarı ve ağırlığında ortalama baca yüksekliğinin katkısı dikkate alınarak, tek bir fiziksel baca yüksekliği bulunmuştur ( $h_{\text{ort}} = 11,73 \text{ m}$ ). Kaldırma akış parametresi, sanayiden çıkan her bir baca için ayrı ayrı hesaplanmış ve ortalama değer alınmıştır ( $F = 0,32 \text{ m}^4/\text{sn}^3$ ). Bilecik sanayisinin toplam baca sayısı 90 adettir. Kuzey yönlü rüzgarların estiği günler için hesaplanan etkin baca yükseklikleri şekil 5.5'te görülmektedir.

$$H = h + \Delta h$$

h: Bacanın fiziksel yüksekliği, m (Sanayilerin emisyon raporlarında verilmiştir)

$\Delta h$ : Hüzme yüksekliği, m (Briggs Formülü ile bulunmuştur)

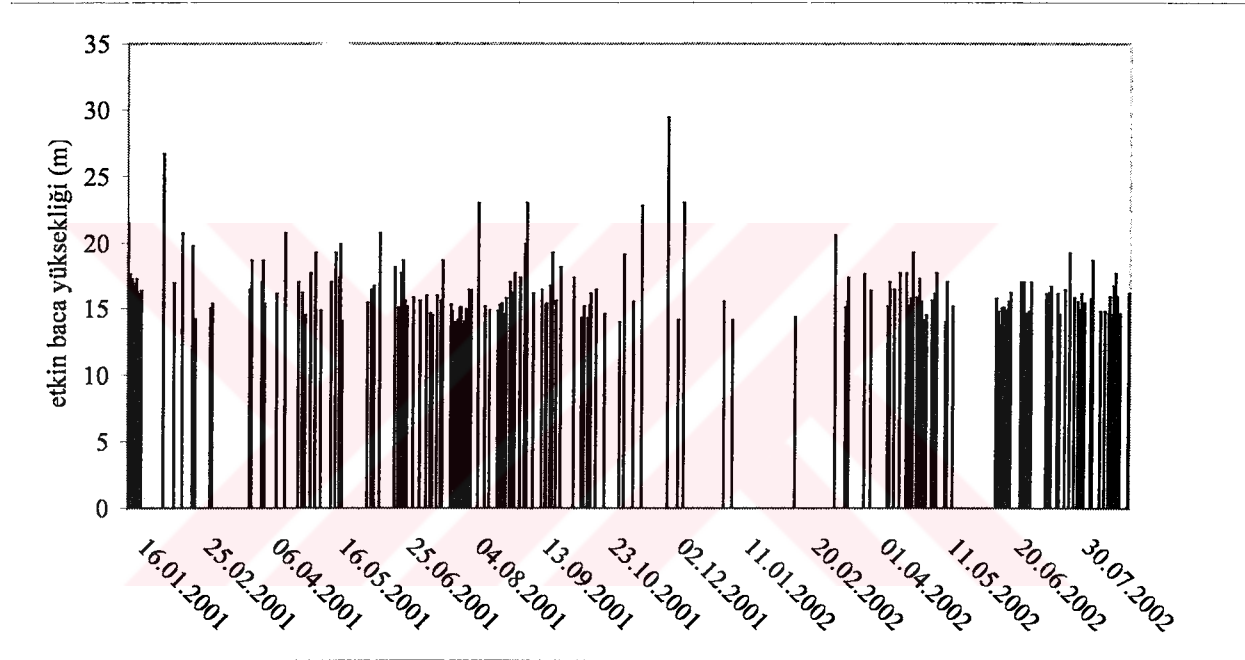
$$h_{\text{ort}} = 11,73 \text{ m}$$

$$u_H = u_a * (1,173)^P$$

$$F_{\text{ort}} = 0,32 \text{ m}^4/\text{sn}^3$$

$$\Delta h = 21,425 * \frac{F^{3/4}}{u} = \frac{9,116}{u}$$

$$\text{Etkin baca yüksekliği: } H = 11,73 + \Delta h$$



Şekil 5.5 Kuzey yönlü rüzgarların estiği günler için hesaplanan etkin baca yükseklikleri

#### Gauss Dispersiyon Formülü kullanılarak kirlilik konsantrasyonunun bulunması

$$C_1 = \frac{Q}{2\pi u \sigma_y \sigma_z} \exp \left[ -\frac{1}{2} \left( \frac{y^2}{\sigma_y^2} + \frac{(z-H)^2}{\sigma_z^2} \right) \right] \quad \dots\dots\dots (3.12)$$

$$Q_{\text{SO}_2} = 14 * 10^6 \text{ } \mu\text{g/sn}$$

$$Q_{\text{PM}} = 4,6 * 10^6 \text{ } \mu\text{g/sn}$$

$$Q_{\text{NO}_x} = 3,7 * 10^6 \text{ } \mu\text{g/sn}$$

$$Q_{\text{CO}} = 4 * 10^6 \text{ } \mu\text{g/sn}$$

$$Q_{\text{HC}} = 25,5 * 10^3 \text{ } \mu\text{g/sn}$$

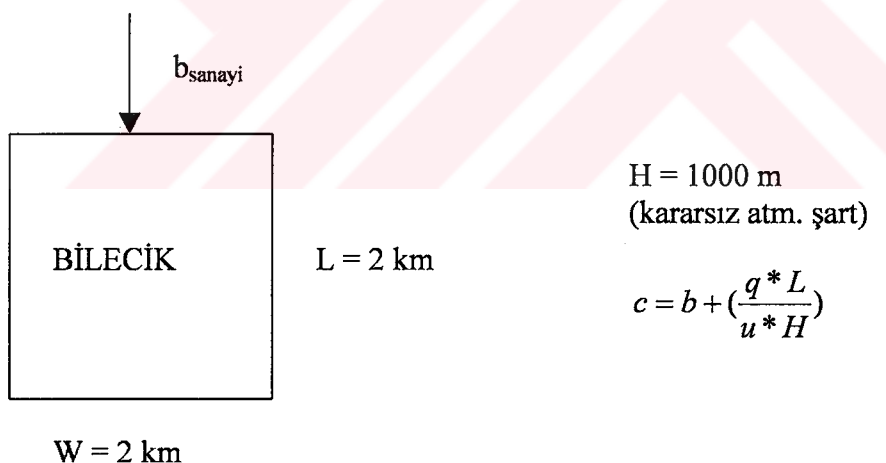
Kuzey rüzgarlı her bir gün için  $Q$ ,  $u$ ,  $\sigma_y$ ,  $\sigma_z$ ,  $y$  (NNE ve NNW yönleri için 957 m, NE ve NW yönleri için 1768 m, N yönü için 0),  $z$  (=2 m) ve  $H$  değerleri formülde yerine konarak  $C_1$  konsantrasyon değeri bulunmuştur. Gerçek konsantrasyon değerini bulmak için %30 yansımıza olduğu kabul edilmiştir.

$$C = C_1 + 0,3C_1 = 1,3C_1$$

Bulunan konsantrasyon değerleri sonuç ve öneriler bölümünde irdelenmiştir.

### 5.3 Bilecik İline ATDL Modelinin Uygulanması

Bilecik ilinde background (arka plan) konsantrasyonu olarak şehrin kuzeyinde kalan sanayiden gelen sanayi konsantrasyonu alınır ( $b$ ). Şehir sınırlarının içinde kalan alandan ise evsel ve trafik emisyonları gelir ( $q$ ). Evsel emisyonlar kiş sezonunda değişken olup, yaz sezonunda sıfırdır. Trafik emisyonu ise her gün aynı olduğu kabul edilerek sabittir. ATDL modelinin Bilecik iline uygulanması şekil 5.6'da gösterilmiştir.



Şekil 5.6 Bilecik iline ATDL modelinin uygulanması

$q$ : emisyon hızı

$$q = (\text{evsel} + \text{trafik kaynaklı emisyon}) / A = [\mu\text{g/sn-m}^2]$$

$A$ : şehir alanı

$$A = W * L = 2000 \text{ m} * 2000 \text{ m} = 4 * 10^6 \text{ m}^2$$

SO<sub>2</sub> konsantrasyonu için:

$$q_{\text{trafik}} = 32,5 \text{ ton/yıl} = 0,26 \mu\text{g/sn-m}^2$$

$$q_T = q_{\text{evsel}} + 0,26$$

$$c_{SO_2} = b_{SO_2} + \frac{(q_{\text{evsel SO}_2} + 0,26) * 2000}{u * 1000}$$

PM konsantrasyonu için:

$$q_{\text{trafik}} = 84,9 \text{ ton/yıl} = 0,67 \mu\text{g/sn-m}^2$$

$$q_T = q_{\text{evsel}} + 0,67$$

$$c_{PM} = b_{PM} + \frac{(q_{\text{evsel PM}} + 0,67) * 2000}{u * 1000}$$

Degiskenler;

b: Gauss Dispersiyon formülünden bulunan sanayi kaynaklı SO<sub>2</sub> ve PM konsantrasyon değerleri her gün için farklı değerler alır ( $\mu\text{g/m}^3$ ).

q<sub>evsel</sub>: Kış sezonu için değişkendir ve her gün için farklı değerler alır ( $\mu\text{g/sn-m}^2$ ).

u: Meteorolojik bir veri olan rüzgar hızı değerleri her gün için farklı değerler alır (m/sn).

c: ATDL kutu modeli formülünden bulunan konsantrasyon değeri ( $\mu\text{g/m}^3$ )

Şekil 5.7'de görüldüğü gibi sanayiden gelen SO<sub>2</sub> ve PM konsantrasyonları (b) kuzey yönlü rüzgarların estiği günlerde Gauss Modeli yardımıyla hesaplanmıştır. Şekil 5.8'de ise evsel ısınmadan kaynaklanan SO<sub>2</sub> ve PM emisyonları, kış dönemi boyunca kullanılan günlük kömür miktarı ve emisyon faktörleri yardımıyla bulunmuş ve grid boyutuna bölünerek hesaplanmış q değerleri görülmektedir.

Sanayi, evsel ısınma ve trafik sektörlerinin Bilecik ili üzerindeki etkisini bulmak için b ve q değerleri ATDL formülüne yerine konarak kuzey yönlü rüzgarların estiği her bir gün için SO<sub>2</sub> ve PM konsantrasyonları hesaplanmıştır. Şekil 5.9'da N yönünden esen rüzgarlı günlerde ölçülmüş SO<sub>2</sub> konsantrasyonları ile ATDL modeli kullanılarak bulunan SO<sub>2</sub> konsantrasyonlarının karşılaştırılması görülmektedir. Şekil 5.10'da NNW ve NNE yönlerinden esen rüzgarlı günlerde ölçülmüş SO<sub>2</sub> konsantrasyonları ile ATDL modeli kullanılarak bulunan SO<sub>2</sub> konsantrasyonlarının karşılaştırılması görülmektedir. Şekil 5.11'de

NW ve NE yönlerinden esen rüzgarlı günlerde ölçülmüş SO<sub>2</sub> konsantrasyonları ile ATDL modeli kullanılarak bulunan SO<sub>2</sub> konsantrasyonlarının karşılaştırılması görülmektedir.

Şekil 5.12'de N yönünden esen rüzgarlı günlerde ölçülmüş PM konsantrasyonları ile ATDL modeli kullanılarak bulunan PM konsantrasyonlarının karşılaştırılması görülmektedir. Şekil 5.13'de NNW ve NNE yönlerinden esen rüzgarlı günlerde ölçülmüş PM konsantrasyonları ile ATDL modeli kullanılarak bulunan PM konsantrasyonlarının karşılaştırılması görülmektedir. Şekil 5.14'te NW ve NE yönlerinden esen rüzgarlı günlerde ölçülmüş PM konsantrasyonları ile ATDL modeli kullanılarak bulunan PM konsantrasyonlarının karşılaştırılması görülmektedir.

Bütün kuzey yönlü rüzgarların estiği günlerde gerçek SO<sub>2</sub> konsantrasyonları ile her bir kirletici kaynak için ATDL modeli kullanılarak hesaplanan SO<sub>2</sub> konsantrasyonlarının kıyaslanması Şekil 5.15'de görülmektedir. Bütün kuzey yönlü rüzgarların estiği günlerde gerçek PM konsantrasyonları ile her bir kirletici kaynak için ATDL modeli kullanılarak hesaplanan PM konsantrasyonlarının kıyaslanması ise Şekil 5.16'da görülmektedir.

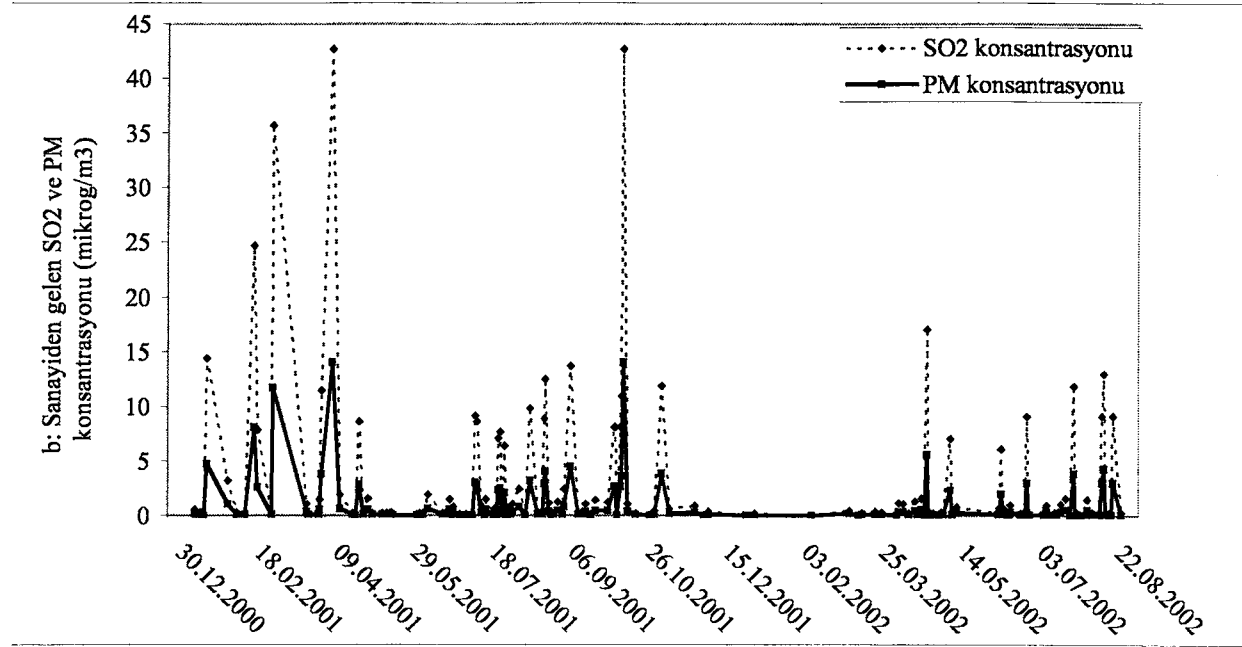
Ayrıca N, NW-NE, NNW-NNE yönlerinden esen rüzgarlı günlerde ölçülmüş konsantrasyonlar ile ATDL modeli kullanılarak hesaplanan konsantrasyonlar için t-testi uygulanmıştır. Bu test, iki grubun (model değerleri ve gerçek değerler) istatistiksel olarak farklı olup olmadığını, grupların ortalamalarını kıyaslayarak değerlendirir. Bunun için bir “güven seviyesi ( $\alpha$ )”ne ihtiyaç vardır. Literatürde en çok kullanılan güven seviyeleri 0,01-0,05-0,10'dır. Güven seviyesine göre kritik bölge hesaplanır.  $\alpha$  azalırken testin gücü de azalır (Akdeniz, 2002).

Güven seviyesi, istatistik test sonucunu tespit etmek için gereksinilen kesinlik derecesinin bir fonksiyonudur. Örneğin %99'luk güven limiti ( $\alpha=0,01$ ), %95'e ( $\alpha=0,05$ ) göre daha büyuktur. Diğer bir deyişle %99'luk güven limite t değerinin kritik bölge dışına düşme bekłentisi sadece %1'dir. Teste kesinlik kazandırmak için güven aralığını azaltmak gereklidir. Yani 1. tip hatayı (sıfır hipotezini reddetme) azaltmak için  $1-\alpha=0,99$  değeri kullanılmalıdır. %99 güven limiti, %95'e göre değişimleri tespit etmekte daha az hassastır. Bu hassasiyet ve güç kaybı, güven aralığının artmasıyla doğru orantılıdır. (McBean ve Rovers, 1998).

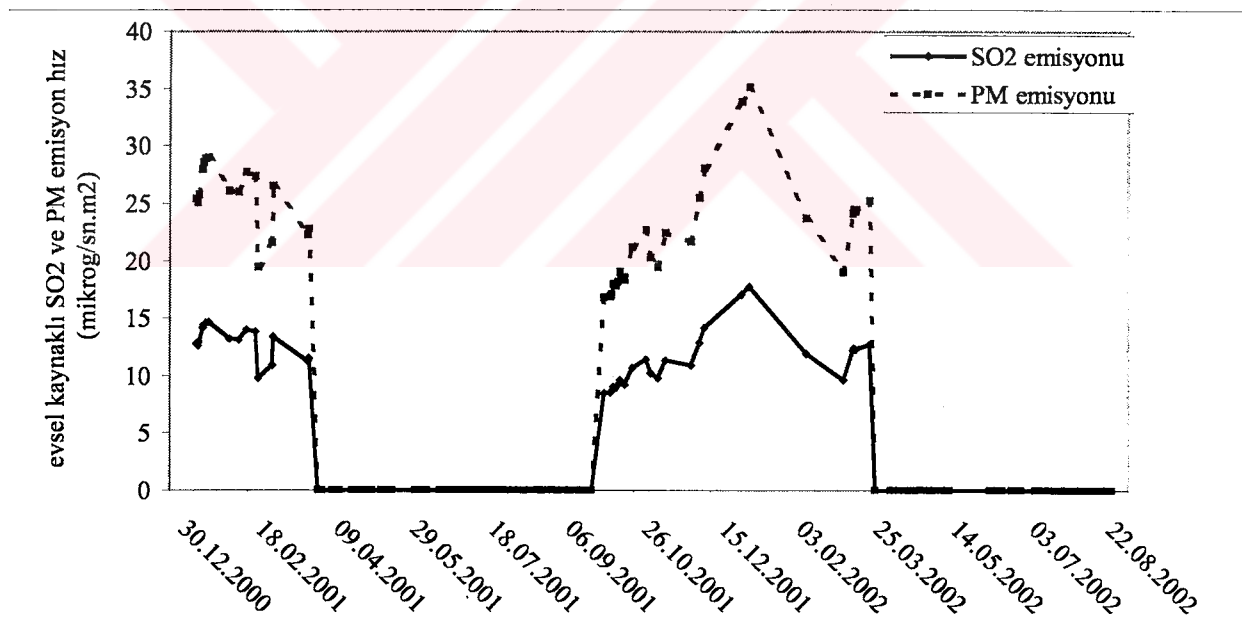
Çizelge 5.11'de N yönündeki SO<sub>2</sub> konsantrasyonları için t-test sonuçları görülmektedir ve %99 güvenilirlik seviyesinde modelin tahmin ettiği ortalama değer ile gerçek değerlerin

ortalamasının birbirine eşit kabul edilebileceği bulunmuştur. Çizelge 5.12'de NNW-NNE yönlerindeki SO<sub>2</sub> konsantrasyonları için t-test sonuçları görülmektedir ve %99 güvenilirlik seviyesinde modelin tahmin ettiği ortalama değer ile gerçek değerlerin ortalamasının birbirine eşit kabul edilemeyeceği bulunmuştur. Çizelge 5.13'de NW-NE yönlerindeki SO<sub>2</sub> konsantrasyonları için t-test sonuçları görülmektedir ve %99 güvenilirlik seviyesinde modelin tahmin ettiği ortalama değer ile gerçek değerlerin ortalamasının birbirine eşit kabul edilemeyeceği bulunmuştur.

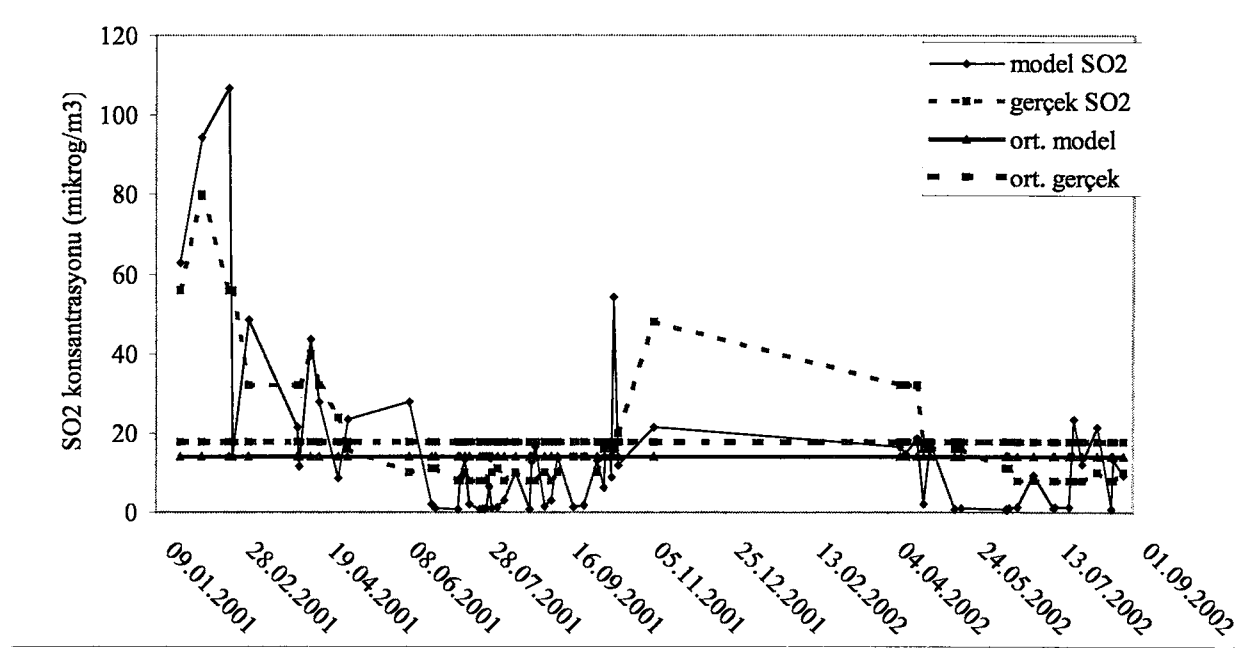
Çizelge 5.14'te N yönündeki PM konsantrasyonları için t-test sonuçları görülmektedir ve %99 güvenilirlik seviyesinde modelin tahmin ettiği ortalama değer ile gerçek değerlerin ortalamasının birbirine eşit kabul edilebileceği bulunmuştur. Çizelge 5.15'te NNW-NNE yönlerindeki PM konsantrasyonları için t-test sonuçları görülmektedir ve %99.9 güvenilirlik seviyesinde modelin tahmin ettiği ortalama değer ile gerçek değerlerin ortalamasının birbirine eşit kabul edilebileceği bulunmuştur. Çizelge 5.16'da NW-NE yönlerindeki PM konsantrasyonları için t-test sonuçları görülmektedir ve %99 güvenilirlik seviyesinde modelin tahmin ettiği ortalama değer ile gerçek değerlerin ortalamasının birbirine eşit kabul edilemeyeceği bulunmuştur.



Şekil 5.7 Bütün kuzey yönlü rüzgarların estiği günlerde Gauss Modeli ile hesaplanan SO<sub>2</sub> ve PM konsantrasyonları ( $\mu\text{g}/\text{m}^3$ )



Şekil 5.8 Bütün kuzey yönlü rüzgarların estiği günlerde evsel ısınmadan kaynaklanan SO<sub>2</sub> ve PM emisyon hızları ( $\mu\text{g}/\text{sn.m}^2$ )



Şekil 5.9 N yönünden esen rüzgarlı günlerde model ile gerçek SO<sub>2</sub> konsantrasyonlarının kıyaslanması ( $R=0,76$ )

Çizelge 5.11 N yönü, SO<sub>2</sub> konsantrasyonu için t-test sonuçları

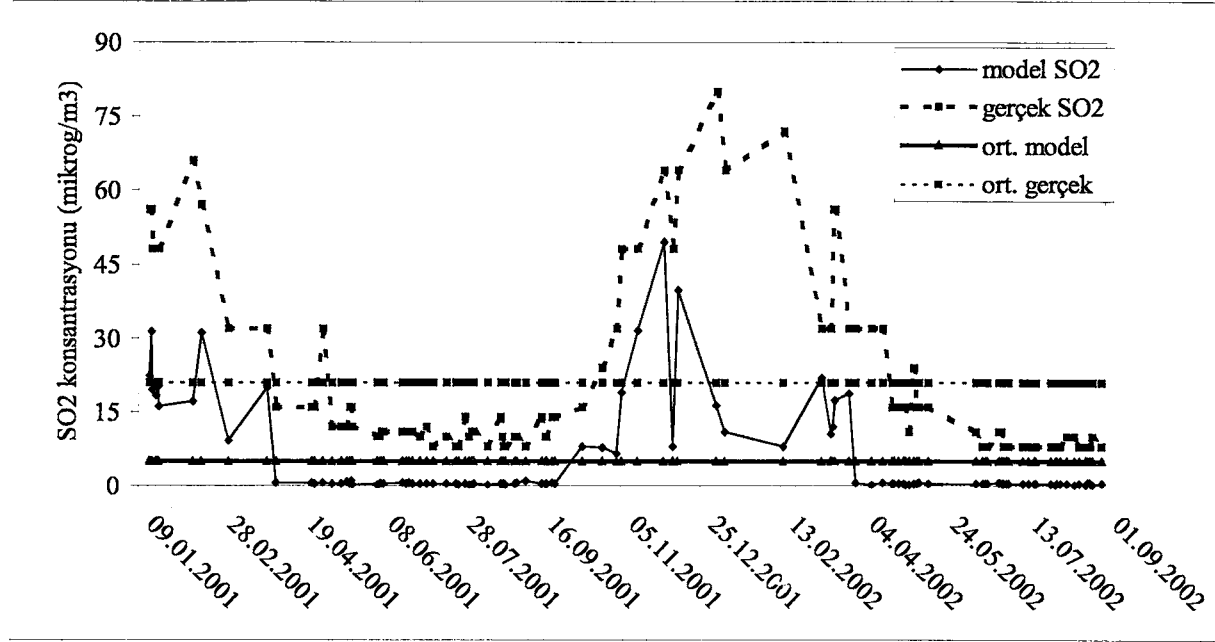
#### Paired Samples Statistics

		Mean	N	Std. Deviation	Std. Error Mean	Correlation
Pair 1	Gerçek Model	17,6563	64	14,9191	1,8649	0,759
		13,7623	64	19,5606	2,4451	

#### Paired Samples Test

	Paired Differences					t	df	Sig. (2-tailed)			
	Mean	Std. Deviation	Std. Error Mean	99% Confidence Interval of the Difference							
				Lower	Upper						
Gerçek-Model	3,5000	13,3831	1,6729	0,1570	6,8430	2,092	63	0,040			

$\alpha = 0,01$  için  $t < t_{\text{tablo}}$  (serbestlik değeri 63 için=2,654) veya  $P (=0,04) > \alpha$  ise  $H_0$  kabul (=iki ana kütle birbirinin aynı)



**Şekil 5.10 NNW-NNE yönünden esen rüzgarlı günlerde model ile gerçek SO<sub>2</sub> konsantrasyonlarının kıyaslanması ( $R=0,81$ )**

**Çizelge 5.12 NNW-NNE yönleri, SO<sub>2</sub> konsantrasyonu için t-test sonuçları**

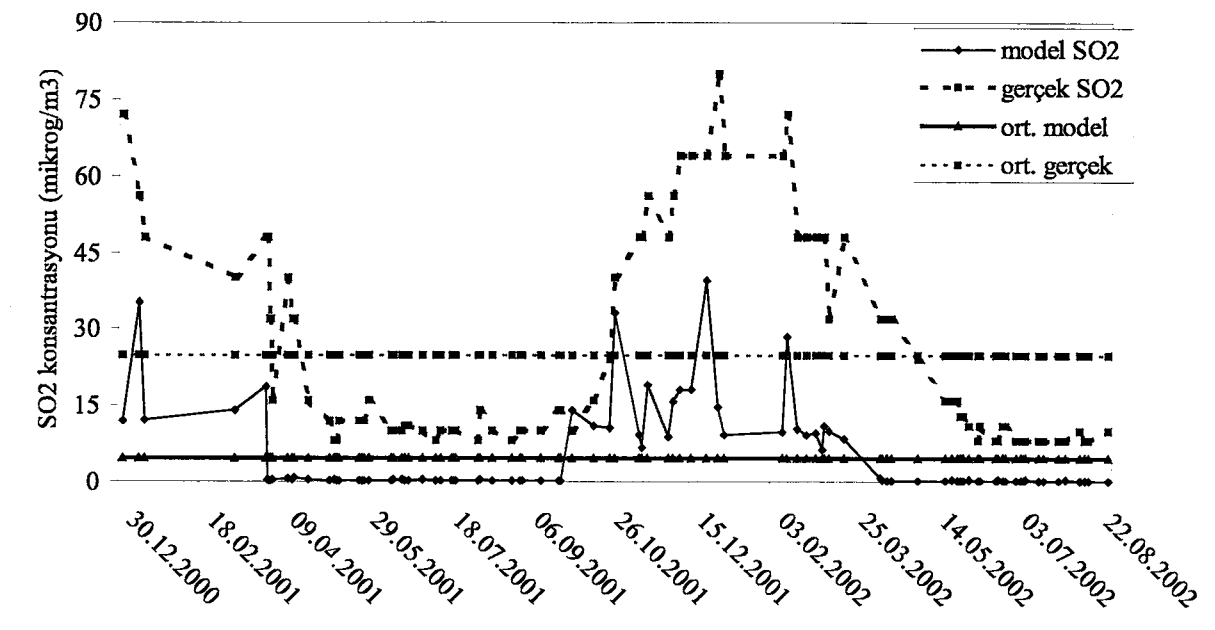
#### Paired Samples Statistics

Pair		Mean	N	Std. Deviation	Std. Error Mean	Correlation
1	Gerçek Model	21,0094 4,9520	106 106	18,1310 9,5071	1,7610 0,9234	0,813

#### Paired Samples Test

	Paired Differences					t	df	Sig. (2-tailed)			
	Mean	Std. Deviation	Std. Error Mean	99% Confidence Interval of the Difference							
				Lower	Upper						
Gerçek-Model	16,0575	11,7848	1,1446	13,0545	19,0604	14,028	105	0,000			

$\alpha=0,01$  için  $t > t_{\text{tablo}}$  (serbestlik derecesi 105 için 2,626) veya  $P (=0,000) < \alpha$  ise  $H_0$  red (=iki ana kütle birbirinin aynı değil)



Şekil 5.11 NW-NE yönünden esen rüzgarlı günlerde model ile gerçek SO<sub>2</sub> konsantrasyonlarının kıyaslanması ( $R=0,74$ )

Çizelge 5.13 NW-NE yönleri, SO<sub>2</sub> konsantrasyonu için t-test sonuçları

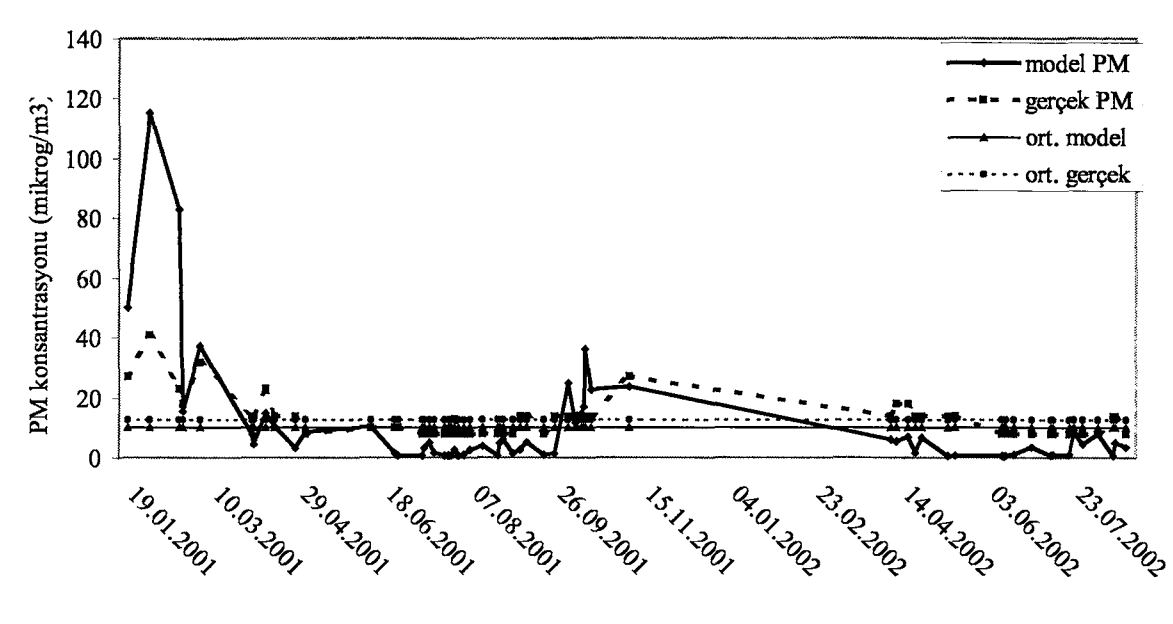
#### Paired Samples Statistics

		Mean	N	Std. Deviation	Std. Error Mean	Correlation
Pair 1	Gerçek Model	24,8947 4,6525	95 95	20,0120 8,2782	2,0532 0,8493	0,737

#### Paired Samples Test

	Paired Differences					t	df	Sig. (2-tailed)			
	Mean	Std. Deviation	Std. Error Mean	99% Confidence Interval of the Difference							
				Lower	Upper						
Gerçek-Model	20,2422	14,9989	1,5389	16,1963	24,2881	13,154	94	0,000			

$\alpha=0,01$  için  $t>t_{\text{tablo}}$  (serbestlik derecesi 94 için 2,629) veya  $P (=0,000) < \alpha$  ise  $H_0$  red (=iki ana kütle birbirinin aynı değil)



Şekil 5.12 N yönünden esen rüzgarlı günlerde model ile gerçek PM konsantrasyonlarının kıyaslanması ( $R=0,80$ )

Cizelge 5.14 N yönü, PM konsantrasyonu için t-test sonuçları

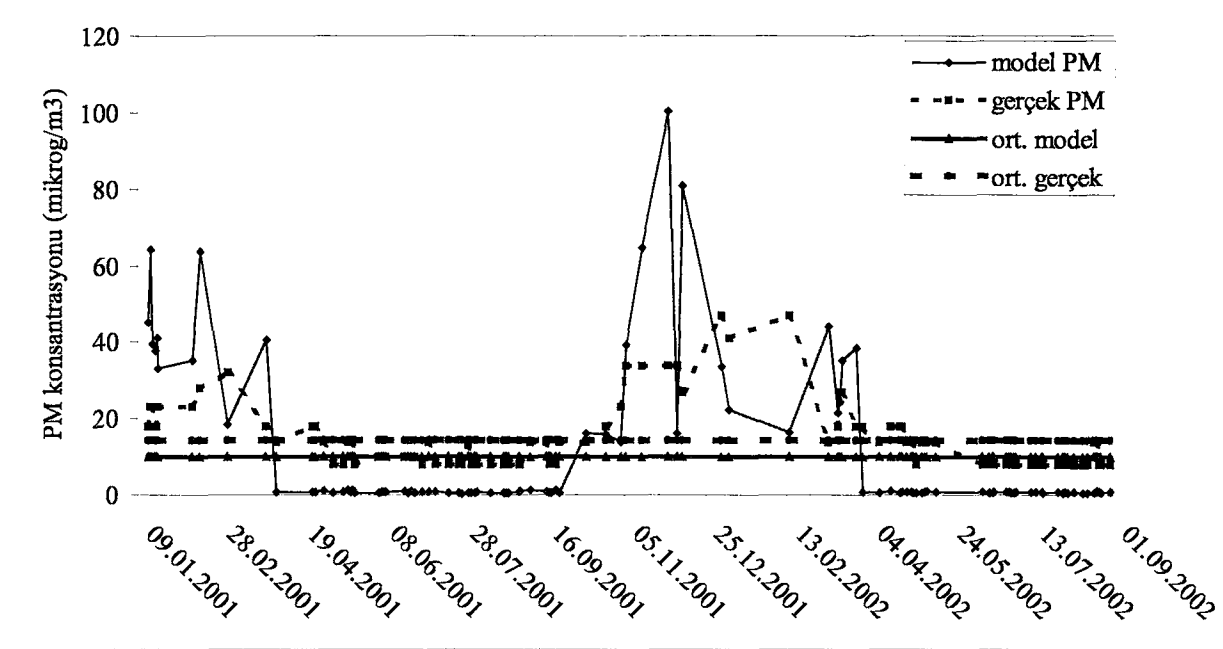
#### Paired Samples Statistics

		Mean	N	Std. Deviation	Std. Error Mean	Correlation
Pair 1	Gerçek Model	12,5625	64	6,4214	0,8027	0,796
		10,0219	64	19,0455	2,3807	

#### Paired Samples Test

	Paired Differences					t	df	Sig. (2-tailed)			
	Mean	Std. Deviation	Std. Error Mean	99% Confidence Interval of the Difference							
				Lower	Upper						
Gerçek-Model	2,5406	14,4624	1,8078	-2,2612	7,3424	1,405	63	0,165			

$\alpha=0,01$  için  $t < t_{\text{tablo}}$  (serbestlik değeri 63 için=2,654) veya  $P (=0,165) > \alpha$  ise  $H_0$  kabul (=iki ana kütle birbirinin aynı)



Şekil 5.13 NNW-NNE yönünden esen rüzgarlı günlerde model ile gerçek PM konsantrasyonlarının kıyaslanması ( $R=0,67$ )

Çizelge 5.15 NNW-NNE yönleri, PM konsantrasyonu için t-test sonuçları

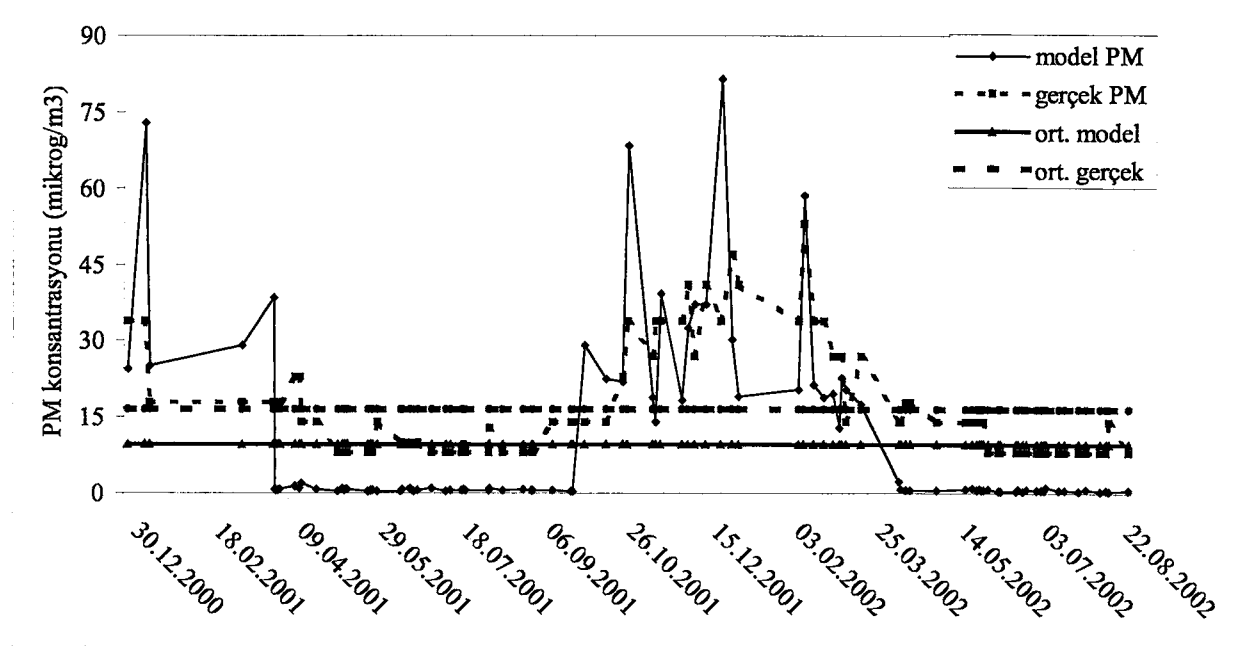
#### Paired Samples Statistics

		Mean	N	Std. Deviation	Std. Error Mean	Correlation
Pair 1	Gerçek Model	14,3585 9,9846	106 106	8,6643 19,4308	0,8416 1,8873	0,668

#### Paired Samples Test

	Paired Differences					t	df	Sig. (2-tailed)			
	Mean	Std. Deviation	Std. Error Mean	99% Confidence Interval of the Difference							
				Lower	Upper						
Gerçek-Model	4,3739	15,0935	1,4660	0,5278	8,2199	2,984	105	0,004			

$\alpha=0,001$  için  $t < t_{\text{tablo}}$  (serbestlik değeri 105 için=3,390) veya  $P (=0,004) > \alpha$  ise  $H_0$  kabul (=iki ana kütle birbirinin aynı)



Şekil 5.14 NW-NE yönünden esen rüzgarlı günlerde model ile gerçek PM konsantrasyonlarının kıyaslanması ( $R=0,75$ )

Çizelge 5.16 NW-NE yönleri, PM konsantrasyonu için t-test sonuçları

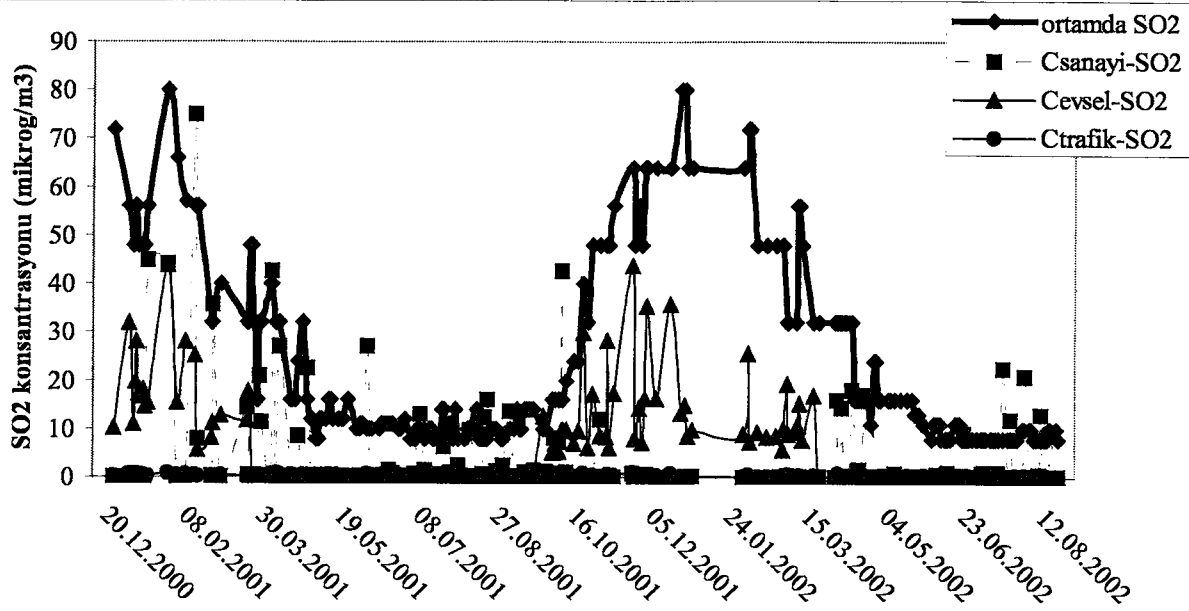
#### Paired Samples Statistics

		Mean	N	Std. Deviation	Std. Error Mean	Correlation
Pair 1	Gerçek Model	16,6421 9,6786	95 95	10,7920 16,9970	1,1072 1,7439	0,752

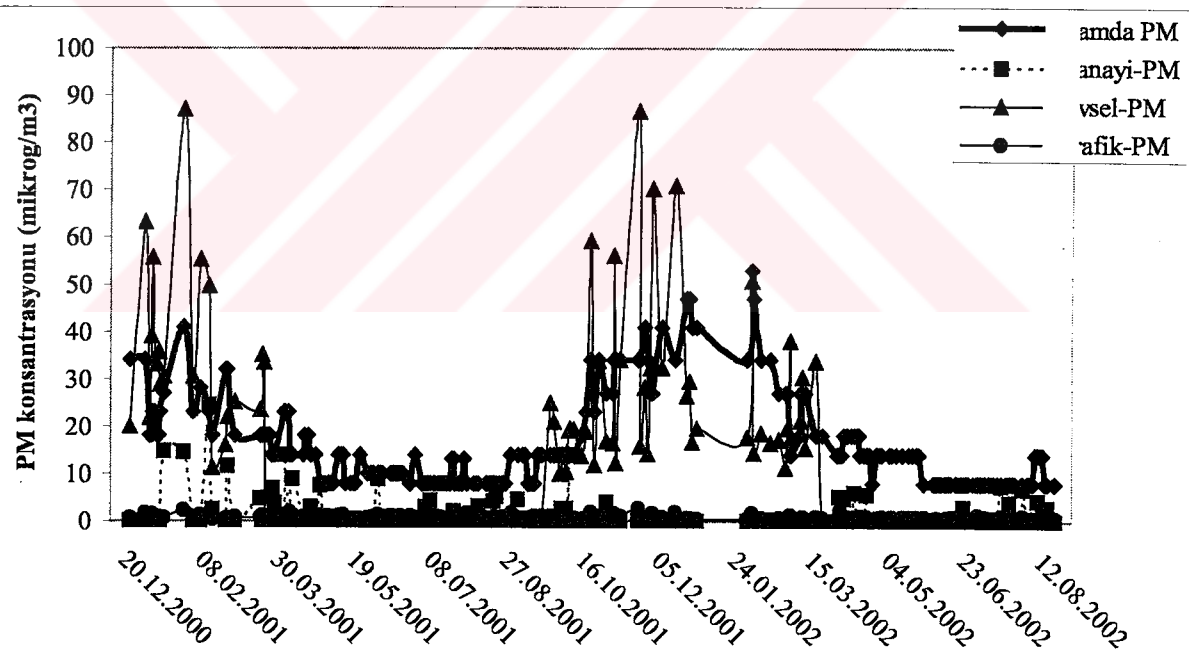
#### Paired Samples Test

	Paired Differences					t	df	Sig. (2-tailed)			
	Mean	Std. Deviation	Std. Error Mean	99% Confidence Interval of the Difference							
				Lower	Upper						
Gerçek-Model	6,9635	11,3768	1,1672	3,8946	10,0323	5,966	94	0,000			

$\alpha = 0,01$  için  $t > t_{\text{tablo}}$  (serbestlik derecesi 94 için 2,629) veya  $P (=0,000) < \alpha$  ise  $H_0$  red (=iki ana kütle birbirinin aynı değil)



Şekil 5.15 Bütün kuzey yönlü rüzgarların estiği günlerde gerçek SO<sub>2</sub> konsantrasyonları ile her bir kirletici kaynak için model ile hesaplanan SO<sub>2</sub> konsantrasyonlarının kıyaslanması



Şekil 5.16 Bütün kuzey yönlü rüzgarların estiği günlerde gerçek PM konsantrasyonları ile her bir kirletici kaynak için model ile hesaplanan PM konsantrasyonlarının kıyaslanması

## **6. SONUÇ ve ÖNERİLER**

### **6.1 Sonuçlar**

Bu çalışmada sanayi faaliyetlerinden, evsel ısınmadan ve trafikten kaynaklanan SO<sub>2</sub>, PM, CO, HC ve NO<sub>x</sub> kirleticileri için emisyon ölçüm raporları ve emisyon faktörleri kullanılarak Bilecik ili için emisyon envanteri hazırlanmıştır.

Sanayi tesisleri için HC emisyon değerleri hariç diğer kirleticilerin emisyon değerleri emisyon raporlarındaki baca gazi ölçüm değerlerinden alınmıştır. HC emisyonu ise sanayilerin kullandıkları yakıt cinsi ve miktarı dikkate alınarak Amerikan EPA emisyon faktörlerinden faydalananlarak hesaplanmıştır. Sanayide yıllık 20013,4 ton LPG, 1248,4 ton kalorifer yakıtı, 480 ton kömür ve 500 ton odun yakıt olarak kullanılmaktadır. Buna göre sanayiden 50,3 kg/sa SO<sub>2</sub>, 16,5 kg/sa PM, 14,4 kg/sa CO, 13,3 kg/sa NO<sub>x</sub> ve 0,1 kg/sa HC emisyonları çıkmaktadır. Sanayi kaynaklı SO<sub>2</sub>'nin toplam Bilecik emisyonuna katkısı % 47,5, PM'nin katkısı %5,8, CO'nun katkısı %4,6, HC'nin katkısı %0,4 ve NO<sub>x</sub>'in katkısı %19,9'dır.

Bilecik ilinde Sanayi ve Ticaret Odasına bağlı 5 adet kömür satış noktası ve 4 adet benzin istasyonu bulunmaktadır. Buralardan elde edilen verilere göre yılda ısınma amaçlı 60.000 ton kömür, 2040 ton kalorifer yakıtı ve 12.000 ton odun tüketilmektedir. Bilecik ilinde en çok kullanılan yakıt %57 ile kömürdür ve bunun ısınma amaçlı kullanılan kısmı %99'dur. Evsel ısınmadan kaynaklanan emisyonlar, emisyon faktörleri kullanılarak hesaplanmıştır. Buna göre yerleşim bölgelerinden 91,1 kg/sa SO<sub>2</sub>, 186,7 kg/sa PM, 181,6 kg/sa CO, 46,1 kg/sa NO<sub>x</sub> ve 2,9 kg/sa HC emisyonları oluşturmaktadır. Evsel ısınma kaynaklı SO<sub>2</sub>'nin toplam emisyonuna katkısı %50,4, PM'nin katkısı %89,5, CO'nun katkısı %64 HC'nin %13,3 ve NO<sub>x</sub>'un katkısı ise %53,5'dur.

Bilecik ilinde 2003 Şubat ayı itibariyle toplam motorlu kara taşıtı sayısı 20.443 adettir. Bu taşıtlar yılda 1950 ton kurşunsuz benzin, 725 ton süper benzin ve 6150 ton motorin tüketmektedir. Trafikten kaynaklanan SO<sub>2</sub> emisyonu 3,7 kg/sa, PM emisyonu 9,7 kg/sa, CO emisyonu 89 kg/sa, NO<sub>x</sub> emisyonu 23 kg/sa ve HC emisyonu 18,8 kg/sa'dır. Trafiğin toplam Bilecik emisyonuna SO<sub>2</sub> olarak katkısı %2,1, PM'nin katkısı %4,7, CO'nun katkısı %31,4, HC'nin katkısı %86,3 ve NO<sub>x</sub>'un katkısı %26,6'dır.

Bacagazı emisyon ölçüm raporları ve emisyon faktörleri kullanılarak Bilecik ilinin toplam kirletici emisyonu 1585 ton/yıl SO<sub>2</sub>, 1828 ton/yıl PM, 2486 ton/yıl CO, 191 ton/yıl HC ve 755 ton/yıl NO<sub>x</sub>'dur. Emisyon envanterinden çıkarılan sonuçlara göre Bilecik'te SO<sub>2</sub> emisyonuna en çok katkıda bulunan sektör evsel sektördür. PM, CO ve NO<sub>x</sub> emisyonlarında da en baskın sektör evsel sektördür. HC emisyonunda ise trafik sektörü en etkin rol oynar (Şekil 5.2). Yakıt bazında incelersek Bilecik SO<sub>2</sub> emisyonları üzerindeki en yüksek katkı %50,9 ile kalorifer yakımı ve %46,6 ile kömürdedir. PM emisyonlarındaki en büyük katkı %79,7 ile kömürden gelmektedir. CO emisyonlarında en büyük pay %62,9 ile odunundur. Kömürün NO<sub>x</sub> emisyonları üzerindeki katkısı %51,3 ve motorinin HC emisyonları üzerindeki payı %52,6 ile en yüksek değerleri almaktadır (Şekil 5.3).

Sayısal değerlere bakacak olursak Bilecik ilinde emisyon katkısı en büyük olan sektör (SO<sub>2</sub>'ye katkısı %50,4 , PM'ye katkısı %89,5 , CO'ya katkısı %64 ve NO<sub>x</sub>'a katkısı %53,5 ile en yüksek payları alan sektör) evsel ısınmadır. Görülüyor ki hava kirliliğini artıran en önemli sebep ısınma amaçlı kullanılan yakıtların cinsi ve kalitesidir.

Bu çalışmada yapılmış olan emisyon envanterinin Bilecik'in gerçek emisyon değerlerine ne kadar yaklaştığını anlamak için Bilecik İl Sağlık Müdürlüğü'nün yapmış olduğu hava kalitesi ölçümleri ile kıyaslamak gereklidir. Müdürlüğü'nün yaptığı ölçümler günlük SO<sub>2</sub> ve PM konsantrasyonlarıdır.

Sanayi kaynaklı emisyonların Bilecik ili üzerindeki etkisi Gauss Dispersiyon modeli ile irdelenmiştir. Bilecik ilinin sanayisi şehrin kuzeyinde bulunduğu için kuzey yönlü rüzgarların estiği günler dikkate alınmıştır. Evsel ve trafik kaynaklı emisyonları konsantrasyon olarak ifade edemediğimiz için Bilecik'teki konsantrasyonu hesaplamak amacıyla ATDL modeli kullanılmıştır. Bunun için Bilecik ili boyutu 2 km \* 2 km grid ve yüksekliği 1000 m olan kutu olarak incelenmiştir. Sanayinin kuzeyde olması dolayısıyla N, NE, NW, NNE ve NNW yönleri için ATDL modeli uygulanmıştır.

ATDL Modeli ile hesaplanan sanayi, evsel ısınma ve trafik sektörlerinden gelen SO<sub>2</sub> konsantrasyonlarının Bilecik ili üzerindeki etkisine baktığımızda evsel ısınmadan kaynaklı SO<sub>2</sub>'nin toplam SO<sub>2</sub> konsantrasyonuna katkısı %51,8, sanayi kaynaklı SO<sub>2</sub>'nin katkısı %44 ve trafik kaynaklı SO<sub>2</sub>'nin katkısı %4,2'dir. Bu kirletici kaynaklarından gelen PM konsantrasyonlarının Bilecik ili üzerindeki etkisine baktığımızda ise evsel ısınmadan kaynaklı

PM'nin toplam PM konsantrasyonuna katkısı %80,8, sanayi kaynaklı PM'nin katkısı %11 ve trafik kaynaklı PM'nin katkısı %8,2'dir.

Modelden elde ettiğimiz sonuçlara göre; N yönünden esen rüzgarların şehrə getirdiği günlük SO<sub>2</sub> konsantrasyonu hesabı ile gerçek konsantrasyon değerleri arasındaki korelasyon katsayısı (R) 0,76 bulunmuştur. SO<sub>2</sub> konsantrasyonları için model ortalamaları gerçek ortalamalara çok yaklaşmıştır. T-testine göre %99 güvenilirlik seviyesinde modelin tahmin ettiği ortalama değer ile gerçek değerlerin ortalamasının birbirine eşit kabul edilebileceği bulunmuştur ve t-testini sağladığı görülmektedir. N yönünden esen rüzgarların şehrə getirdiği günlük PM konsantrasyonlarındaki korelasyon katsayısı ise 0,80 bulunmuştur. PM konsantrasyonları için model ortalamaları gerçek ortalamalara çok yaklaşmıştır. T-testine göre %99 güvenilirlik seviyesinde modelin tahmin ettiği ortalama değer ile gerçek değerlerin ortalamasının birbirine eşit kabul edilebileceği bulunmuştur ve t-testini sağladığı görülmektedir.

NNW ve NNE yönlerinden esen rüzgarların şehrə getirdiği günlük SO<sub>2</sub> konsantrasyonu hesabı ile gerçek konsantrasyon değerleri arasındaki korelasyon katsayısı 0,81 bulunmuştur. SO<sub>2</sub> konsantrasyonları için model ortalamaları gerçek ortalamalara yaklaşamamıştır. T-testine göre %99 güvenilirlik seviyesinde modelin tahmin ettiği ortalama değer ile gerçek değerlerin ortalamasının birbirine eşit kabul edilemeyeceği bulunmuştur ve t-testini sağlamadığı görülmektedir. NNW ve NNE yönlerinden esen rüzgarların şehrə getirdiği günlük PM konsantrasyonlarındaki korelasyon katsayısı ise 0,67 bulunmuştur. PM konsantrasyonları için model ortalamaları gerçek ortalamalara çok yaklaşmıştır. T-testine göre %99,9 güvenilirlik seviyesinde modelin tahmin ettiği ortalama değer ile gerçek değerlerin ortalamasının birbirine eşit kabul edilebileceği bulunmuştur ve t-testini sağladığı görülmektedir.

NW ve NE yönlerinden esen rüzgarların şehrə getirdiği günlük SO<sub>2</sub> konsantrasyonu hesabı ile gerçek konsantrasyon değerleri arasındaki korelasyon katsayısı 0,74 bulunmuştur. SO<sub>2</sub> konsantrasyonları için model ortalamaları gerçek ortalamalara yaklaşamamıştır. T-testine göre %99 güvenilirlik seviyesinde modelin tahmin ettiği ortalama değer ile gerçek değerlerin ortalamasının birbirine eşit kabul edilemeyeceği bulunmuştur ve t-testini sağlamadığı görülmektedir. NW ve NE yönlerinden esen rüzgarların şehrə getirdiği günlük PM konsantrasyonlarındaki korelasyon katsayısı ise 0,75 bulunmuştur. PM konsantrasyonları için model ortalamaları gerçek ortalamalara yaklaşamamıştır. T-testine göre %99 güvenilirlik seviyesinde modelin tahmin ettiği ortalama değer ile gerçek değerlerin ortalamasının birbirine eşit kabul edilemeyeceği bulunmuştur ve t-testini sağlamadığı görülmektedir.

Literatürde yapılan çalışmalar incelendiğinde (Özkan, 2002 ve Elbir, 2002), model kullanılarak elde edilen değerler ile gerçek ölçümler kıyaslandığı zaman genellikle yüksek korelasyonlar sağlandığı görülmüştür. Korelasyonun yüksek olması, iki değişken arasındaki verilerin aynı yönde gittiği anlamına gelir. Yani model verileri gerçek veriler ile aynı doğrultudadır. Bu da kullanılan verilerin ve yapılan kabullerin gerçeğe yakın sonuç verdiği anlamına gelir.

## 6.2 Öneriler

Bir bölgenin meteorolojik ve topografik özellikleri değiştirilemeyeceği için hava kirliliğinin azaltılmasında en etkin önlem ısınma amaçlı kullanılan yakıtların iyileştirilmesi veya yakıt cinsinin değiştirilmesidir. Çünkü SO<sub>2</sub>, PM, CO, HC ve NO<sub>x</sub> emisyonlarının en büyük kaynağı fosil yakıtlardır. Bunun için kükürt yüzdesi düşük, ısıl değeri yüksek olan daha kaliteli kömür kullanımı sağlanmalıdır. Kömürün şehrə girişi kontrollü olarak yapılmalı ve kaçak kömür girişine izin verilmemelidir. Ya da imkanlar doğrultusunda kömür kullanımını yerini doğalgaza bırakmalıdır. Zaten Bilecik ilinde doğalgaz alt yapısı oluşturulmuştur ve 2004 yılında doğalgaz kullanılmaya başlanacaktır.

Binalarda ısı yalıtılmına önem verilmeli ve böylece ısı kayıpları önlenecek yakıt sarfiyatından kaçınılmalıdır. Kalorifer kazanları verimli hale getirilmeli, kazancıların eğitimli olmasına özen gösterilmelidir.

Sanayilerde kullanılan yakıtlar da kontrol edilmeli ve bu yakıtlarda iyileştirmeye gidilmelidir. Ayrıca HKKY'de belirtilen tesislerin emisyon raporlarının yapılip yapılmadığı kontrol edilmeli, eğer yapılmamışsa kanunlar yardımıyla yaptırımı sağlanmalıdır. Bu raporun sonuçlarına göre baca gazında arıtma yapması gerekliliğinin takibe alınması sağlanmış olur.

Trafikten kaynaklanan emisyonların azaltılması için benzin ve motorin kalitesi iyileştirilmeli, kurşunsuz benzin kullanımı yaygınlaşmalı ve motorlu taşılarda eksoz emisyonlarının denetimi yapılmalıdır.

Emisyon envanterinin yapılması bölgesel hava kalitesinin tespit edilmesi ve bunun sonucunda eğer gerekiyorsa önlem alınması açısından çok önemlidir. Bu nedenle emisyon envanteri her yıl yeni veriler eklenecek güncellenebilir.

## KAYNAKLAR

- Akdeniz, F., (2002), Olasılık ve İstatistik, Baki Kitabevi, Adana.
- Bilecik Organize Sanayi Bölgesi Emisyon Raporları, (2002), Boğaziçi Üniversitesi Çevre Bilimleri Enstitüsü, İstanbul.
- DİE, (2002), Devlet İstatistik Enstitüsü, İnternet kanalıyla elde edilen genel nüfus verileri ([www.die.gov.tr](http://www.die.gov.tr)).
- DİE, (2003), Devlet İstatistik Enstitüsü, İnternet kanalıyla Bilecik ili motorlu kara taşıtları sayısı ([www.die.gov.tr](http://www.die.gov.tr)).
- Elbir, T., (2002), “Comparison of model predictions with the data of an urban air quality monitoring network in Izmir, Turkey”, *Atmospheric Environment*, 37: 2149-2157.
- EPA, (1985), *Compilation of Air Pollution Emission Factors Volume I Stationary Point and Area Sources*, 4<sup>th</sup> ed., AP-42, U.S.EPA, Office of Air Quality Planning and Standards, with updates through September 1991.
- Ertürk, F., (2003), Hava Kirliliği ve Kontrolü Ders Notları, Yıldız Teknik Üniversitesi, Çevre Mühendisliği Bölümü, İstanbul.
- Goncalooglu, B.İ., (2000), İstanbul'daki Sanayi Tesislerinden Yanma Sonucu Atmosfere Atılan Hava Kirleticilerinin Emisyon Envanterinin Çıkarılması, Doktora Tezi, Yıldız Teknik Üniversitesi, İstanbul.
- Gümüş, F.U., (1991), İstanbul Fatih İlçesinde Bazı Hava Kirliliği Parametrelerinin Tespiti ve İrdelenmesi, Yüksek Lisans Tezi, Marmara Üniversitesi Fen Bilimleri Enstitüsü Analitik Kimya Anabilim Dalı, İstanbul.
- Hanna, S.R., (1973), Application of a Simple Dispersion Model to a Rural Industrial Region, Air Resources Atmospheric Turbulence and Diffusion Laboratory, Oak Ridge, Tennessee.
- HKKY (Hava Kalitesinin Korunması Yönetmeliği), (1986), Resmi Gazete, Sayı: 19269, 2 Kasım, Ankara.
- Kemerdere, N., (1996), Gebze İlçesinde Emisyon Envanteri ve Hava Kalitesi Modellemesi Raporu, Enerji Sistemleri ve Çevre Araştırma Enstitüsü, Marmara Araştırma Merkezi, TÜBİTAK, Gebze-Kocaeli.
- McBean, E.A. ve Rovers, F.A., (1998), *Statistical Procedures for Analysis of Environmental Monitoring Data & Risk Assessment*, Prentice Hall PTR Environmental Management & Engineering Series, Volume 3.
- Müezzinoğlu, A., (2000), Hava Kirliliği ve Kontrolünün Esasları, Dokuz Eylül Yayıncılı, İzmir.
- Ölmez, E., (1998), Muğla İli Hava Kirliliği emisyon Envanteri, Dokuz Eylül Üniversitesi, İzmir.
- Özkan, A., (2002), Çorlu ilçesinde Emisyon Envanteri ve Hava Kalitesi Modellemesi, Yüksek Lisans Tezi, Yıldız Teknik Üniversitesi, İstanbul.
- Reddy, M.S. ve Venkataraman C., (2002), “Inventory of aerosol and sulphur dioxide emissions from India: I-Fossil fuel combustion”, *Atmospheric Environment*, 36: 677-697.

Saija, S. ve Romano, D., (2002), "A methodology for the estimation of road transport air emissions in urban areas of Italy", *Atmospheric Environment*, 36: 5377-5383.

Sivacoumar, R., Bhanarkar, A.D., Goyal, S.K., Gadkari, S.K. ve Aggarwal, A.L., (2001), "Air pollution modeling for an industrial complex and model performance evaluation", *Environmental Pollution*, 111: 471-477.

Turner, D.B., (1969), *Workbook of Atmospheric Dispersion Estimates*, Washington D.C., HEW.

Tünay, O.ve Alp, K., (1996), *Hava Kirlenmesi Kontrolü*, İstanbul Ticaret Odası.

Uysal, R., (2002), *Hava Kirletici Parametrelerin 1999-2002 Yılları Arası Aylık Ölçüm Sonuçları*, Bilecik Halk Sağlığı Laboratuvarı.

Wark, K., Warner, C.F. ve Davis, W.T., (1998), *Air Pollution its origin and control*, 3<sup>th</sup> ed., Addison Wesley Longman, Inc.

**EKLER****Ek.1 Kritik t değerleri tablosu**

Serbestlik derecesi	İki yönlü sınamalardaki güven düzeyi					
	0,20	0,10	0,05	0,02	0,01	0,001
1	3,0780	6,3138	12,7060	31,8210	63,6570	636,6190
2	1,8860	2,9200	4,3027	6,9650	9,9248	31,5980
3	1,6380	2,3534	3,1825	4,5410	5,8409	12,9240
4	1,5330	2,1318	2,7764	3,7470	4,6041	8,6100
5	1,4760	2,0150	2,5706	3,3650	4,0321	6,8690
6	1,4400	1,9432	2,4469	3,1430	3,7074	5,9590
7	1,4150	1,8946	2,3646	2,9980	3,4995	5,4080
8	1,3970	1,8595	2,3060	2,8960	3,3554	5,0410
9	1,3830	1,8331	2,2622	2,8210	3,2498	4,7810
10	1,3720	1,8125	2,2281	2,7640	3,1693	4,5870
11	1,3630	1,7939	2,2010	2,7180	3,1058	4,4370
12	1,3560	1,7823	2,1788	2,6810	3,0545	4,3180
13	1,3500	1,7709	2,1604	2,6500	3,0123	4,2210
14	1,3450	1,7613	2,1448	2,6240	2,9768	4,1400
15	1,3410	1,7530	2,1315	2,6020	2,9467	4,0730
16	1,3370	1,7459	2,1199	2,5830	2,9208	4,0150
17	1,3330	1,7396	2,1098	2,5670	2,8992	3,9650
18	1,3300	1,7341	2,1009	2,5520	2,8784	3,9220
19	1,3280	1,7291	2,0930	2,5390	2,8609	3,8830
20	1,3250	1,7247	2,0860	2,5280	2,8453	3,8500
21	1,3230	1,7207	2,0796	2,5180	2,8314	3,8190
22	1,3210	1,7171	2,0739	2,4686	2,8188	3,7920
23	1,3190	1,7139	2,0687	2,4750	2,9073	3,7670
24	1,3180	1,7109	2,0639	2,4803	2,7969	3,7450
25	1,3160	1,7081	2,0595	2,4846	2,7874	3,7250
26	1,3150	1,7056	2,0555	2,4881	2,7787	3,7070
27	1,3140	1,7033	2,0518	2,4909	2,7707	3,6900
28	1,3130	1,7011	2,0484	2,4931	2,7633	3,6740
29	1,3110	1,6991	2,0452	2,4948	2,7564	3,6590
30	1,3100	1,6973	2,0423	2,4961	2,7500	3,6160
35	1,3062	1,6896	2,0301	2,4971	2,7239	3,5919
40	1,3031	1,6839	2,0211	2,4979	2,7045	3,5511
45	1,3007	1,6794	2,0141	2,4985	2,6896	3,5207
50	1,2987	1,6759	2,0086	2,4989	2,6778	3,4965
60	1,2959	1,6707	2,0003	2,4992	2,6603	3,4606
70	1,2938	1,6669	1,9945	2,4994	2,6480	3,4355
80	1,2922	1,6641	1,9901	2,4996	2,6388	3,4169
90	1,2910	1,6620	1,9867	2,4997	2,6316	3,4022
100	1,2901	1,6602	1,9840	2,3640	2,6260	3,3909
120	1,2887	1,6577	1,9799	2,3580	2,6175	3,3736
140	1,2876	1,6558	1,9771	2,3530	2,6114	3,3615
160	1,2869	1,6545	1,9749	2,3500	2,6070	3,3527
180	1,2863	1,6534	1,9733	2,3470	2,6035	3,3456
200	1,2858	1,6525	1,9719	2,3450	2,6006	3,3400
Sonsuz	1,2816	1,6449	1,9600	2,3260	2,5758	3,2905

**ÖZGEÇMİŞ**

Doğum tarihi	07.02.78	
Doğum yeri	Çanakkale	
Lise	1990-1993	Ankara Tınaztepe Lisesi
Lisans	1995-1999	Dokuz Eylül Üniversitesi Mühendislik Fakültesi Çevre Mühendisliği Bölümü
Yüksek Lisans	2001-2002	Gebze Yüksek Teknoloji Enstitüsü Çevre Müh. Anabilim Dalı, Çevre Müh. Programı
	2002-2004	Yıldız Teknik Üniversitesi Fen Bilimleri Enstitüsü Çevre Müh. Anabilim Dalı, Çevre Müh. Programı

**Çalıştığı kurum**

2001-Devam ediyor Boğaziçi Üniversitesi Çevre Bilimleri Enstitüsü  
Laboratuvar Sorumlusu

